八幡製鐵株式會社八幡製鐵所納

二重逆轉式分塊壓延機用 4,000kW イルグナー方式電氣設備

田附修*木田眞吉*山本正雄*泉千吉郎*平川克己*

4,000 kW Ilgner Set for 950 mm 2-high Reversible Blooming Mill, Supplied to Yawata Iron Works in Yawata Iron and Steel Manufacturing Company

> By Osamu Tazuke, Shinkichi Kida, Masao Yamamoto, Senkichiro Izumi and Katsumi Hirakawa Hitachi Works, Hitachi, Ltd.

Abstract

The Construction, Characteristics and overall test results of 4,000 kW blooming mill motor equipment and attached Ilegner set for the Yawata Iron & Steel Co. are outlined herewith.

The D.C. motor is a single armature type of 4,000 kW, designed for a basic speed of $50\sim100\,\mathrm{r.p.m.}$ a turning moment of $78\,\mathrm{t-m}$, an emergency maximum output of $11,000\,\mathrm{kW}$ and an emergency highest turning moment of $215\,\mathrm{t-m.}$

The Ilegner converter set comprises two 2,250 kW D.C. generators, a 3,000 kW induction motor and a flywheel possessing a flywheel effect (G D²) of 295 t-m. The D.C. generators are linked electrically in parallel.

A blooming mill motor equipment should be mechanically staunch, good in commutation and prompt in speed regulation.

To meet the above vital requirements this equipment embodies several latest devices, replacing the voltage equalizer with the double wave winding for the D.C. motor armature, the enclosed ventilation for cooling of the D.C. motor and the Ilegner Converter, and the H.T.D. (rotating) for swift excitation of the motor and generators.

[I] 緒言

製鐵所に於ける壓延作業特に分塊壓延作業は、頻繁なる逆轉操作により間歇的に急激な負荷がかより、且つ廣 範圍に速度制御をする必要があるので大容量電動機を使 用する場合はイルグナー制御方式が一般に採用されるが

* 日立製作所日立工場

直流電動力應用として使用條件の最も苛酷なもので各機器にあつては急激な衝撃負荷に對し充分な機械的强度を有することは勿論直流機は急變する大電流に對しても完全な整流作用を行わねばならぬ。然も壓延工場附近の鐵塵濕氣等の惡條件下に於て永年に亙り完全な絕緣を保つ必要がある。更に壓延能力の向上には主電動機の加減速度並に逆轉速度を大にすることが必須の條件である。廣

範圍の速度制御は主電機の界磁制御により行い、又逆轉操作は發電機の界磁電流の制御による電壓制御により行うが、界磁電流の確立を敏速ならしめるため古來より繼電器方式又は抵抗補償方式等が行われている。繼電器方式では高頻度のための接點の損傷を免れ得ない難點があり、抵抗補償方式は靜止器を利用した無接點方式で繼電器方式に比しては優れたものと考えられるが抵抗器中の電力損失を無視出來ない。

日立製作所は既に昭和八年、八幡製鐵株式會社納、連續出力 7,000 P の壓延機用イルグナー設備一式を製作した(1)(2)。今囘の 4,000 kW イルグナー設備の設計製作に當つては前記設備製作以來の豐富な經驗を活かし、更に幾多の斬新な設計を採り入れてある。特に主電動機の電機子線輪は改良型重波卷方式を採用し、主電動機及びイルグナー變流機の冷却は閉鎖通風方式を採用した。又 H. T. D. (Hitachi Tuning Dynamo)(3)(4) による急速勵磁を行つて壓延加速度の迅速化を計ると共に、負荷電流の尖頭値を常に許容最大値以下に制限する方法を講ずる等置期的改良を加えた。

且つ本設備中主電動機電機子、蓄勢輪等は寸法、重量 共に輸送限界に近いため、輸送の模擬試験を行い、輸送 の萬全を期した。

以下本設備の概要並に綜合試験の結果を紹介し大方の参考に供したい。

[II] 仕 樣

本裝置の仕様は下記の通りである。

1. 4,000 kW 壓延用直流電動機

出力 4,000 kW

定格 連續

電 壓 ±700 V

囘轉數 0±50 r.p.m. (電壓制御一囘轉力一定)

±50~100 r.p.m. (界磁制御一出力一定)

囘轉力 常用 78 t—m

常用最大 175 t—m (225%)

非常最大 215 t-m (275%)

勵磁電壓 220 V

型 式 EFBL—SPKK 閉鎖他力通風 强制油循

環式 ペデスタル軸受付 他勵磁 補償

卷線付 單電機子型

勵磁方式 H.T.D. による急速勵磁方式

2. イルグナー變流機

A. 2,250 kW×2 直流發電機

出 力 2,250 kW

定格蓮續

電 壓 ±700 V

電 流 3,215 A

回轉數 514 r. p. m.

勵磁電壓 ±220 V

型 式 EFB₁L—SPKK 閉鎖他力通風 强制

油循環式 ペデスタル軸受付 他勵

磁 補償卷線付 單電幾子型

勵磁方式 H.T.D. による急速勵磁方式

B. 3,000 kW 三相誘導電動機

出 力 3,000 kW

定格 連續

電 壓 6,300 V

周波數 60~

電 流 330 A

回轉數 514 r. p. m.

過負荷容量 25% 2時間 100% 1分間

最大囘轉力 250%

型 式 EFBDL-DRQ 閉鎖他力通風 强制

油循環式 ペデスタル軸受付 卷線

型

制動方式 直流發電制動

C. 蓄勢輪

蓄勢輪效果 295 tm² (135,000 FP—sec)

材 質 鍛鋼

D. 蓄勢輪電動始動裝置

驅動用電動幾 30 kW, 220 V, 60~ 900 r. p. m.

型 式 TFO-KKIII60 (全閉二重籠型高

起動回轉力 60 分定格)

始動回轉數 3 r.p. m.

減速裝置 ウオーム減速一段

3. 勵磁裝置

A. 75 kW 勵磁機 (主電動機用)

1 臺

出 力 75 kW

電 壓 220 V

回轉數 1,200 r.p. m.

勵 磁 2kW H.T.D. による

型 式 FC₁-Sp (開放型他勵滋 連瀆定格)

B. 50 kW 勵磁機 (主發電機用)

1 臺

出 力 50 kW

電 壓 220 V

回轉數 1,200 r. p. m.

勵 磁 2kW H.T.D. による

型 式 FC₁-Sp (開放型他勵滋 連續定格)

C. 25 kW 勵磁機 (發電制動用)

1臺

出 力 25 kW 電 壓 60 V

囘轉數

1,200 r. p. m.

型 式

FC₁-K₃₀ (開放型 複卷 30 分定格)

D. 175 kW 三相誘導電 動機(上記驅動用)1臺

出 力 175 kW

電 壓 3,300 V

周波數 60~

極 數 6

囘轉數 1,200

r.p.m

最大囘轉力 175%

型 式 EFU-KK

(閉鎖通風二重籠型)

E. 15 kW 定電壓發電機

(操作電源用) 1臺

出 カ 15 kW

電 壓 110 V

回轉數 1,800 r.p. m.

型 式 FC₁-K(開放型複卷)

F. 0.5 kW 特殊勵磁機 1臺

出 力 0.5 kW

電 医 110 V

回轉數 1,800 r.p.m.

型 式 FC₁-Sp (開放型他 勵磁)

G. 2 kW H. T. D.

D. 2臺

出 力 2kW

電 壓 110 V

回轉數 1,800 r.p. m.

型 式 FC₁-Sp(開放型他勵磁)

H. 25 kW 三相誘導電動機(上記驅

動用)

出 力 25 kW

電 壓 220 V

周波數 60~

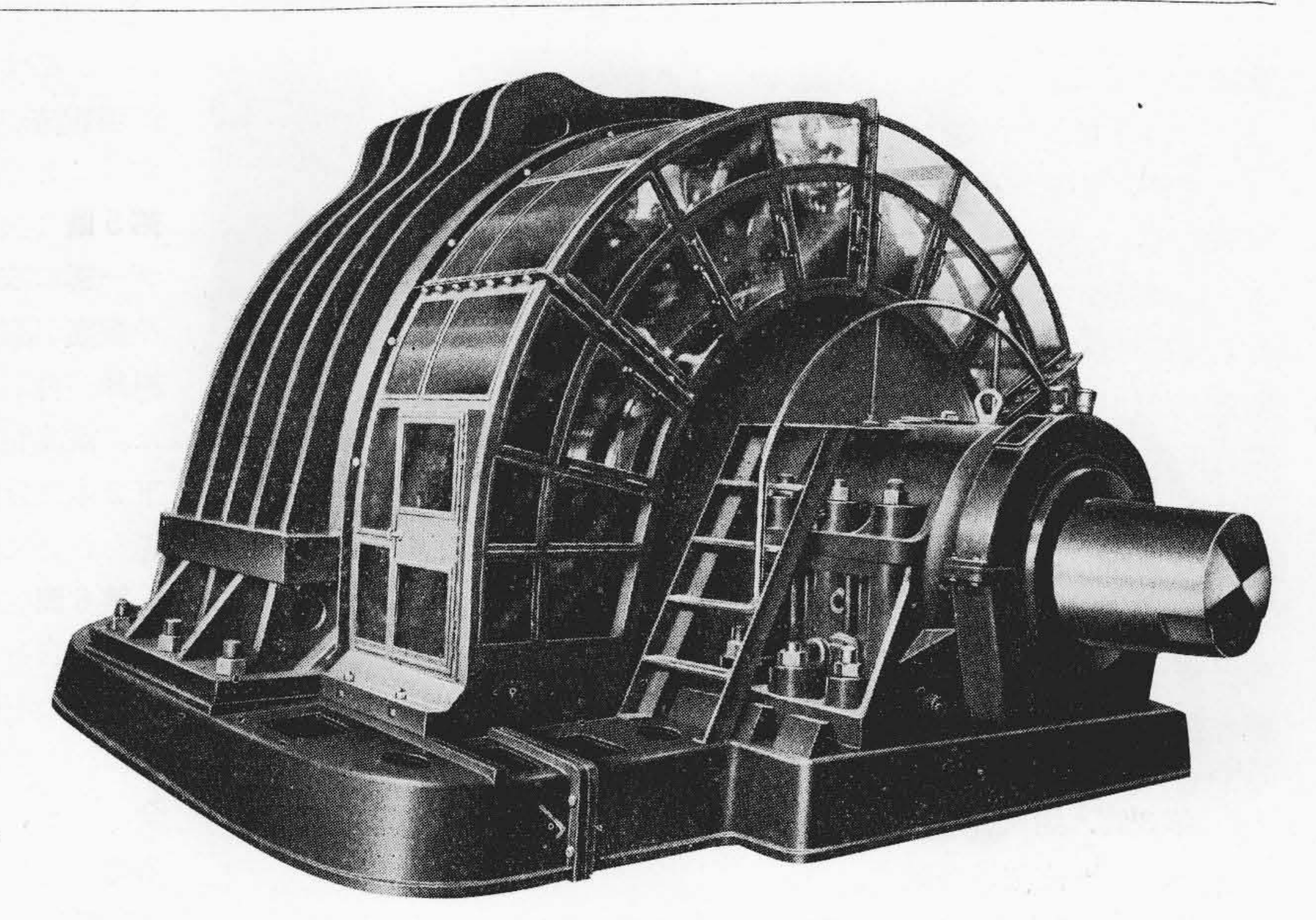
極 數 4

回轉數 1,800 r.p.m.

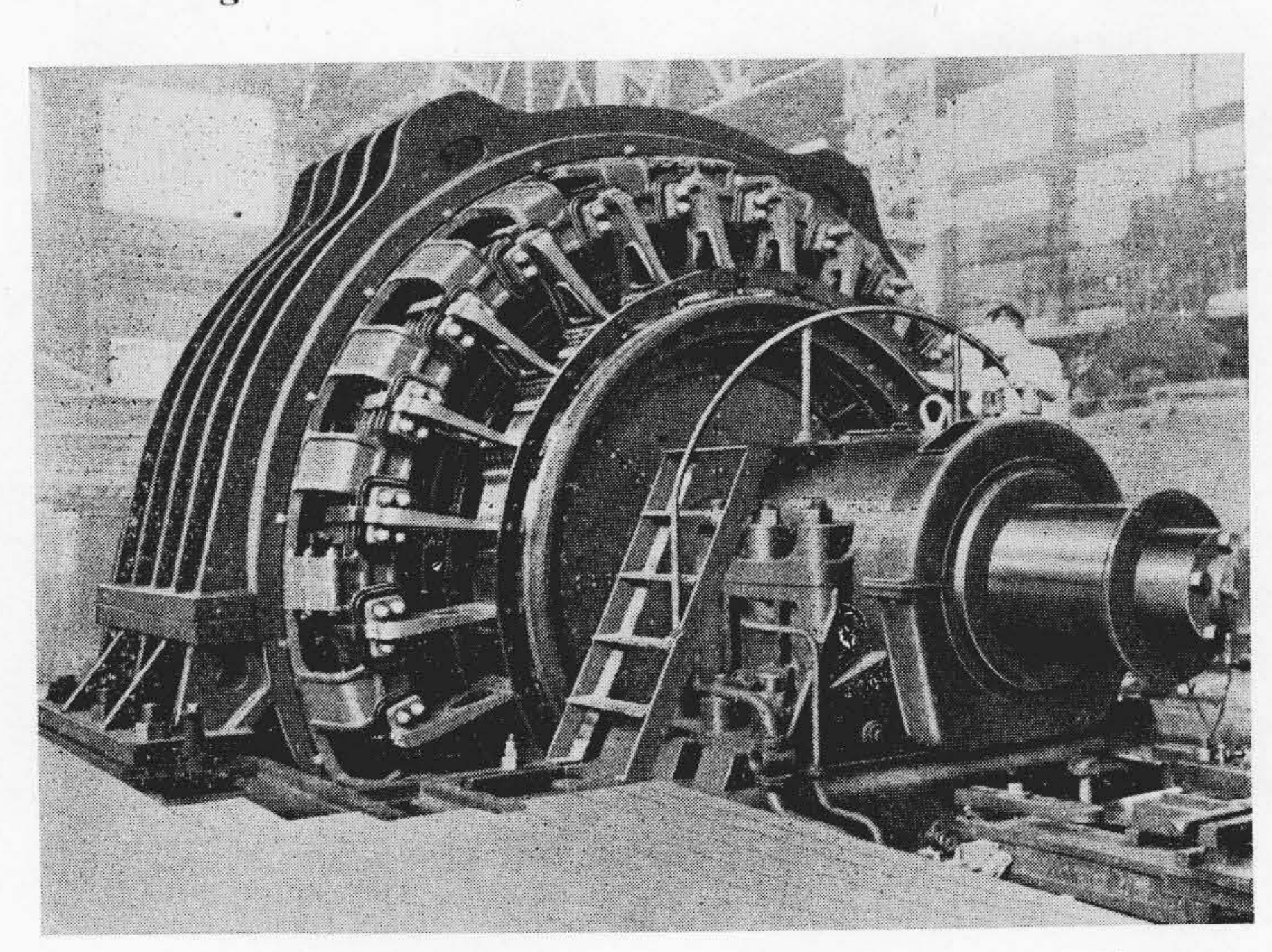
型 式 EFU-KK₁ (閉鎖通風二重籠型)

4. 配電盤及び制御装置

交流高壓配電盤



第1圖 4,000 kW 直 流 電 動 機 Fig. 1. View of 4,000 kW D.C. Motor



第2圖 4,000 kW 直流電動機通風用カバーを取除いた所Fig. 2. View of 4,000 kW D.C. Motor without Ventilating Cover

1臺

交流低壓配電盤

直流配電盤

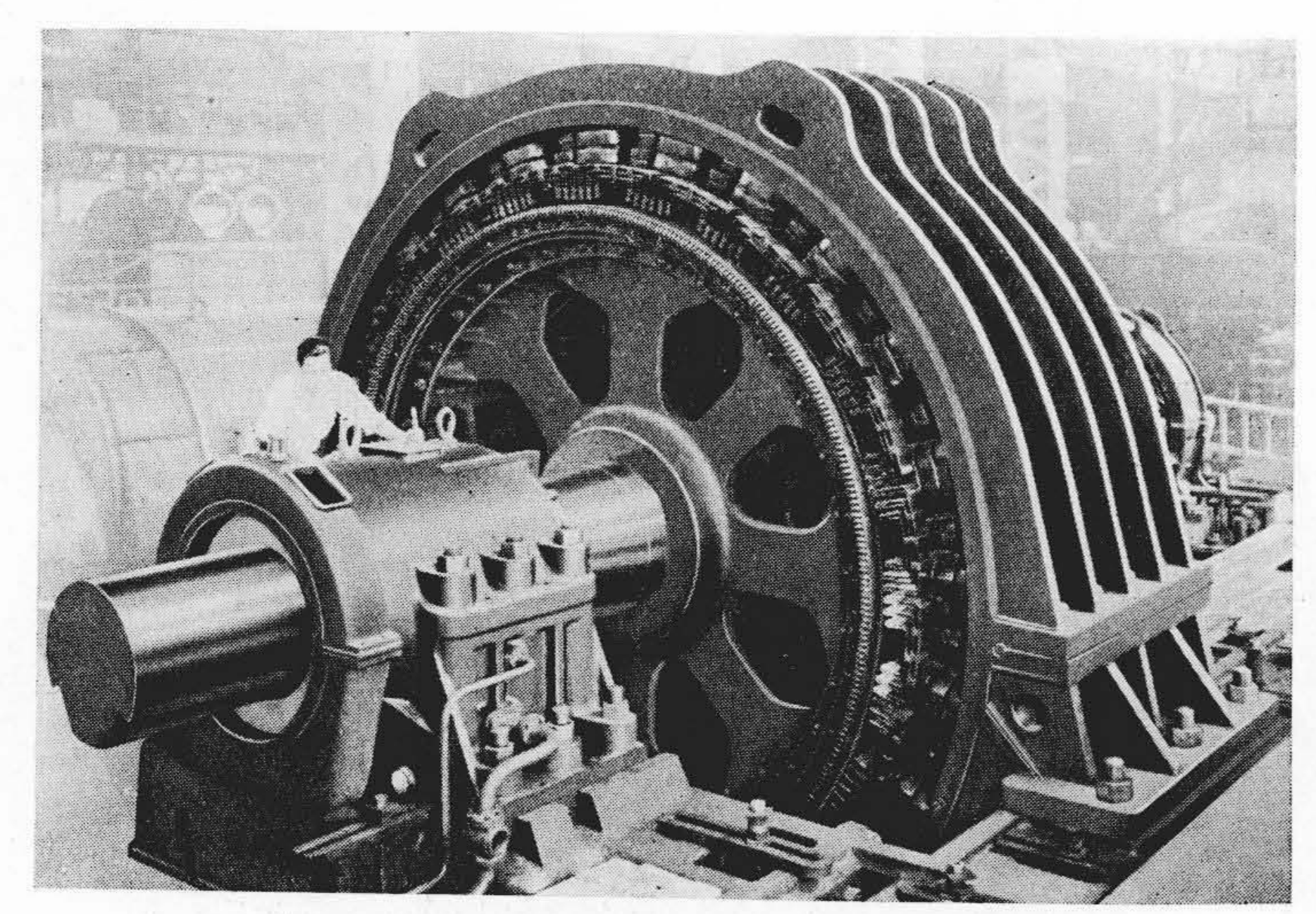
机型操作盤

直流レオナード制御盤

[III] 4,000 kW 壓延用直流電動機

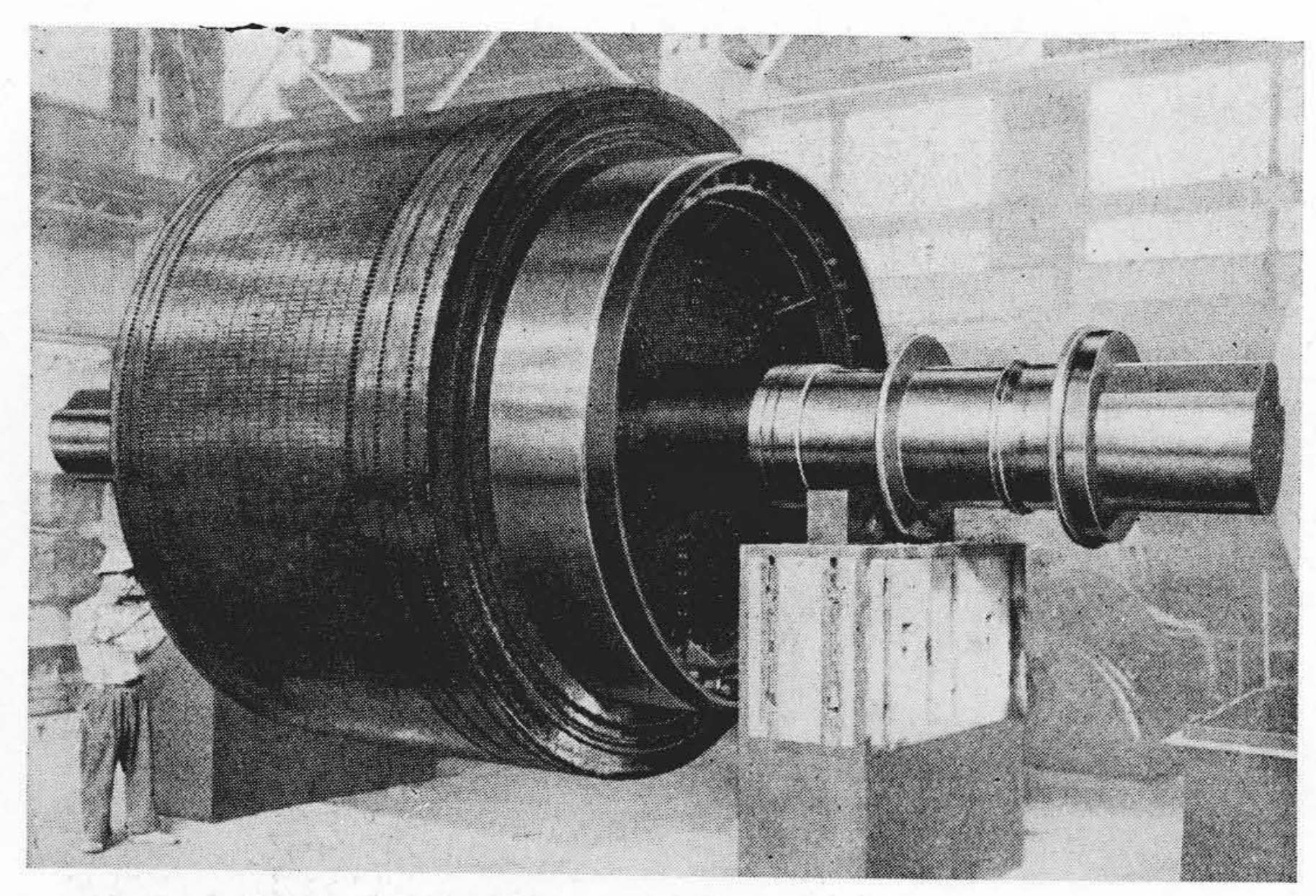
第1圖は本電動機の外觀で第2圖は通風用カバーを取除いたもの、第3圖は(次頁參照)同じく反整流子側から見たものである。

(1) 構造 逆轉式分塊壓延電動機は、その性質上



第3圖。 通風カバーを取除き反整流子側から見た 4,000 kW 直流電動機

Fig. 3. View of 4,000 kW D.C. Motor from Backward



第4圖 4,000 kW 直流電動機の電機子 Fig. 4. Armature of 4,000 kW D.C. Motor

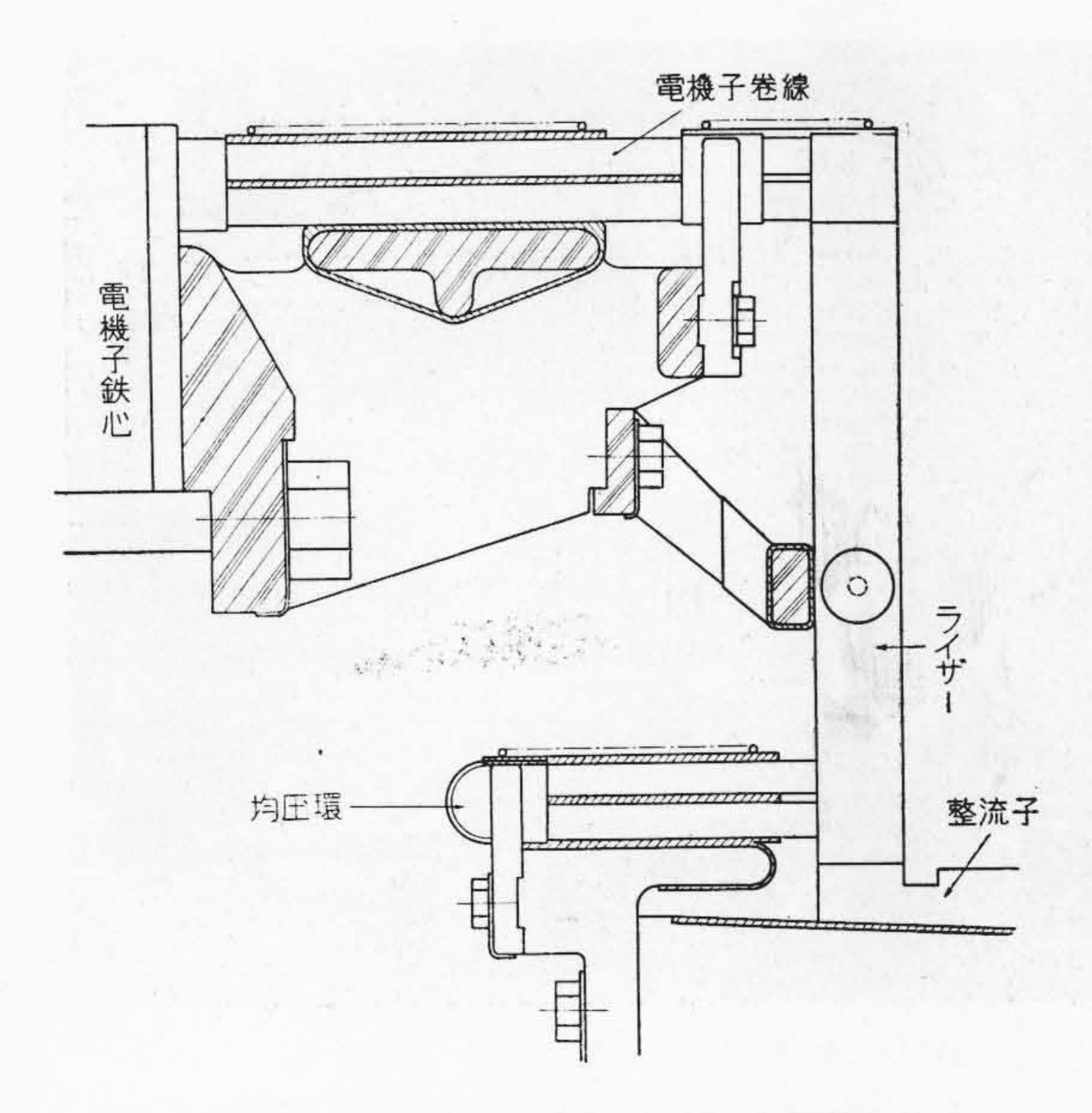
35~65 r. p. m./sec の加減速度で正逆轉せられ急激な同轉力の變化を受けるもので、電氣的並に機械的衝撃負荷は電氣機械中最も激甚なものである。殊に不注意その他の事故により過冷却の鋼塊を壓延機に嚙込んだ時には平常負荷の數倍に達する衝撃を受けることを豫期せねばならぬ。斯かる場合に於ても常に電氣的並に機械的の安全性を保つものでなければならない。

分塊壓延電動機はその構造各部に亙つて最も頑丈なる ことを第一の條件とする。

(A) 電機子 第4圖は本機の電機子である。電機子 卷線には改良型重波卷方式を採用し、所謂均壓環は備え ていない。從來の大容量直流機は一般に重卷方式とする

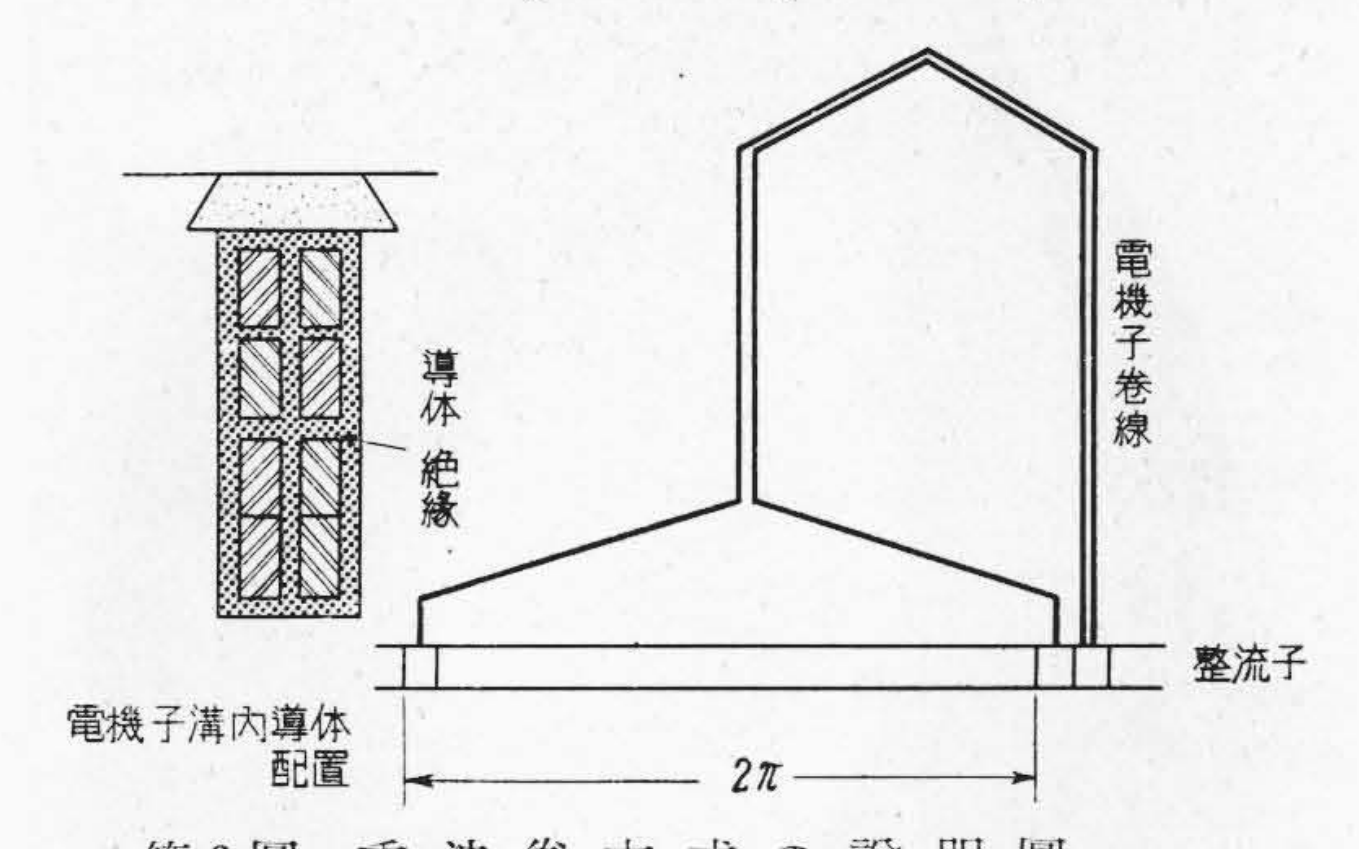
から、必ず均壓環を設けて並列卷線間の 循環電流が刷子を通して流れ整流を悪化 することを防止していた。均壓環は普通 第5圖(次頁參照)の様に整流子のライ ザー部に設けるが、この部分には炭素粉 や鐵塵が溜り易く而も掃除が困難なため 絶緣が脅かされ故障の原因になり易かつ た。重波卷方式(5)は電機子卷線導體を上 下2本に分割し夫々電氣的に 360° の間 隔をおいて整流子ライザーに接續するこ と第6圖(次頁參照)の如くで、電機子卷 線導體自身が均壓環の作用をも兼ねるか ら全ての卷線は完全な均壓效果を得られ るほか、機械的に堅牢で電氣的絕緣も完 全になり、且つ通風冷却效果も良好にな る等の特長がある。從來の重波卷方式で は反整流子側で、上コイル導體と下コイ ル導體とを接續するに袴を用いていた が、本機ではこの方法を改良し、上下卷 線共同一斷面の導體を使用し所謂蛙又に 曲げることにより接續袴を廢し絶緣をも 良好にした(6)。電機子卷線と整流子ライ ザーとは、普通第7圖 (a)(次頁參照)の 様に導體をライザーで挟み接續するがこ の部分の絶縁を完全にすることは比較的 困難で導電性の塵埃がこの間に溜つて隣 接導體間の橋絡が起り易かつた。本機は 第7圖(b)(次頁參照)の様に卷線導體 をエツヂワイズに曲げた直線部に於てラ イザーに接續して絕緣を完全にし、卷線 端の通風を良好にした(7)。電機子卷線端 は絶緣した端板上に乘せその上からバイ ンド線で締付けるのが、一般の構造であ るが急激に速度及び、囘轉力の變化する

用途に對しては、この構造は卷線と鐵心とが相互運動をなし電機子溝の出口に於て卷線の絕緣を損傷して故障の原因になり得る。本機の電機子卷線端は反整流子側、整流子側共第8圖(次頁參照)の様に端板と一體の卷線支へ金具上に支えられ、更に、この部分にインローを以て固定した櫛型の金具の間を通して不動に固定せられ、整流子は輻鐵の一部を特別の箱型狀としてその上に頑丈に固定され、且つ整流子ライザーは端板から出された腕により支えられていて、卷線とライザー及び鐵心との相互運動は完全に防止されている。ライザーの一部には第8圖及び第9圖(次頁參照)に示す様に彎曲部を設け溫度上昇による伸びを補償して無理のかからぬ構造とし、且つラ



第5圖 電機子卷線端部の構造 重卷均壓環付の從來の方法

Fig. 5. Construction of Armature Coil End. Lap Winding with Equalizer



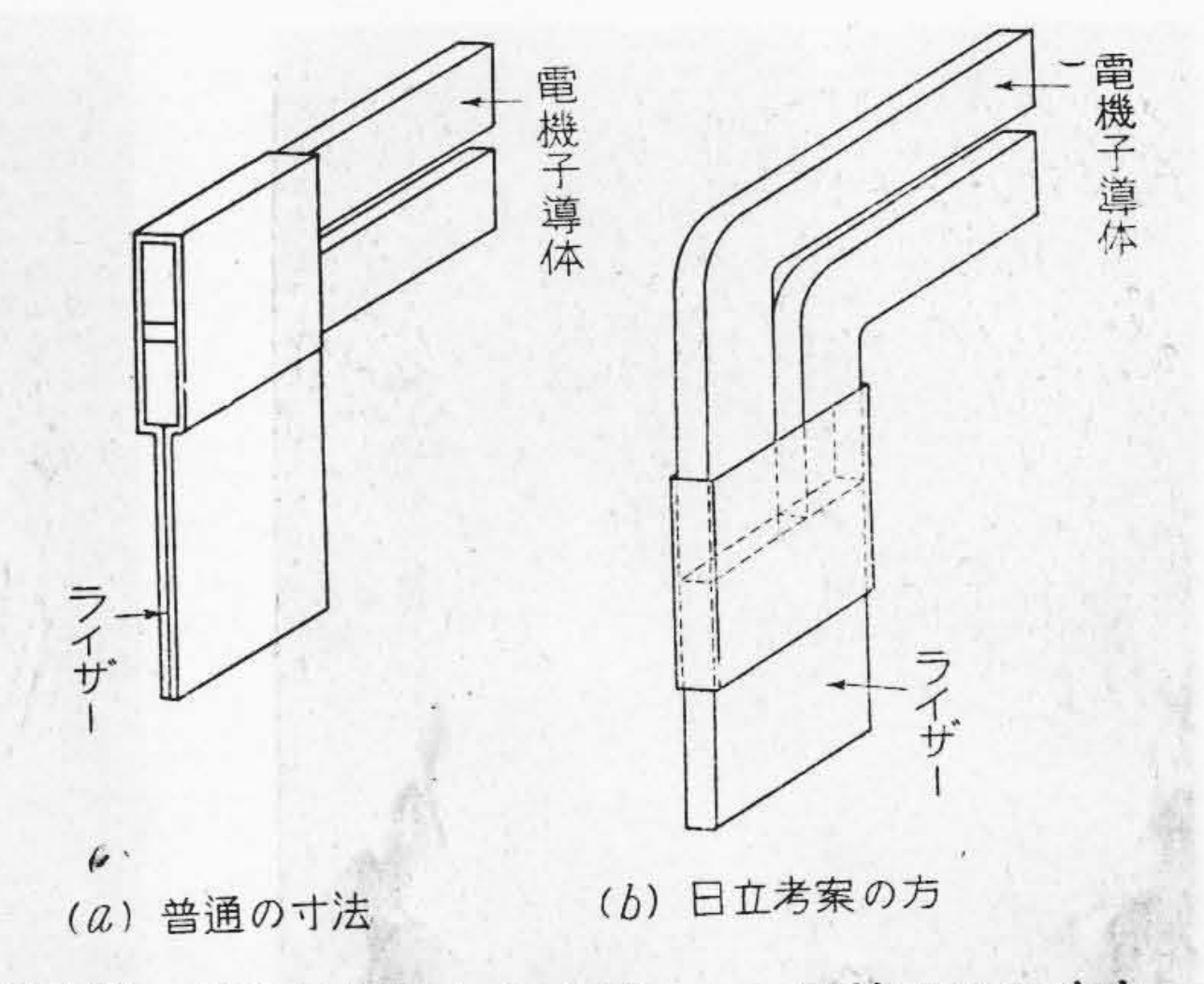
第6圖 重波卷方式の説明圖 Fig. 6 Connection between Commun

Fig. 6. Connection between Commutater and Armature Coil in Lap-Wave Winding

イザー間には耐熱性絶縁物のスペサーを入れて變形を防止してある。各ライザーは絶縁を施し導電性塵埃による 橋絡を防いである。

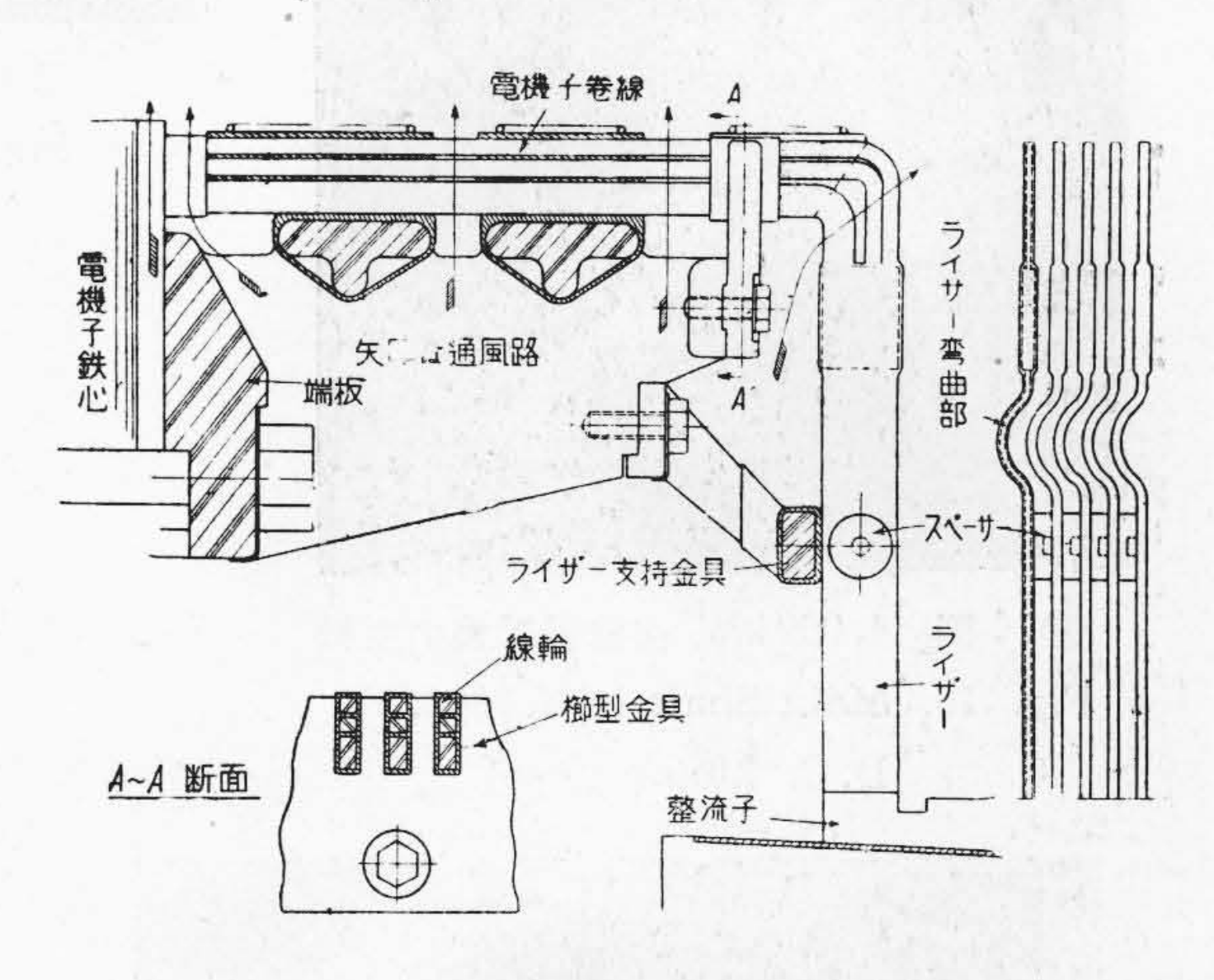
主軸は鍛鋼製で最大非常回轉力に耐えるは勿論、急激な加減速により生ずる振れ、及び、衝撃にも十分信賴し得る强度を有するもので第10圖(次頁參照)は主軸の外觀である。主軸と輻鐵とは燒嵌めの上、120°を隔ってておいた切線楔により安全度を十分大ならしめている。鐵心は鳩尾狀楔により輻鐵に固定され端板と輻鐵とは通しボルトを以て締付けてある。端板は締付けの反力に耐えるため鑄鋼製の完全なリング狀をなす。第11圖(次頁參照)は整流子側端板、第12圖(次頁參照)は輻鐵に締付けを完了した電機子鐵心を示すものである。

(B) 固定子 第13 圖(次頁參照)は本機の固定子の

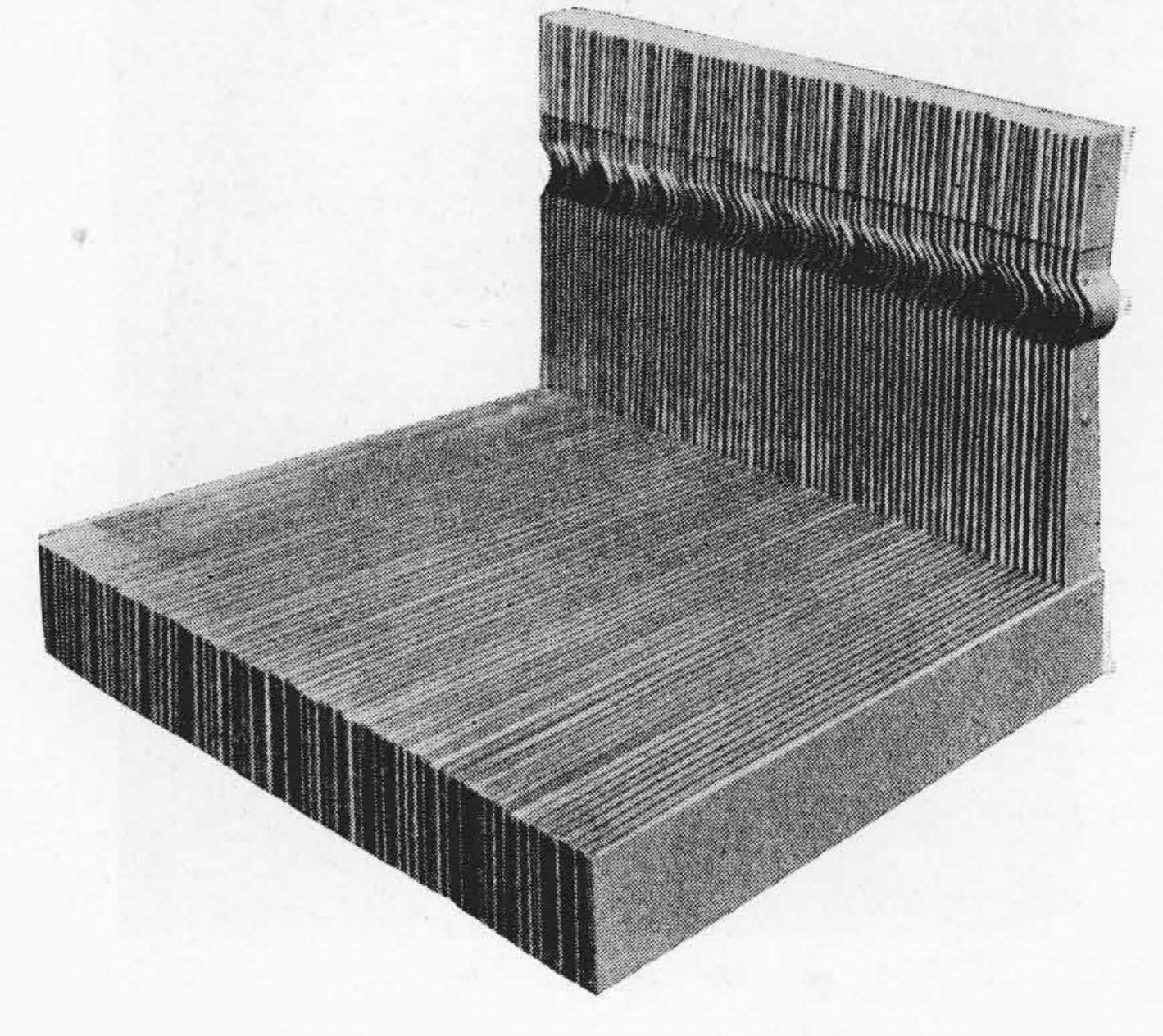


第7圖 電機子卷線とライザーとの接續方法の改良 Fig. 7. Connection between Armature and Riser a)—Ordinary Method

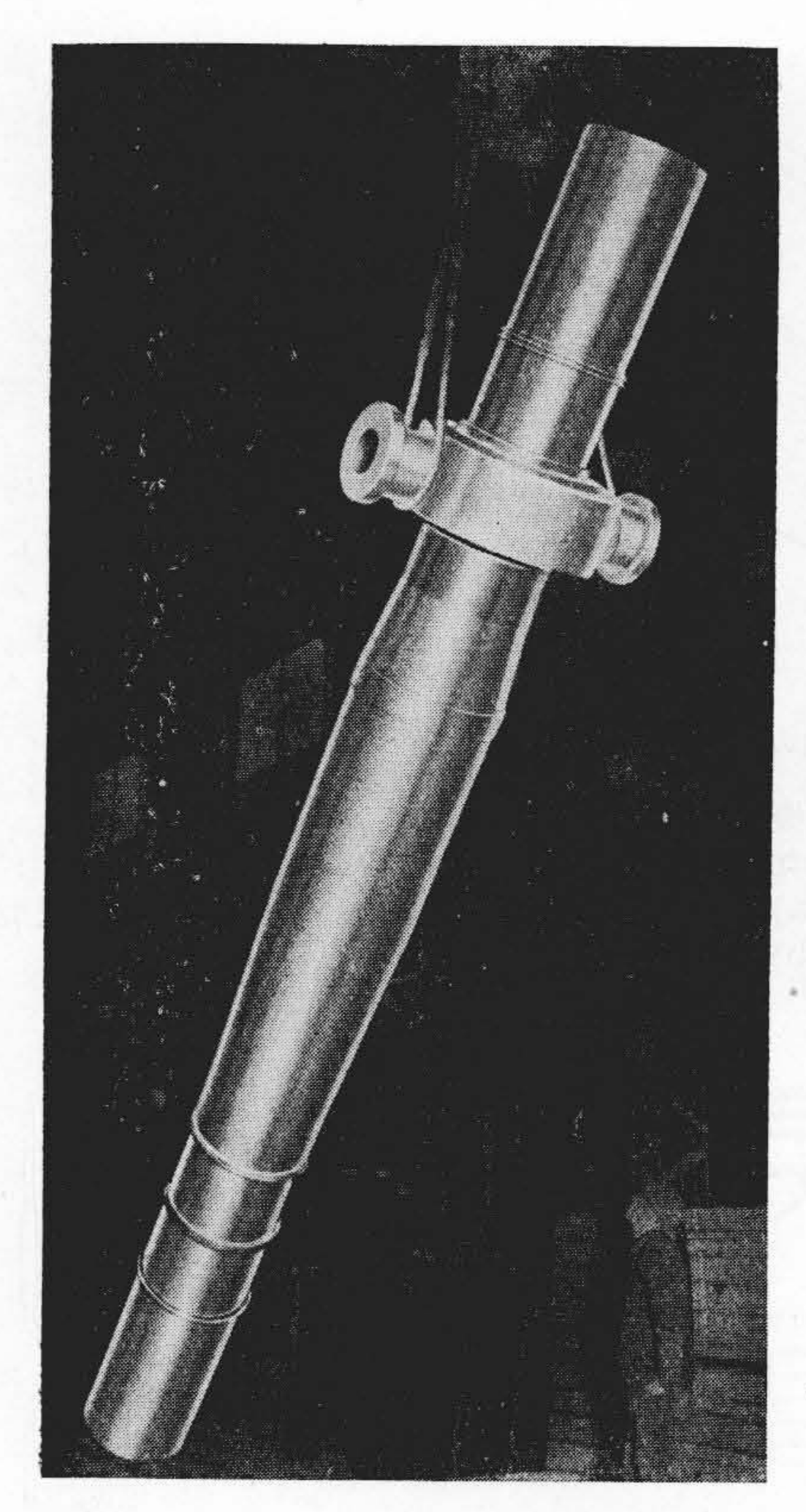
b)—Improved Method



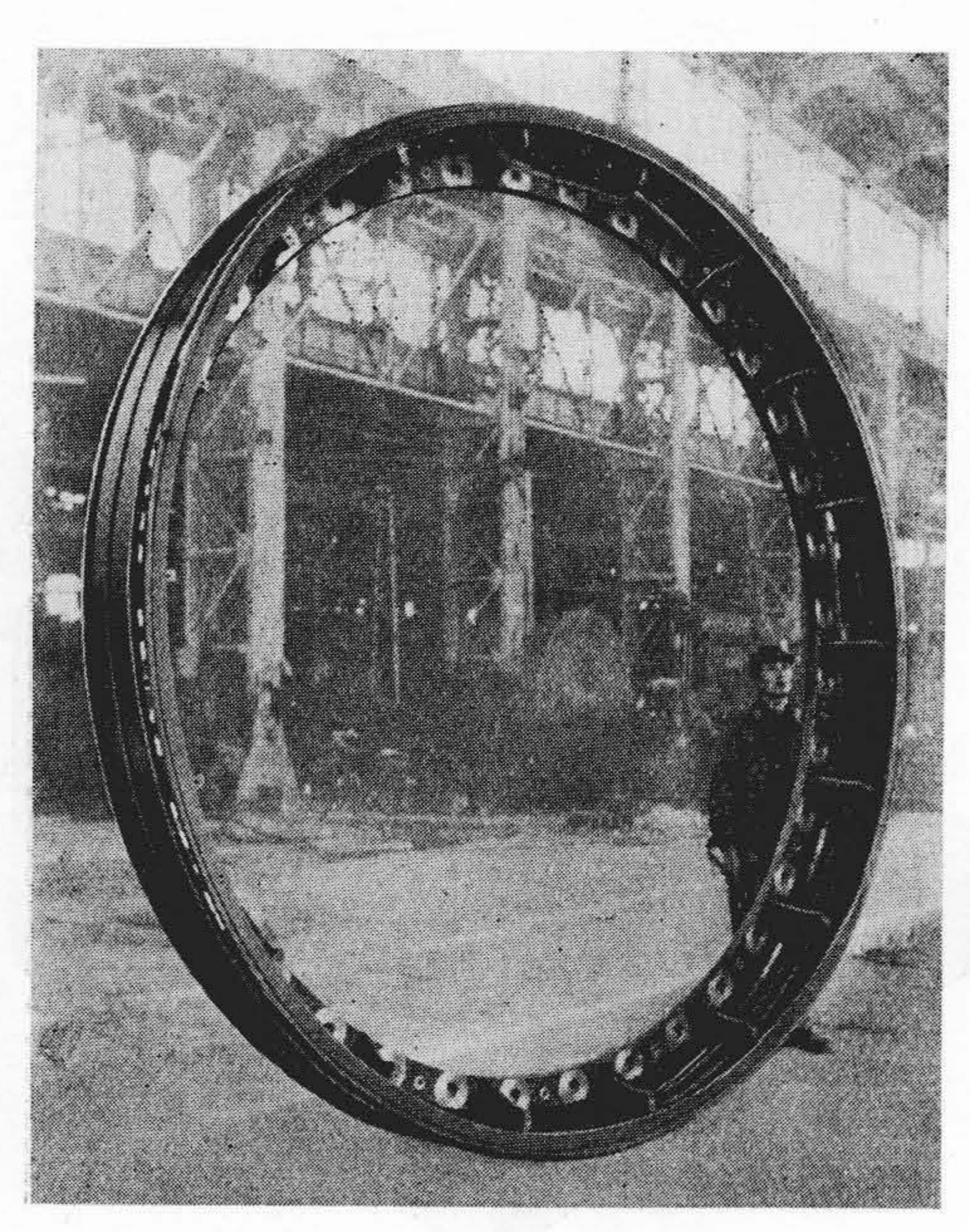
第8圖 本機の電機子卷線端部の改造 Fig. 8. Improved Construction of Armature Coil End



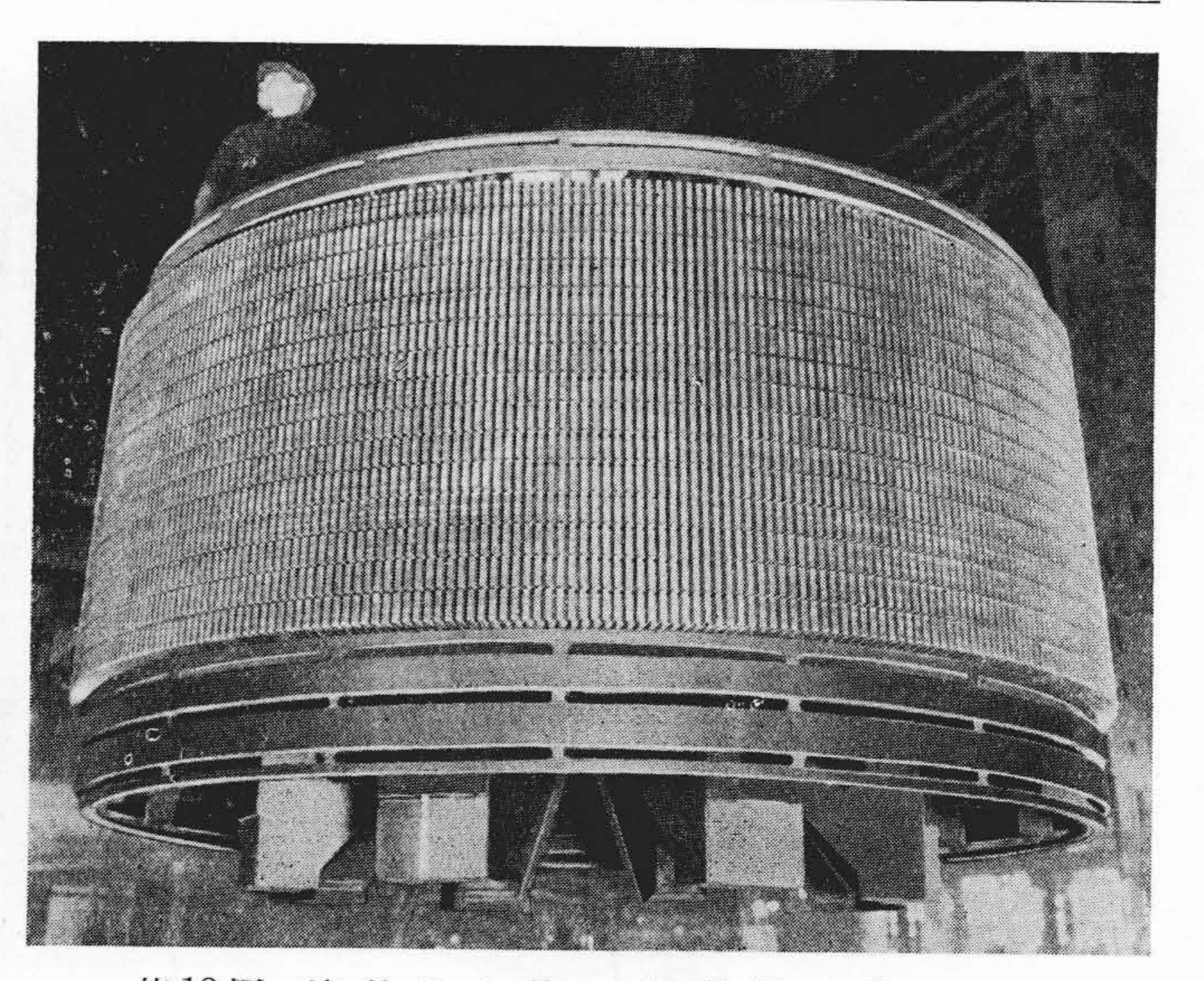
第9圖 整流子ライザーの構造 Fig. 9. Construction of Riser



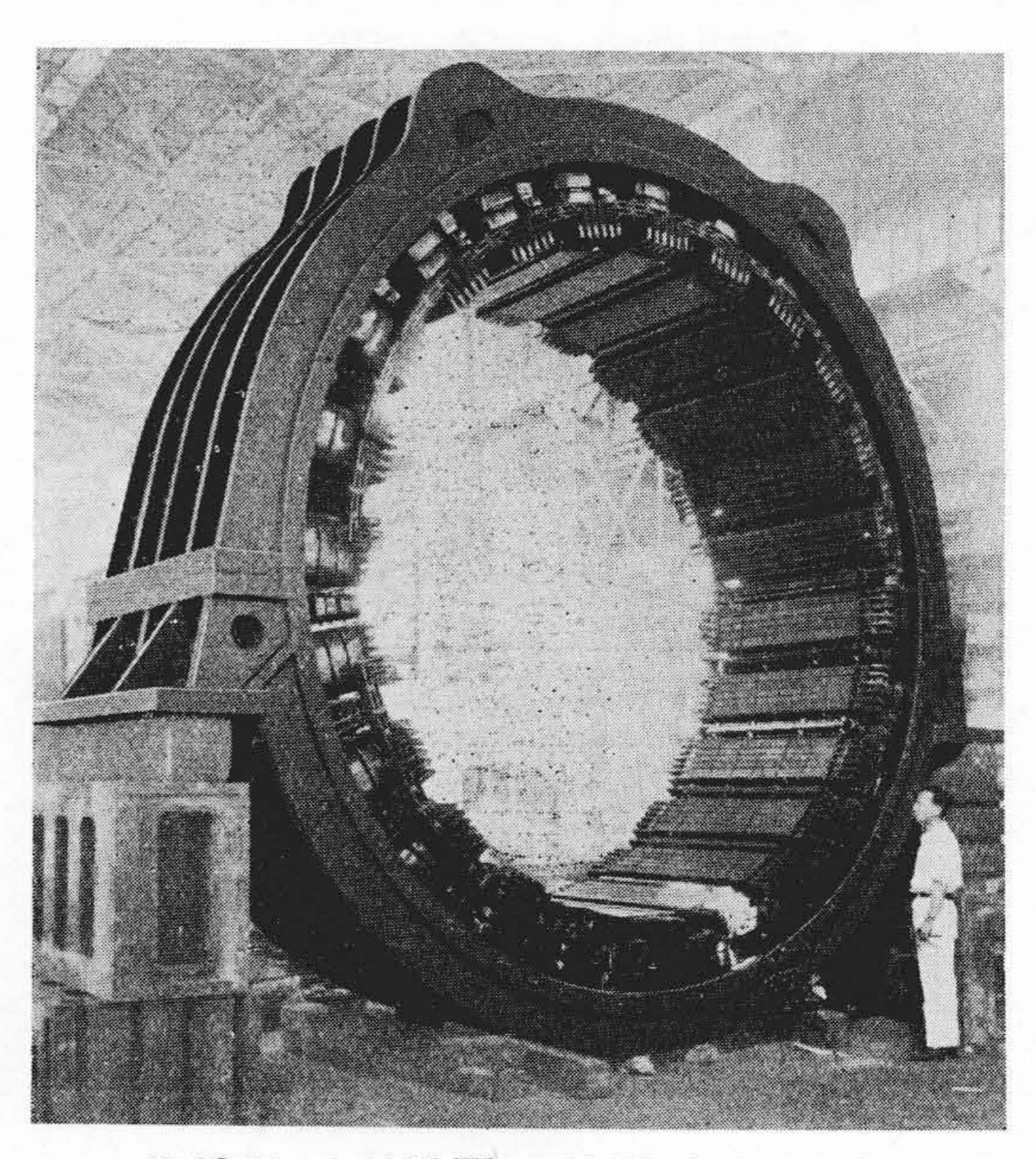
第 10 圖 4,000 kW 直流電動機の主軸 Fig. 10. Main Shaft of 4,000 kW D.C. Motor



第11圖 電 機 子 端 板
Fig. 11. End Plate of 4,000 kW
D.C. Motor



第12圖 締付けを終った電機子鐵心 Fig. 12. Armature Core of 4,000 kW D.C. Motor

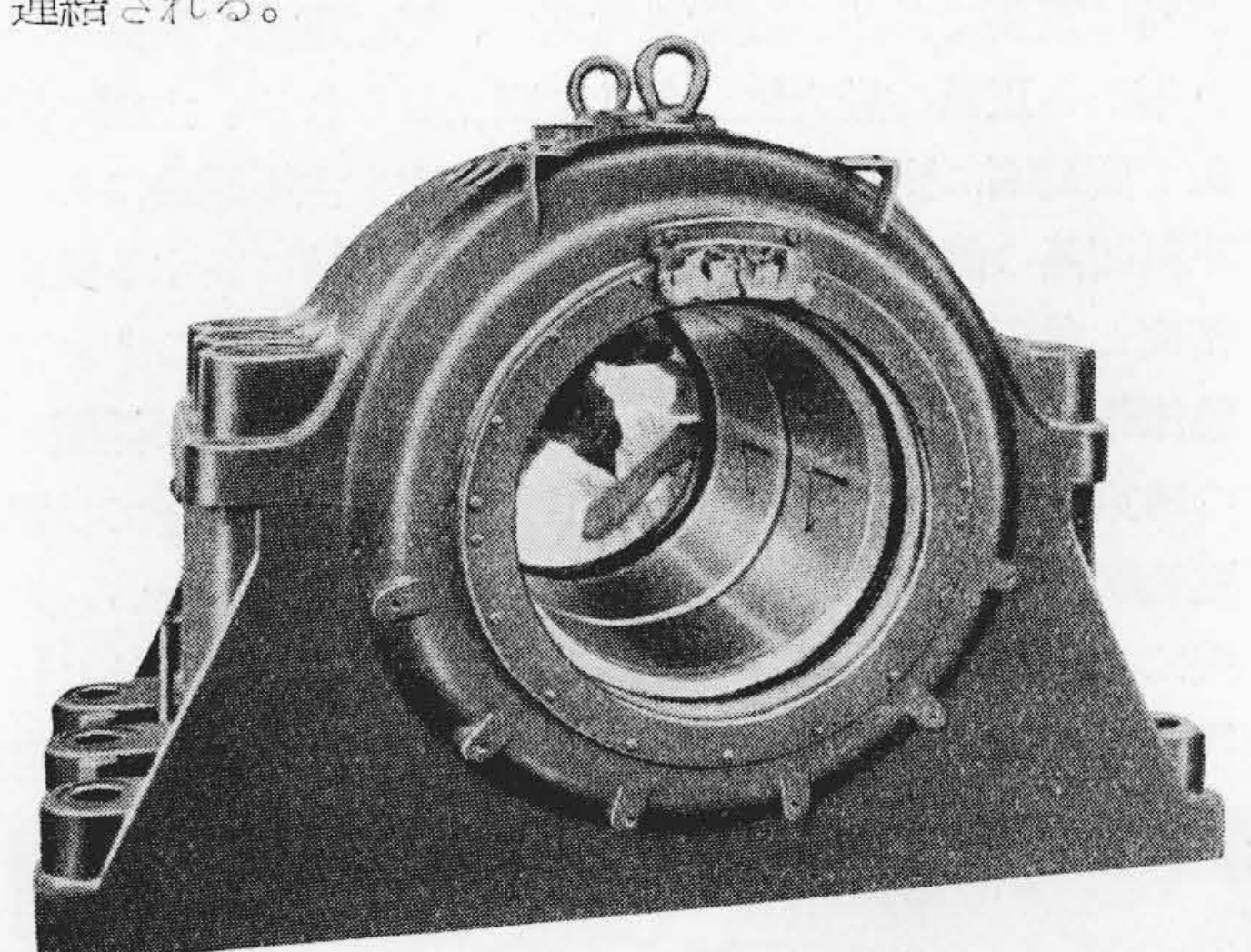


第13圖 4,000 kW 直流電動機の固定子 Fig. 13. Stator of 4,000 kW D.C. Motor

外觀である繼鐵は鋼板溶接構造であるから磁氣的に均質であり、繼鐵には5本のリブを溶接し自重、主極及び補極の重量並びに磁氣的原因より生ずる機械力に對して十分の强度を有するものである。繼鐵の斷面積は磁氣的に未飽和に設計され、尖頭負荷電流に於ても補極囘路に對する飽和の影響を無視し得る樣考慮されている。主極、及び、補極鐵心は繼鐵に密着して固定され、永年運轉後に於ても極のピッチが變化して整流に悪影響を及ぼすおそれのない樣注意を拂い、特に補極鐵心取付ボルトは强

力な非磁性合金が使用してある。補極卷線には主電流が洗れるので大きな機械力が發生しそのため絕緣を傷め事故發生の原因となることがあるので、本機では非磁性の櫛型金具による補强を施し卷線を固定してある。補極、及び、補償卷線の接續線は主軸に對し時計式及び反時計式厄轉の方向に接續し單極作用による軸電流の原因を除去してある。主極卷線は三段に分割され、各段間に通風渠を設け通風冷却作用を良好にした。

主電動機の兩側の軸受は同一構造のもので、軸受臺及びメタルは上下二つ割となつていて基礎コンクリートに達する通しボルトで締付け、更に床臺との取付面には楔を設け衝撃に對し十分强固な構造となつている。軸受の側面には推力軸受を設け不測の事故に對して電動機を保護する。給油は强制給油と、主軸に燒嵌めしたカラーによる自動給油を併用し、萬一强制給油が途絕しても暫時の給油を確保して軸受の燒損を防止する。軸受には指示溫度計と溫度繼電器を取付け過熱に對して保護し、且つ軸受臺に軸電流短絡用の刷子を備え軸電流によるメタルの損傷を防止する。囘轉計發電機は整流子側軸受部に設けたギャー、及び、フレキシブルシャフトにより主軸に連結される。



第14圖 軸 受 臺

Fig. 14. Pedestal of 4,000 kW D.C. Motor

(2) 整流上特に考慮された點 前記の如き負荷に對して良好な整流を行うため普通の電動機と異つた對策が とられている。

一般に重卷方式を使用した直流機に於ては次の關係式が得られる。

$$AC \cdot e_s = \frac{2P}{\pi D} imes 10^3$$
 $AC \cdot e_s = \frac{2P}{\pi D} imes 10^3$ $AC \cdot r$ アンペアコンダクター cm e_s 整流子片間平均電壓 V P 出力 kW D 電機子鐵心直徑 cm

即ち出力一定の場合、AC·es は電機子直徑に逆比例す

る。AC は整流に於けるリアクタンス電壓に關係する値で、リアクタンス電壓を低く抑えるには許容し得るAC の最高値は略定つており、 e_s はその値を高く採り過ぎれば負荷の急變時に閃絡を惹起する傾向を來す等の缺點があり、その値は可及的低い方が安定であることは既往の實績の示す處である。然し乍ら、本機の如く加減速度の重要なる用途に對しては徒らにD を大きくすることは避け、 GD^2 は極力小さくしなければならぬ。 斯かる相反する條件を滿足させるため、 AC,e_s ,D の配分は本機の設計の最初に最も慎重に考慮した點である。リアクタンス電壓を低下するために電機子溝の寸法を適當に選び、電機子卷線は短節卷とした。整流中の卷線に主極のフリンジング磁束による起電力を誘起せぬ樣、中性帶及び整流帶の幅を定め、且つ主極鐵心の先端の形狀には特に考慮を拂つてある。

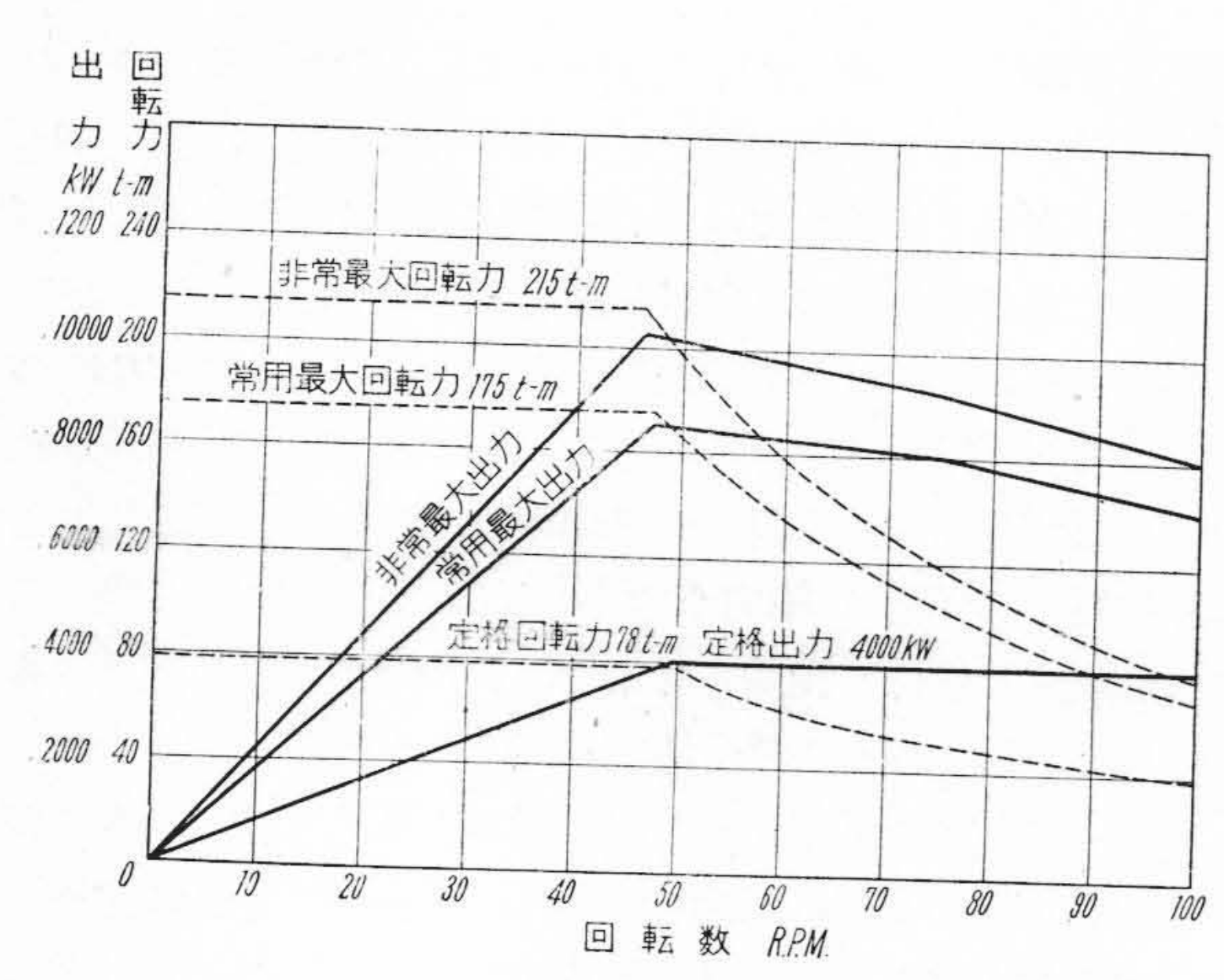
整流子の工作の良否は整流性能に影響すること甚大であるから特に慎重を期した。例えば整流子用マイカナイトはその電氣的性質は勿論バインダーの量、厚さ等に嚴重な規格を設け、合格したもののみが使用され整流子組立後の熱處理は大容量の整流子を多數製作せる經驗に基き十分なシーゾニングを施してあるから整流子片ピッチの不同、片の倒れ等は絕無である。

主磁極面に設けた補償卷線は發電子反作用による主磁東の變形を廣範圍に補償するに十分な卷囘數をとり、而も、主磁極面を飽和せしめぬ樣な設計となつている。補極鐵心は積層鐵板製で、繼鐵に近い側は特に斷面積を廣くし尖頭負荷に於ても補極鐵心を飽和せしめず、又鐵心の先端の形狀は整流上最適の磁束分布を得る如く工夫されている。補極卷線は特殊の金具により鐵心の先端に近く取付けて磁束漏洩を少くしてあり、補極卷線のアンペアターンは十分大きくとり、鐵心背面に非磁性ライナーを入れ、且負荷急變時に於ける非磁性ライナーのうず電流に基く整流磁束のおくれを極小ならしめるためその形狀は特殊な設計にしてある。

刷子は整流の良否に重大な影響を持つもので刷子材質の選定は最も慎重を要する點である。優秀な刷子としては固有抵抗の大きいこと、摩擦係數の小さいこと、灰分の少いこと、磨耗の少いこと、彈性係數の小さいこと、固體粘性の大きいことが必要で、後の二つの性質は絕えず整流子から受ける微細な振動を緩衝並びに吸收し、常に刷子と整流子との安定な接觸を保つのに有效である。本機に使用した刷子は日立製作所製 GH-45 で、その特性は世界的に有名な刷子に匹適するものである。

(3) 特性

第 15 圖(次頁參照)は本電動機の動作曲線圖である。 50 r. p. m. 以下卽ち、電壓制御の範圍に於ては電動機に



第15圖 4,000 kW 直流電動機動作曲線圖 Fig. 15. Performance Curve of 4,000 kW D.C. Motor

加える電壓の大きさ、及び、方向を變化して加減速、及び、逆轉を行い、この間は囘轉力は 78 t-m 一定にして電動機出力は囘轉數に比例する。50~100 r.p. m. の速度を得るには電動機界磁電流を加減する。この間は出力は 4,000kW 一定で、囘轉力は速度に逆比例して減少し 100 r.p. m に於ては 39 t-m である。常用最大囘轉力は 175 t-m, 非常最大囘轉力は 215 t-m で定格出力の 225%及び 275% に相當する。界磁制御の範圍に於ては整流作用は困難となる故に出力は幾分減少し、その割合は曲線に示す如くである。

本機の設置場所の室溫は非常に高く夏期 40°C を超過することも珍らしくない。從つて各部の溫度上昇は一般機械よりも低くとる必要があるので、別項の如き强制通風方式を採用すると共に、各部の絕緣は全てB種とし、而も、溫度上昇はA種の許容限度以下に制限してある。

一般に斯かる大容量機に於ては、整流上及び GD² を小ならしめる必要上複電機子型が用いられる傾向があるが、複電機子型は機械的强度、床面積價格、及び、能率の點に於て單電機子型に劣るものである。本機は前述の如く整流作用を良好に保つため種々の工夫を加え、且、各部の機械的强度には綿密な検討を加えて單電機子型としたものである。

[IV] 4,500 kW イル グナー變流機 4,500 kW イルグナー變流機は、2,250 kW 可變電壓 直流發電機2臺、3,000 kW 誘導電動機1臺、及び、蓄勢 輪よりなり、その外觀は第 16 圖(次頁參照)の如く誘導 電動機一直流發電機一蓄勢輪の順序に配列されている。

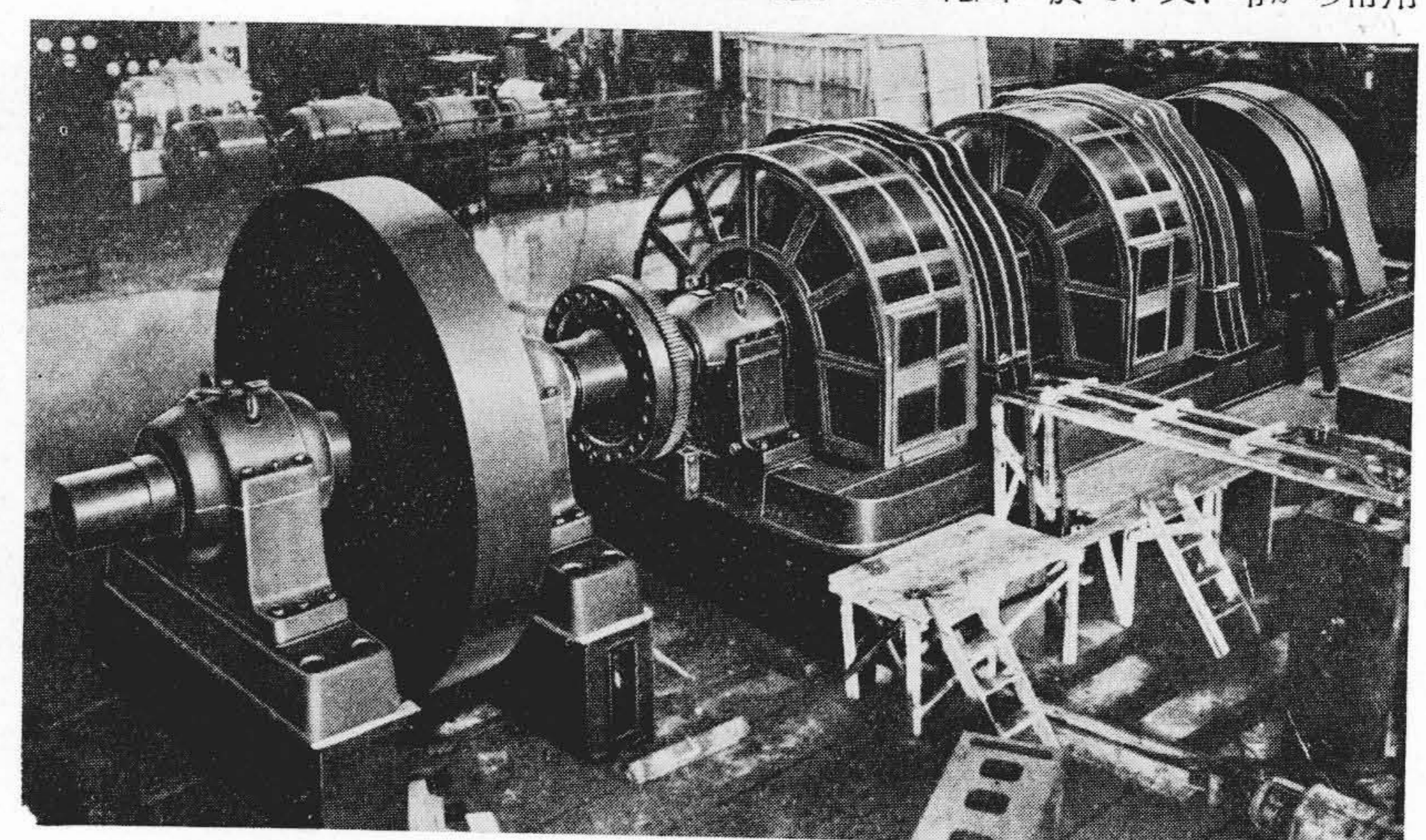
1. 2250 kW 直流發電機

イルグナー變流機の具備すべき第一の條件は、主電動機と同樣急激な負荷の變化、及び、過負荷に耐え得る機械的强度と電氣的特性である。變流機として特に異る二三の點に就いて述べる。

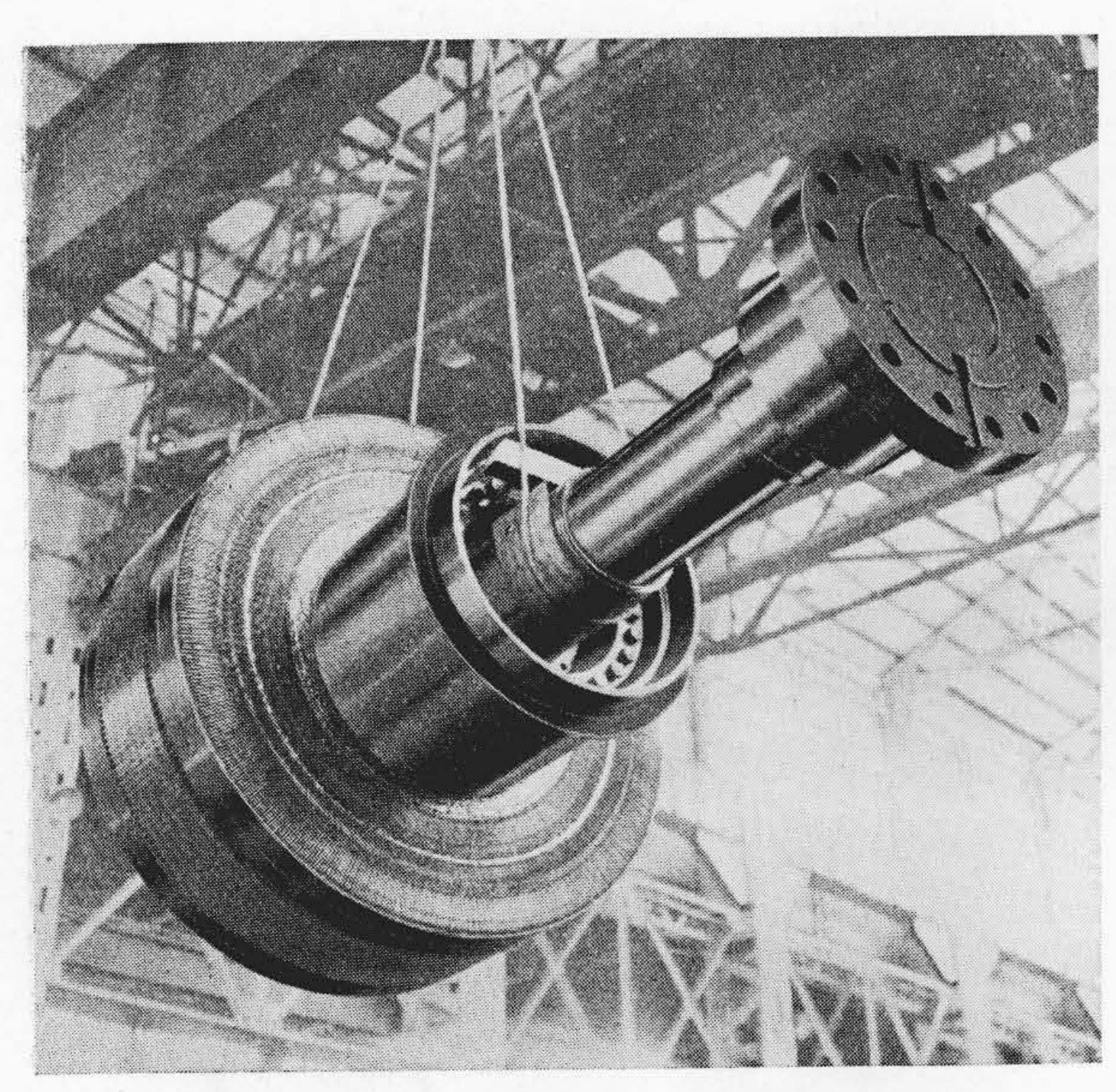
一般に變流機は、その回轉數を許し得る最大經濟速度 迄上げるから、比較的低速度の電動機よりも整流作用は 一段と困難になり、機械的にも亦この點から檢討を加え る必要がある。

直流發電機の整流子は高速度に耐え、而も、大きな電流容量を要するので、その設計は特に慎重に檢討した結果單一整流子型とした。整流子の工作は入念を極め運轉中に熱、及び、遠心力のため整流子片の變形を起すおそれは絕對にない。第 17 圖(次頁參照)は整流子側より見た電機子である。

電氣的特性としては整流作用と電壓上昇及び降下速度が特に重要である。發電機電壓は、界磁電流の制御により零から正負の最大値迄急激に變化せられる。主極の勵磁を廣範圍に變化する場合は補極磁束も主極勵磁による磁氣囘路の飽和の影響を受けるため、整流に要する磁束密度と負荷電流の比例性は失なわれる傾向がある(8)。又整流帶に主極のフリンジング磁束が入る場合には補極下の磁束分布は主極勵磁により歪を生じるため、全ての電壓範圍に於て良好なる整流を行なうことは望めない。本機はこれ等の點に關しても綿密な考慮を拂つて設計され零から正負の全電壓に至る範圍に於て、又、零から常用



第 16 圖 4,500 kW イルグナー變流機 Fig. 16. 4,500 kW Ilgner Converter



第17圖 2,250 kW 直流發電機の電機子 Fig. 17. Armature of 2,250 kW D.C. Generator

最大電流に至る範圍に於て完全な無火花整流を得た。

電動機の電機子は機械的慣性を有するがその時定數は 發電機界磁の電氣的時定數に比し極めて小さいので、電 壓制御による電動機の加減速度は、殆ど、發電機電壓の 上昇、降下の速度により決定される。從つて界磁の時定 數は極力小さく設計され、制御方式、及び、各勵滋機の 特性の良好なることと相俟つて所期の運轉性能を擧げる ことが出來た。

直流發電機は2臺並列連轉を行う方式で、他勵磁卷線は1臺の勵磁機により直列に勵磁され、各機の自勵差動

直卷卷線と他勵和動直卷卷線を交叉接續して負荷を平衡させる。各卷線のアンペアターンとその配置は適當に選んであり、試験によれば發電機間の横流は全ての負荷狀態に於て測定し得ない程度に僅少であつた。第 18 圖は發電機で通風用カバーを取外した所である。

本變流機の GD² は極めて大きいので 停止する場合は誘導電動機に 25 kW 直 流勵滋機により發電制動をかける方式と した。但し、萬一停電等により發電制動 をかけられぬ場合に於ても軸受の給油は 完全に行われる。

2. 3,000 kW 三相誘導電動機

2,250 kW 直流發電機2臺に直結されるもので終戰後の記錄品であり、又種々新しい方式を採用した壓延設備用誘導電

動機として劃期的なものである。以下構造及び特長につき述べる。

第 19 **圖**(次頁參照)は本機の外觀を示し、**第 20 圖** (次頁參照)はその構造圖である。

」固定子枠は鋼板を電氣熔接したもので、機械的に極めて頑丈であり、通風效果も良好ならしめる様特別の考慮が拂われている。第21圖(第17頁參照)は固定子の外觀である。倚解體に便利の様に軸方向に移動し得るは勿論上下左右にも動かし得る特殊構造の足を有する故、空隙の調整も極めて容易である。

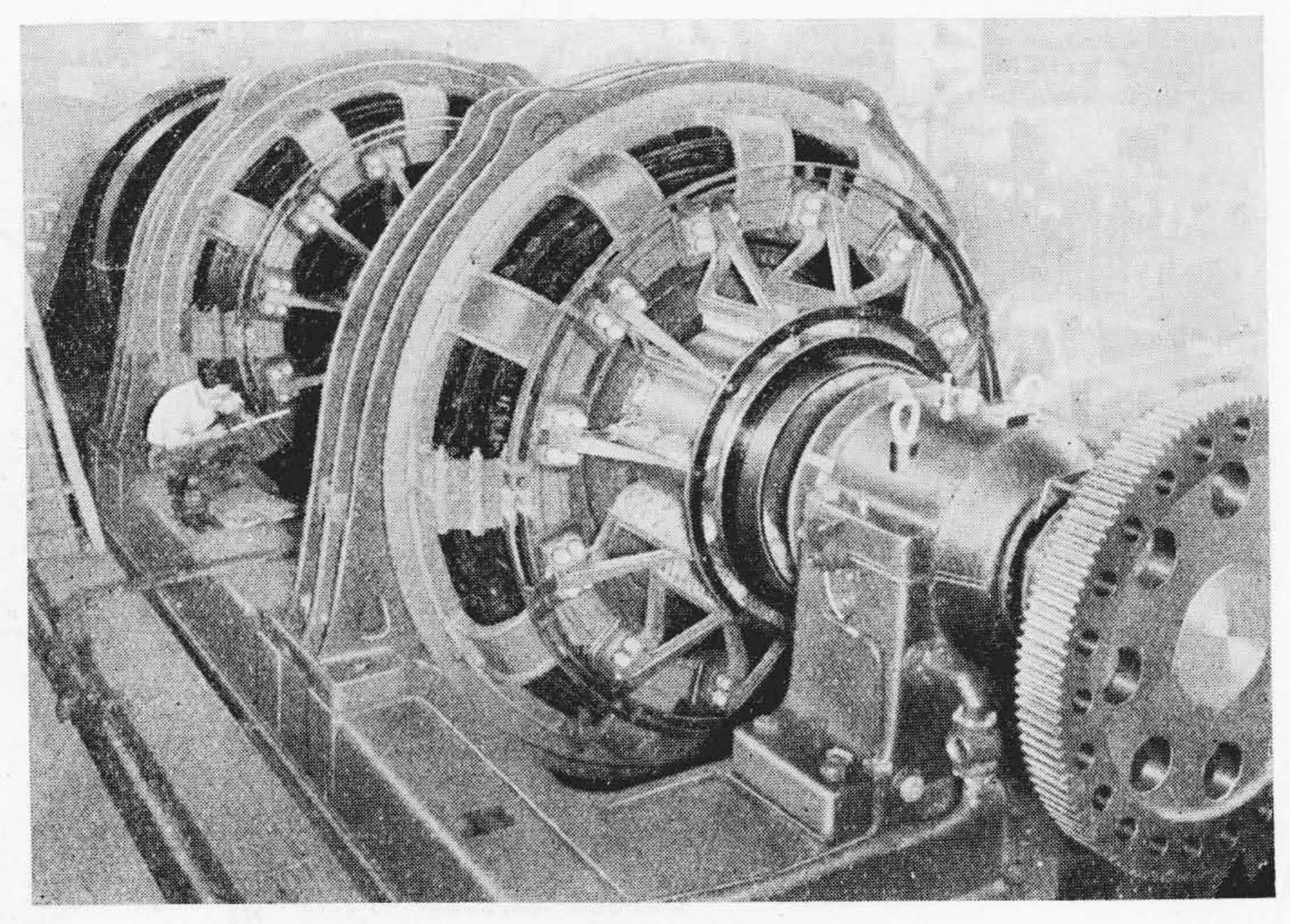
固定子は鐵心の締付に特に意を用い、端板の構造も 頑丈のものとし、内部通風渠もI形鋼を用い通風渠の 間隔も狹くしてある。

固定子線輪は完全なB種絕緣を施し、高温度に耐え 過負荷容量も十分持つ様にしてある。電線は二重ガラ ス卷線を使用し、耐熱ワニスで處理し對地絕緣を施す 前に、絕緣コンパウンドで十分眞空注入してあり、對 地絕緣はマイカを主とした絕緣を施し、その上をガラ ステープで捲いてある。

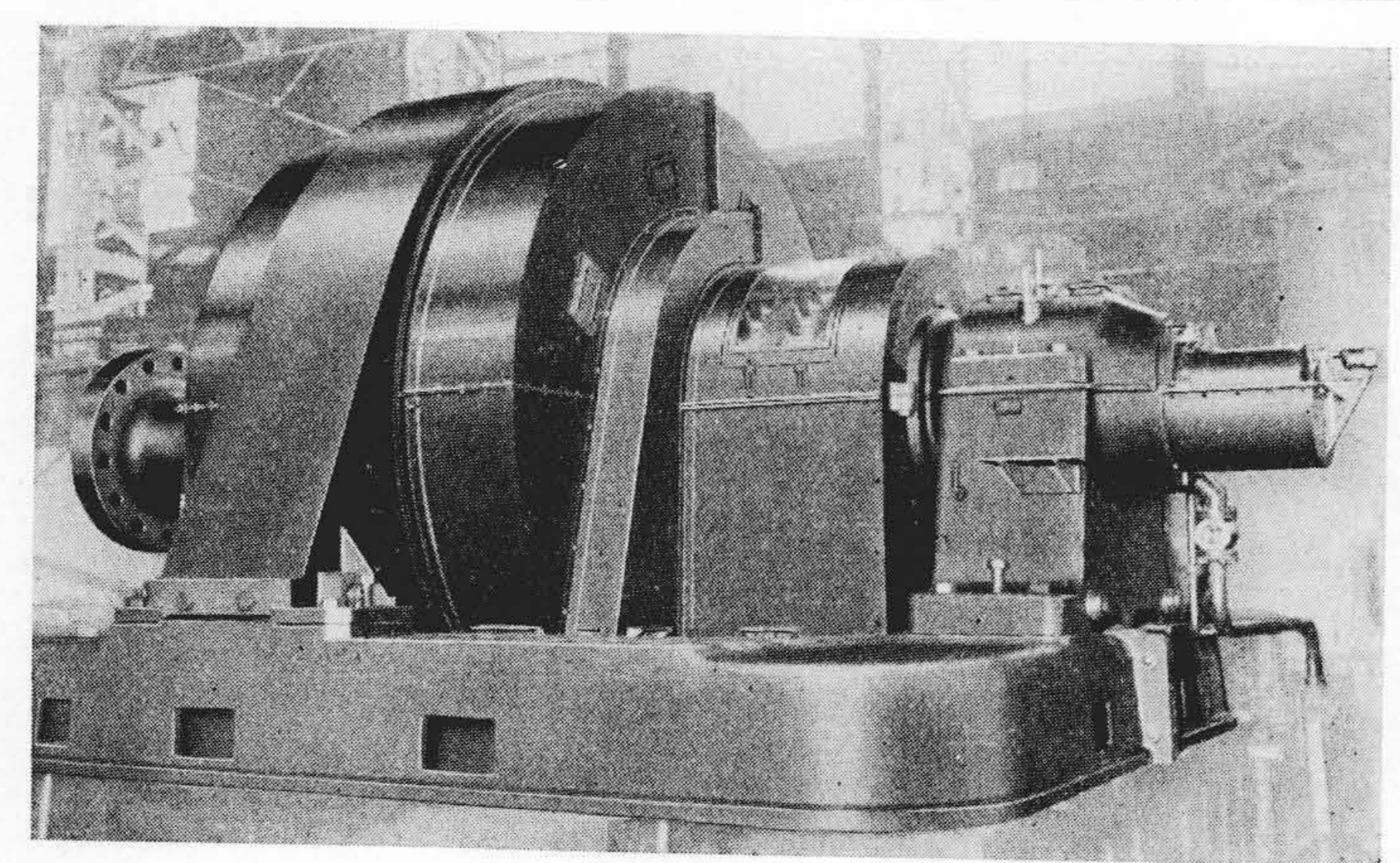
溝外の絶縁もB種絶緣にし線輪の間に間隔片を設けて 線輪を固定し頑丈な支持環を設けて麻糸で十分緊縛して あるので、過大電流が流れても動かない。

回轉子軸は强度の極めて高いもので直流發電機との直 結部分は接手を用いず、回轉子軸を打出した構造のもの にした。第22 圖(第17頁參照)は本機の回轉子である。

回轉子輻鐵は鑄鋼製で機械的强度の高いことは勿論、 特に通風の良好なる樣な形狀にし、外周に鳩尾狀のキー 溝が切つてあり、回轉子鐵心が嵌入する構造になつてい る。



第 18 圖 2,250 kW 直流發電機 Fig. 18. 2,250 kW D.C. Generator



第19圖 イルグナー 變流 機用 3,000 kW 誘導電動機

Fig. 19. 3,000 kW Induction Motor for Ilgner Converter

回轉子鐵心は輻鐵との固定に特に意を用いその嵌合 は機械的力及び熱膨脹力等を考慮して決定してある。

回轉子線輪も固定子線輪同様完全なB種絕緣を施し 導線は平角銅線をマイカにて絕緣したものを採用し、 一本一本型により成型したものを半閉の鐵心溝に攻め たものである。

薄外は端板により支えられ外周はバインド線により 緊縛されて居り、各導體間は完全に絶縁され、萬一塵 埃が囘轉子線輪に附着しても支障なき様にしてある。

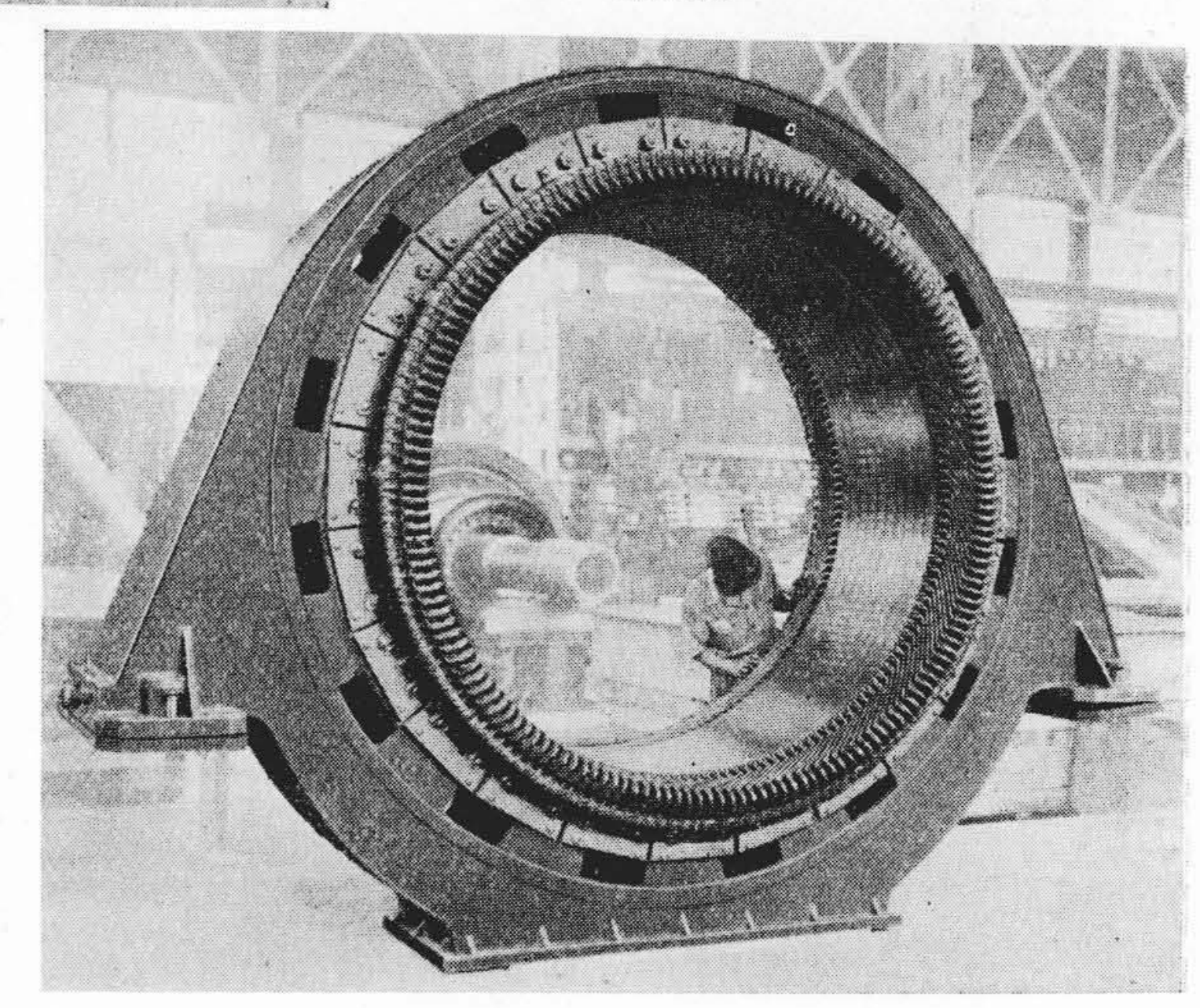
集電環は青銅製で集電環ボスの上にマイカプレート

を
焼付けその上に
焼嵌めたものである。
各
部絶縁耐力、沿面距離は十分大きくとつて
あり、特に
集電環距離は
從來のものより
遙
かに大きくしてある。

各部に塵埃のつくのを防ぐため、集電環カバーを設け清淨された空氣を集電環部分に取入れ、集電環を冷却し又塵埃を吹き飛ばしながら上部の通風孔より室内へ放出す

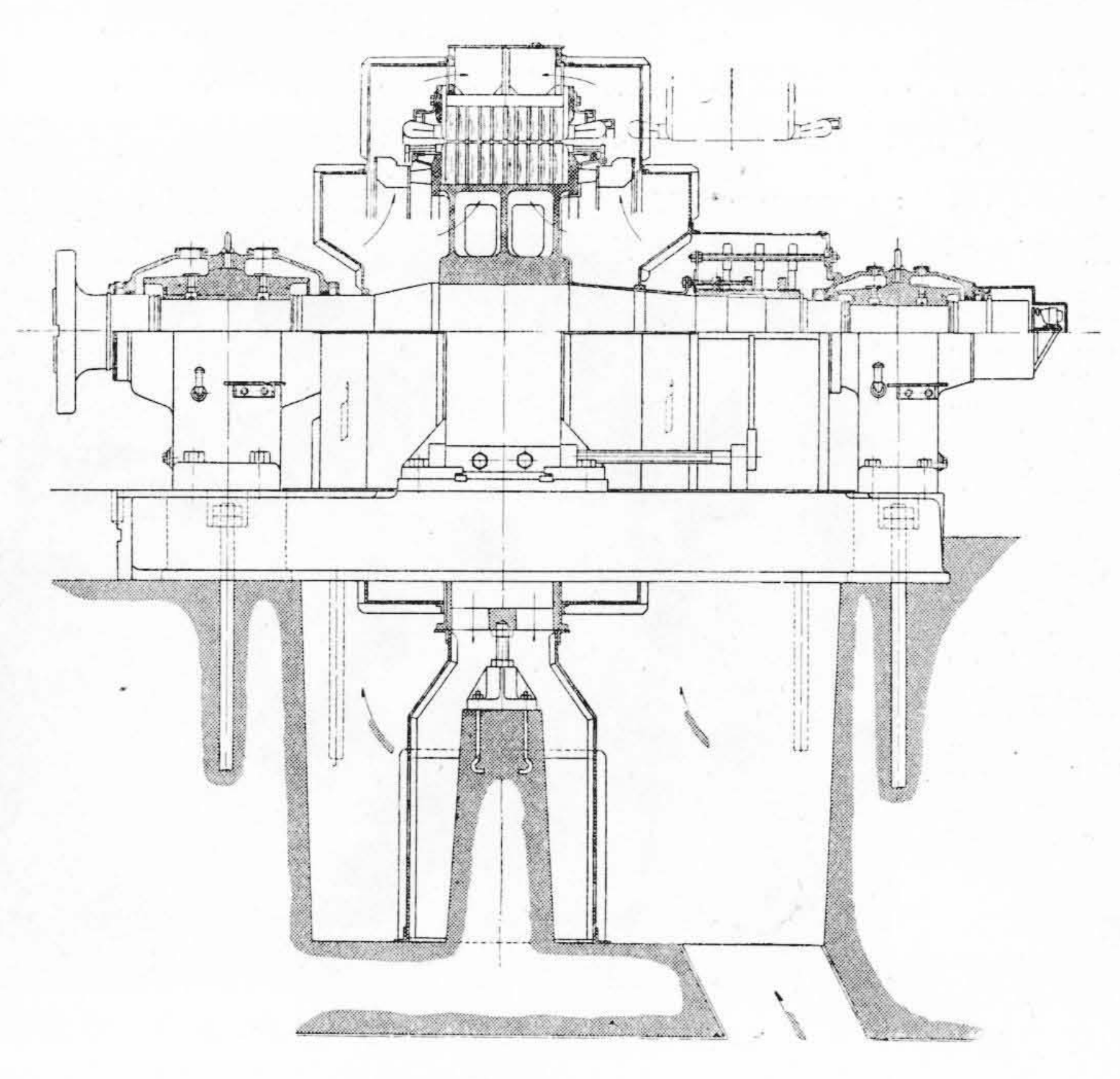
第 21 圖 3,000 kW 誘導電動機固定子

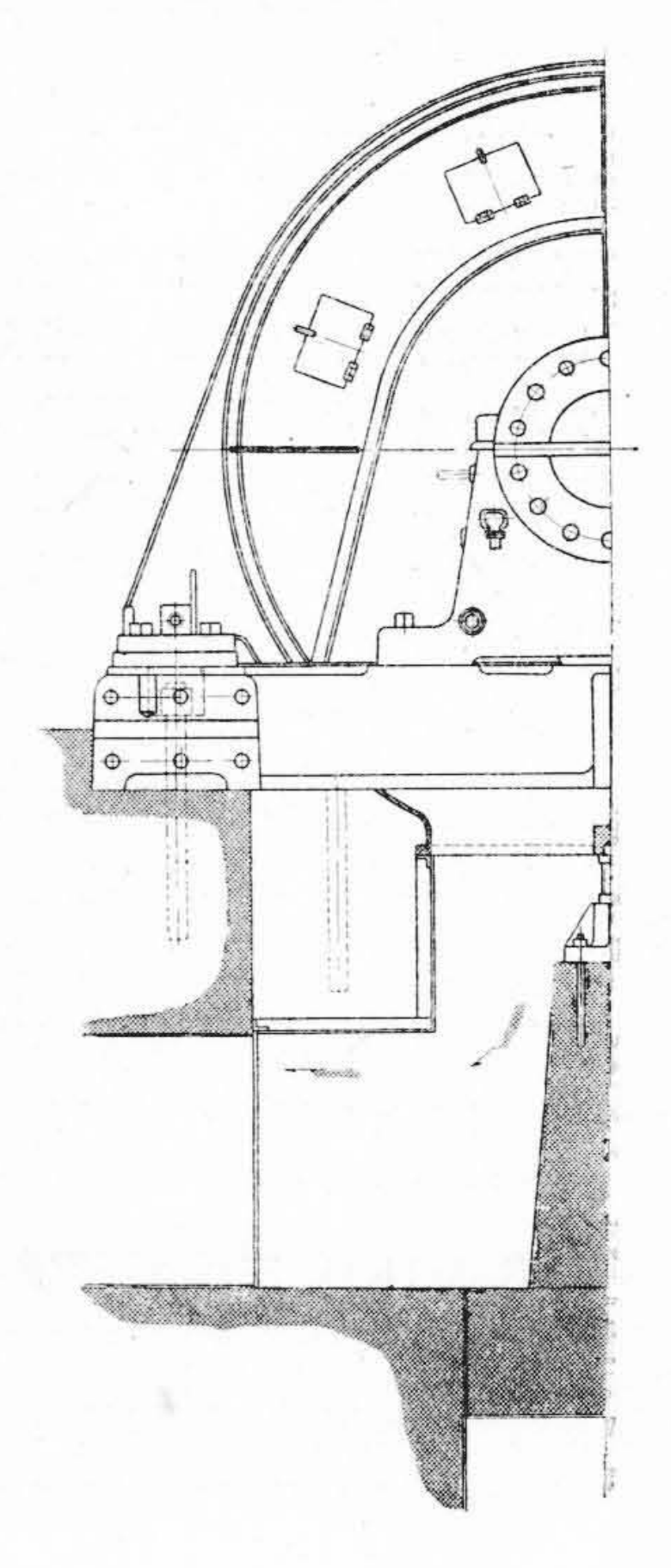
Fig. 21. Stater of 3,000 kW Induction Moter

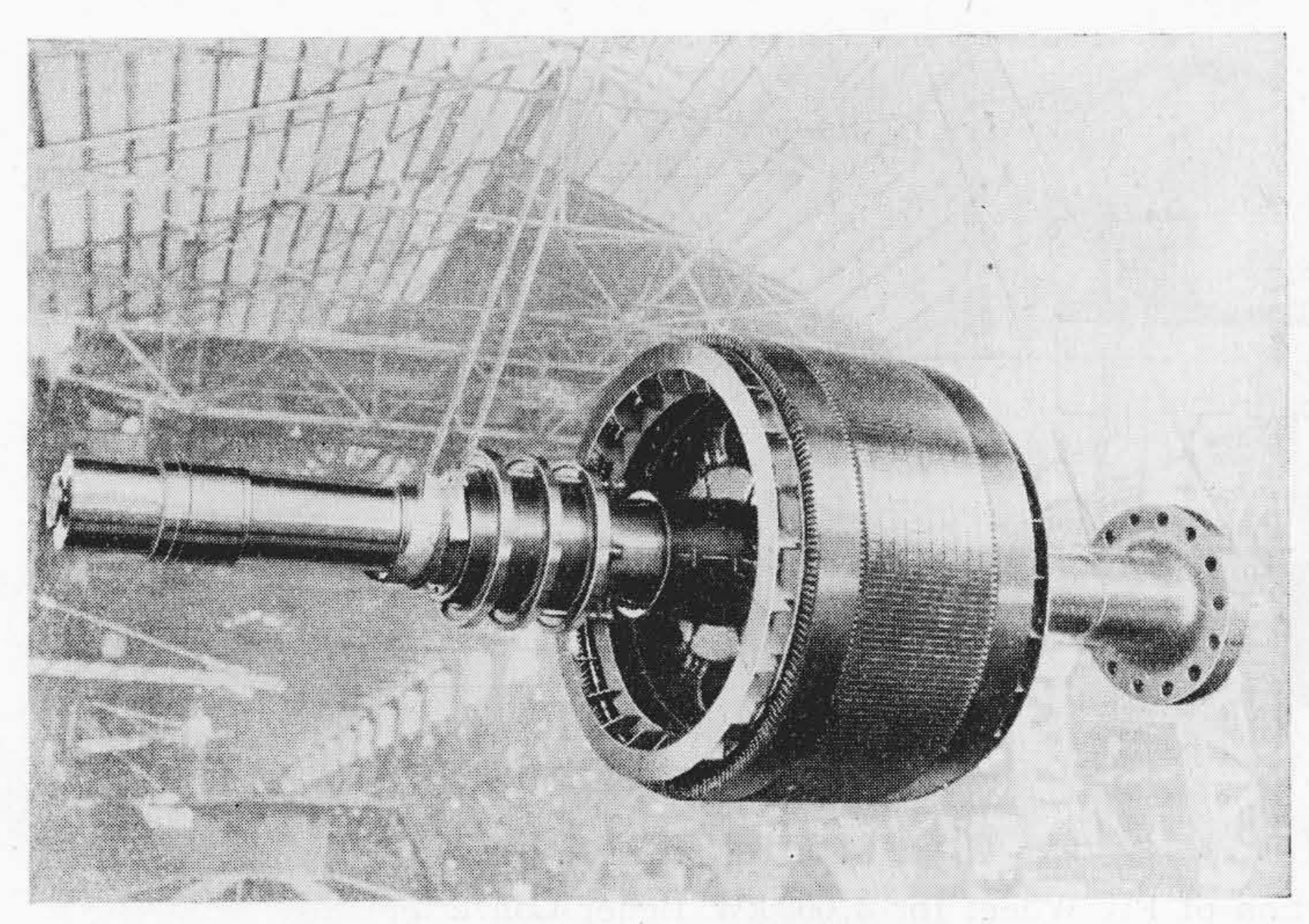


第 20 圖 イルグナー變 流機用 3,000 kW 誘導電動 機構造圖

Fig. 20.
Construction
of 3,000 kW
Induction
Motor for,
Ilgner
Converter







第 22 圖 3,000 kW 誘 導 電 動 機 囘 轉 子 Fig. 22. Roter of 3,000 kW Induction Motor

る構造にした。

刷子は金屬黑鉛刷子として最も特性の良い MH-33 を 使用した。

刷子保持器は黄銅製で、刷子の動搖に對し十分考慮したバネ特性を有するもので、刷子の磨耗に應じてバネの 壓力を加減し得るものである。尚集電環の磨耗に應じ刷 子保持器の位置も加減し得る構造になっている。

軸受は直流發電機と同一構造のもので强制給油方式を 採用し、その上油環給油方式を併用してある。

軸受には棒狀溫度計を設け、溫度繼電器も設置し過熱 した場合警報を鳴らして直ちに停止させる様にしてあ る。尙油漏洩に特に意を用い、二段三段に油切り装置を 設けた。

軸電流防止裝置として直流機と同様に軸受臺に絕緣せられざる刷子保持器を設け、この刷子を軸面に滑らせる構造を採用した。この裝置は軸受臺を絕緣する等の方法に比し極めて簡單な構造でしかも軸電流防止效果の大なるものである。

本機は反直結側も軸端を出してあるが、この部分に回轉計發電機を齒車にて驅動する裝置が設けてある。

3. 蓄勢輪裝置

蓄勢輪は 135,000 HP-sec と云う巨大な勢力を蓄えて、 直流發電機に過負荷がかかつた時に速應滑り調整器の動 作により誘導電動機の滑りを増さしめ蓄勢輪より勢力を 直流發電機に與え誘導電動機の入力電流を略一定にする もので、第 23 圖は蓄勢輪の外觀を示し、第 24 圖 (次 頁参照) は本裝置の全體構造を示すものである。

(A) 蓄勢輪

蓄勢輪は運轉中全速で囘轉させるだけでも内周附近に

於ける應力は相當高くなり、又直洗發電機の過負荷時に於ては所要勢力は大部分蓄勢輪より出さねばならないので、運轉時に於ても相當の締付を要し、この場合の應力は非常に大きくなる。この大きな應力に完全に耐えるために鍛鋼品を採用したので强度は高く、材質均一で鑄巢の恐れ等は全然なく、又構造は一個の超大型の圓板に過ぎないから簡單なもので、極めて信程度の高いものである。

尚本機は組立後嚴密な同轉平衡試験を 行い、25% の過速度試験も行つたが、全 然異狀は認められなかつた。

本機は運轉中相當な風を起すのでカバーにより覆つたが、内部に熱を發するのを防ぐため、カバーの側面に通風孔を設け、
を防ぐため、カバーの側面に通風孔を設け、
を勢輪のファン效果により風をこの

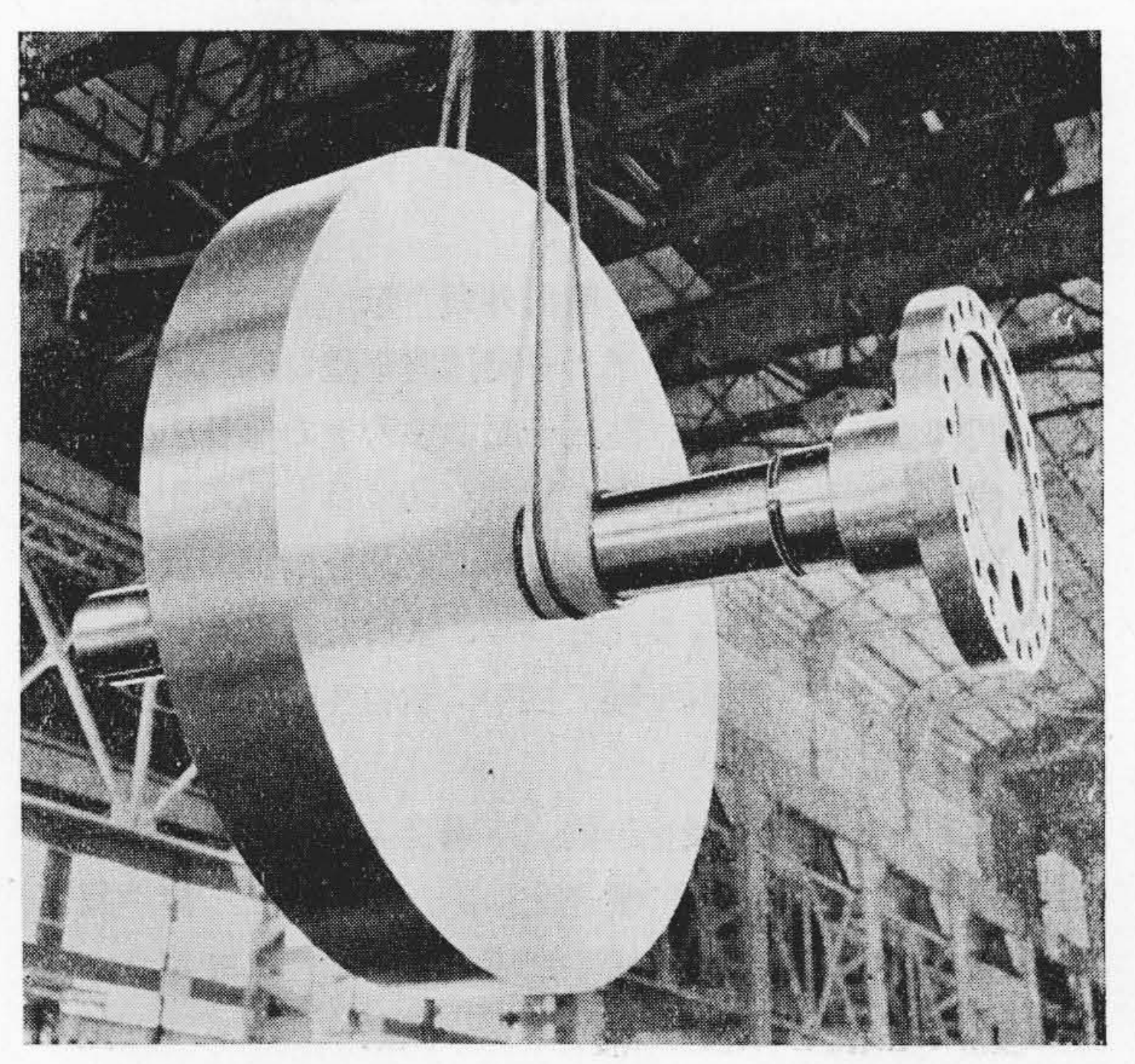
孔より吸込みカバーの下部より排氣風道に放出する構造にした。

本機は電動機と同一構造の軸受二個にて支持せられ次に記す接手により直流發電機に連結される。

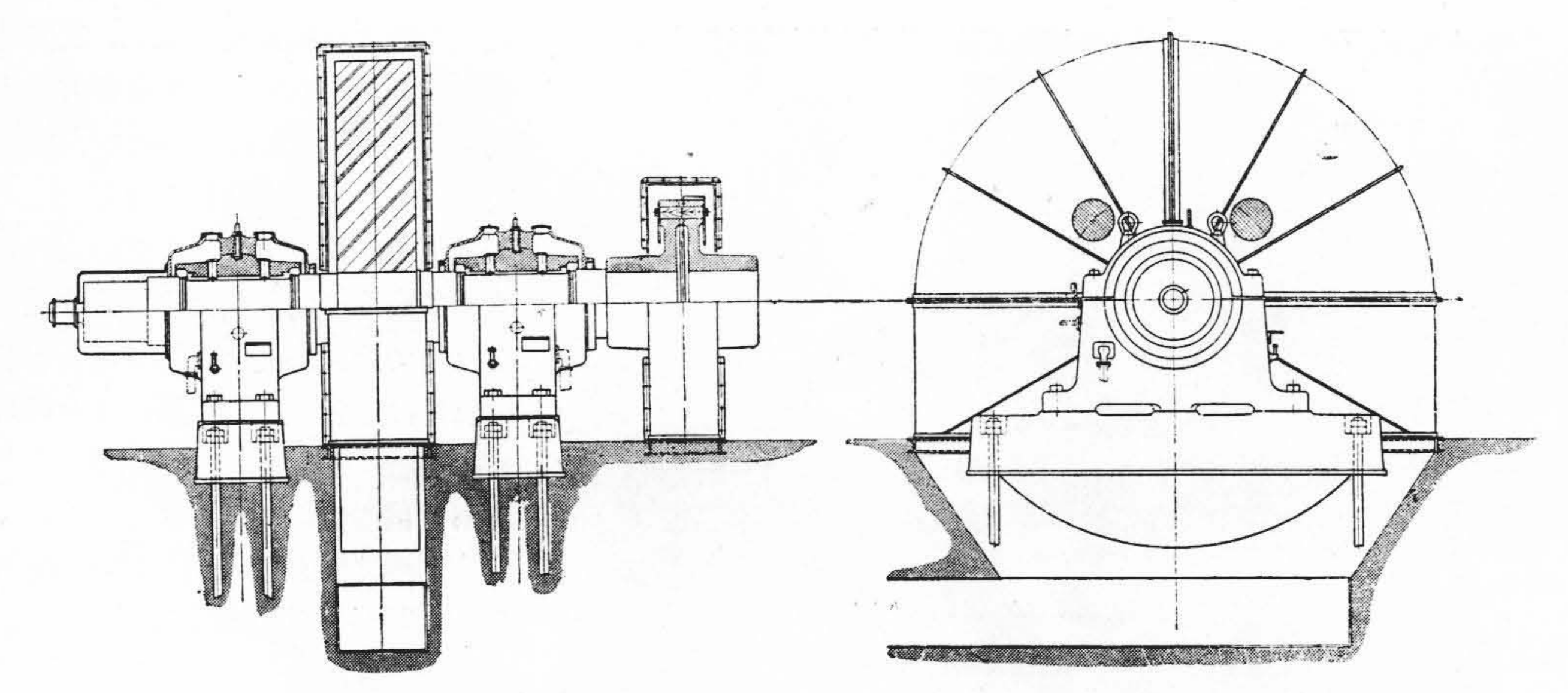
(B) 接手

本接手は木製ピンにより力を傳達する一種の可撓接手である。この木製ピンは何等かの事故により急激に危險 同轉力がかかつた場合に切斷されるもので、一種の安全 装置として機械を保護するものである。

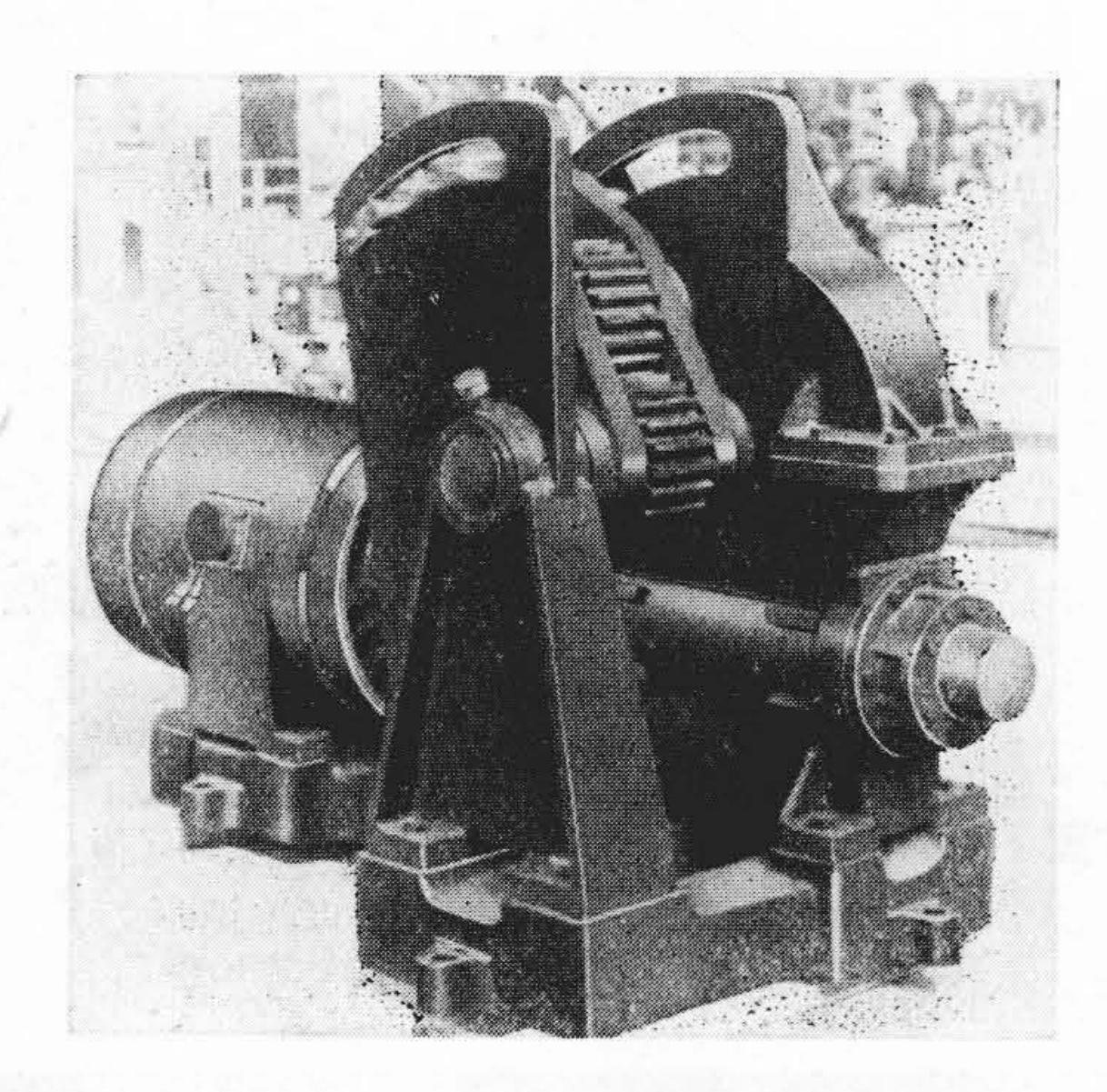
接手の直流發電機側の外周には齒車を切つてあり、電動始動裝置と嚙合せる構造になつている。



第23圖 4,000 kW イルグナー 變流機用蓄勢輪 Fig. 23. Fly Wheel for 4,000 kW Ilgner Converter



第24圖 4,000kW イルグナー 變流機用蓄勢輪構造圖 Fig. 24. Construction of Fly Wheel for 4,000kW Ilgner Converter



第25圖 イルグナー.變流機用電動始動装置 Fig. 25. Barring Gear Set for Illgner Convertor

4. 電動始動裝置

電動始動裝置は第25 圖に外觀を示す。

電動始動裝置はイルグナー變流機全體を約 3 r. p. m. で同轉させるもので、整流子面の手入その他各部の點檢に使われ、又誘導電動機の起動を助けるものである。

原動機は 30 kW 900 r. p. m. 全閉外扇型二重籠形囘轉子高囘轉力型のものであつて、原動力はウオーム一段にて減速し中間齒車を經て接手に嚙合う操作齒車に傳達される。

イルグナー變流機を起動する場合には操作齒車を操作 ハンドルで中間齒車に嚙合せながら移動させて接手齒車 に嚙ませる。この場合接手齒車に良く嚙込ませるために 驅動用電動機の接手に設けられた微動ハンドルで調整し て行う。次に驅動用電動機を起動すれば漸次イルグナー 變流機は起動し始め、驅動用電動機が全速となれば、變 流機は約 3 r.p. m. で回轉する。

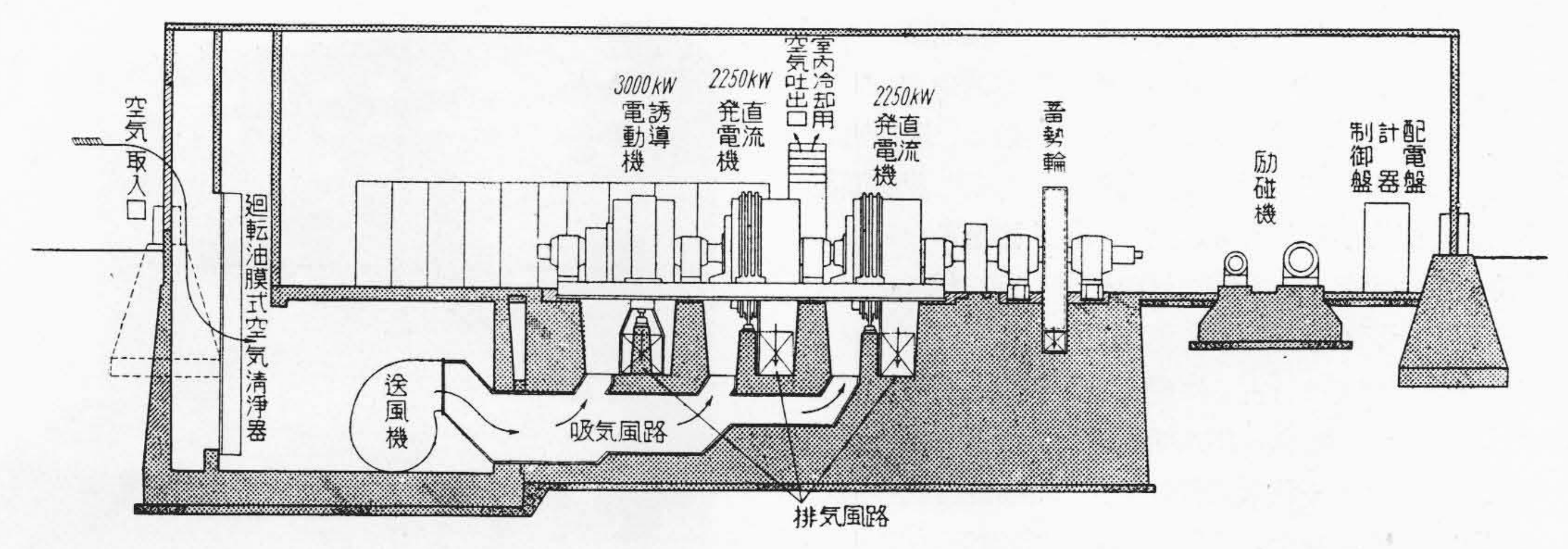
この狀態で主誘導電動機を起動すると直ちに接手齒車の速度が始動裝置操作齒車より速く囘轉しようとするので力の傳達方向は逆となり今まで始動裝置用電動機が電動機として動作していたのが發電機として動作する。この力の傳達方向の逆轉を利用して、始動裝置の操作齒車をはね返らせて自動的に主機との連結を斷つ樣な構造にしてある。倚このはね返つた場合に戻らぬ樣に操作ハンドル部分に戻り止め裝置を設けてある。

本装置は動作に衝撃を受けるので各部の强度は極めて 頑丈にしてあり、齒車ケース、齒車支え等は厚鋼板を電 氣熔接したもので、大なる衝撃にも耐えられる様にして ある。

本装置は發電機整流子面の手入、軸受の調整等各部點檢にも用いるもので、主誘導電動機の起動に對しては別に本装置が無くても行えるものであるから主機の起動には一々本裝置を用いなくて良い様になつている。

5. 通風冷却方式

壓延作業場は鐵塵が豫想以上に多く、室溫は非常に高く夏季に於ては 40°C を超過することも少くない。斯かる場所で苛酷な運轉を續ける電氣機械に對しては、通風冷却及び空氣淸淨に關して十分な考慮を要する。其の方法は從來は爰風機により室外から冷却空氣を機內に吹込んで室內に排出するか、或いは電機室を密閉して冷却器を設け冷却風を室內で再循環させる方式が採られて來たが、前者は室內溫度の上昇する缺點があり、後者は完全な方法ではあるが多額の建設費と多量の冷却水を要する等の缺點がある。本設備は此種大型機としては新機軸である閉鎖通風方式を採用した。卽ち第26圖(次頁參照)に示す樣に室外の空氣を空氣取入口より入れ、空氣淸淨器で鐵塵其の他を取除いた後、2臺の爰風機で空氣通路を



第 26 圖 イルグナー 變流機冷却方式說明圖 Fig. 26. Ventilating System for Ilgner Converter Set

經て夫々主電動機及びイルグナー變流機に吹込む。此等 の冷却空氣は再び排氣通路に放出され室外に導かれる。

主電動機及びイルグナー變流機用發電機共機內の通風 方向は反整流子側より整流子側に向つて通し刷子炭素粉 の侵入を防ぎ、整流子側のカバーは前掲寫眞の如く有機 ガラス製とし、監視及び保守點檢の便を計つた。

誘導電動機も同様に冷却風を吸氣風道より電動機床下のピットを經て電動機固定子兩側のエンドカバーより電動機内に押込み、固定子、囘轉子の鐵心、線輪を冷却した後、固定子枠の周圍より固定子下部に接續された排氣風道に放出する構造に成つている。尚線輪端部は特に良

(1) フィルターブレート
(2) チエーン
(3) 下部チエーンホキール
(4) 上部チエーンホキール
(5) 油 槽
(6) 刷 子
(7) 別 神論ロ
(7) 別 神論ロ
(7) グダスト 取出ロ
(8) グラスト 取出ロ
(9) グラスト 取出ロ

第27圖 空氣清淨機の構造 Fig. 27. Construction of Air Filter

く冷却するため回轉子に冷却用ファンが設けてある。集 電環部分も塵埃のたまらぬ様に閉鎖型とし下部より清淨 な空氣を導入して上部の通風窓より放出する。

6送風機により送り込まれた空氣の一部を室内冷却用 におき室温調節を行わしめている。

空氣淸淨器は主電動機、イルグナー變流機及び室內の補助裝置を冷却するに十分なる尨大な空氣を淸淨するもので、その構造は第 27 圖に示す樣に電動囘轉油膜式であつて、油膜を形成するフイルタープレートは小孔を無數に打拔いた鋼板を鎧戸狀に重ね、このフイルタープレートのカーテンを電動機により連續的に微速で囘轉させ流通空氣中の塵埃を油膜にて除去するものである。空氣抵抗が低く、而も、收塵能率の高いことが特長である。

[V] 配電盤及び制御装置

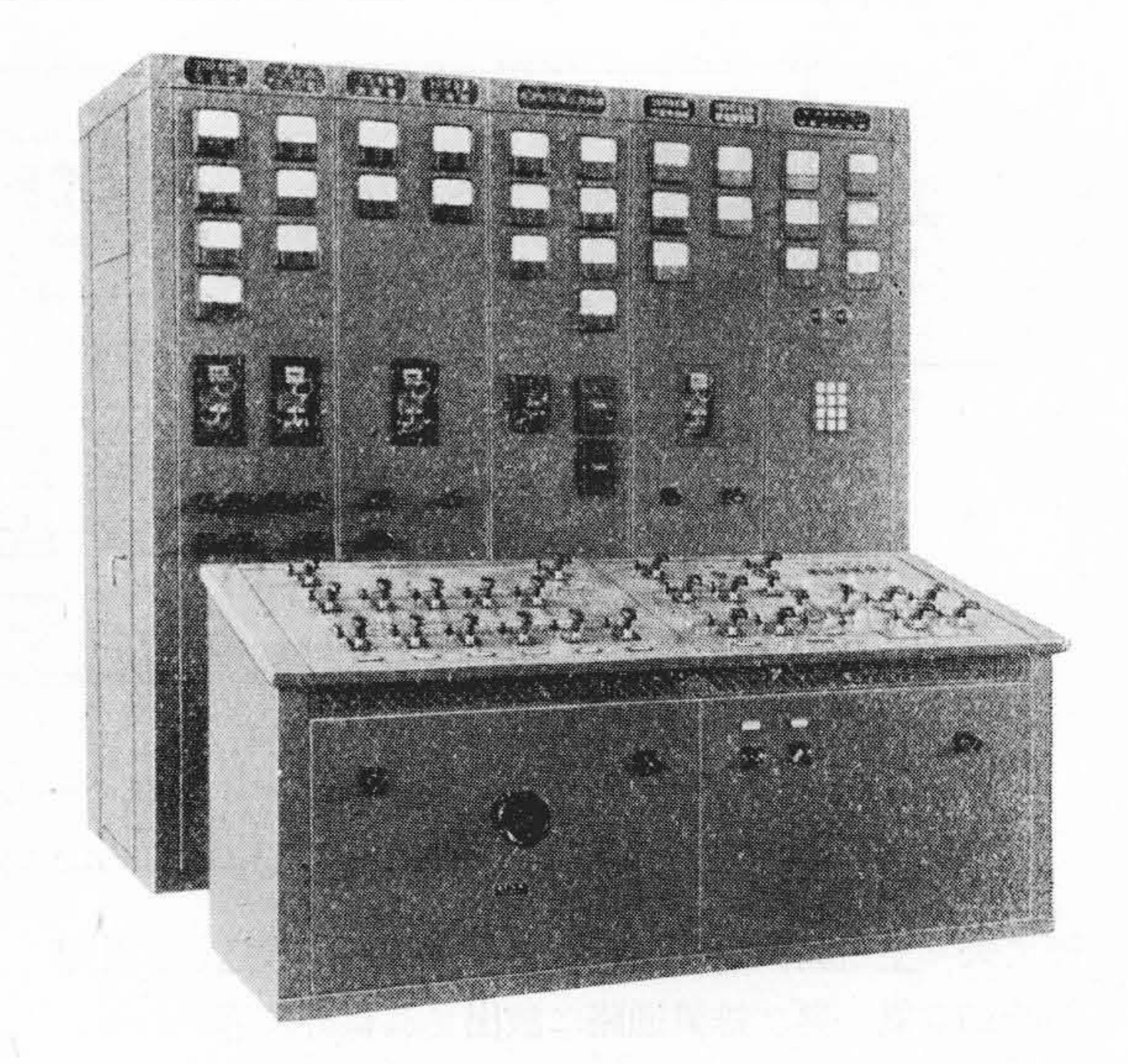
分塊壓延機用イルグナー設備に於ては大なる蓄勢輪を 變洗機軸に附加し、急激な負荷のか立つた場合、之に蓄 積された機械的エネルギーを滑り調整器の動作と相俟つ て吐出し、尖頭負荷の一部を分擔させ、輕負荷の場合は 蓄勢輪にエネルギーを蓄えるもので急激負荷による影響 を直接電源に及ぼす事なく、且つ誘導電動機の容量をも 比較的小ならしめる利點がある。

今囘納入の4,000 kW イルグナー電氣設備も加速減速 正轉逆轉が頻繁で、常時200%以上の尖頭負荷がから り、冷却鋼塊が壓延機に嚙み込まれた場合は250%程度 の最も苛酷なものとなる。又全パス囘數19囘の中ミル 電動機の定格囘轉數たる100r.p.m. まで速度が上昇す ることは最終の1~2囘に過ぎない。その他のパスに於ては加速の途中に於て、鋼塊がロール機を離れるや否や 急速に減速し續いて逆轉を始める。斯くの如くその作業 の殆んどの時間が、ミル電動機の加速減速に費されるものに於ては、作業能率向上の點から、この時間の短縮が 十二分に考慮されなければならない。これが無には電動 機囘轉部の機械的慣性を減ずると共に、界磁囘路の時定 數を減ずる必要がある。機械的慣性は勿論減少するよう 十分考慮したが、發電機界磁囘路の時定數は、勵磁機容 量を大とし界磁囘路に大きな直列抵抗を挿入し界磁囘路 の時定數を極力小としても、尙この種大型機になると、 相當時定數は大きく、急速な界磁制御を行う爲には、オ ーバーシュテングを行わざるを得ない。オーバーシュテ ングの方法としては、古くは繼電器を使用した方式が採 用されていたが、昭和8年八幡製鐵株式會社へ納入した 7,000 IP イルグナー電氣設備に於ては、事故發生の恐れ ある繼電器を使用せず、簡單な囘路で抵抗器を使用した 饋還制御が行われ、時定數短縮に好結果を得た(9)。今回 は更にオーバーシュテングの效果をあげる為、増幅回轉 機HTDを使用し、饋還制御による制御系の時定數を 短縮することにした。更にHTDと、特殊勵磁機との組 合せにより、全速度制御期間を通じて電動機負荷電流を 最高加速電流で加速減速を行い、それ以上の電流値にな らんとするときは、電流制限を行い又最高加速電流以内 では、電動機の内部抵抗降下並びに外部電線による電壓 降下の補償を行い、運轉の巧拙には無關係に常に十分な 加速減速效果を發揮出來る樣に考慮した。HTDは増巾 性が高いがダンピングトランスを使用し容易に亂調を防 止する事が出來た。

イルグナー變流器及び力率改善用靜電蓄電器の電源は 何れも 6,300 V 60 サイクルの三相交流で、 勵磁機用電 動機送風機用電動機は變壓器を介し3,300V 60 サイクル を使用其の他の補助電動機は低壓 200 V 60 サイクル電 源より給電されている。これらの電動機はすべて電機室 の規型操作盤により一括して操作出來、計器類は自立型 配電盤に一纒めとし裝置全體の監視に便利ならしめた。 ミル電動機及びイルグナー發電機の操作は所謂主幹制御 方式であって、正逆運轉並びに速度調整を輕快に行う事 が出來る。主幹制御器は壓延現場の運轉室に設置し、主 電動機の速度制御に直接必要な信號裝置計器類主囘路用 氣中遮斷器の開閉用操作開閉器及び其の信號灯は小型の 机型操作盤に取付けこれも運轉室に設置してあるので實 際運轉上甚だ便利である。又 HTD 使用のため從來速 度制御に要した繼電器類が一切不要となり小電流の制御 を以て大容量のミル電動機速度を制御出來るので、制御 裝置が極めて小型簡單なものとなつた。

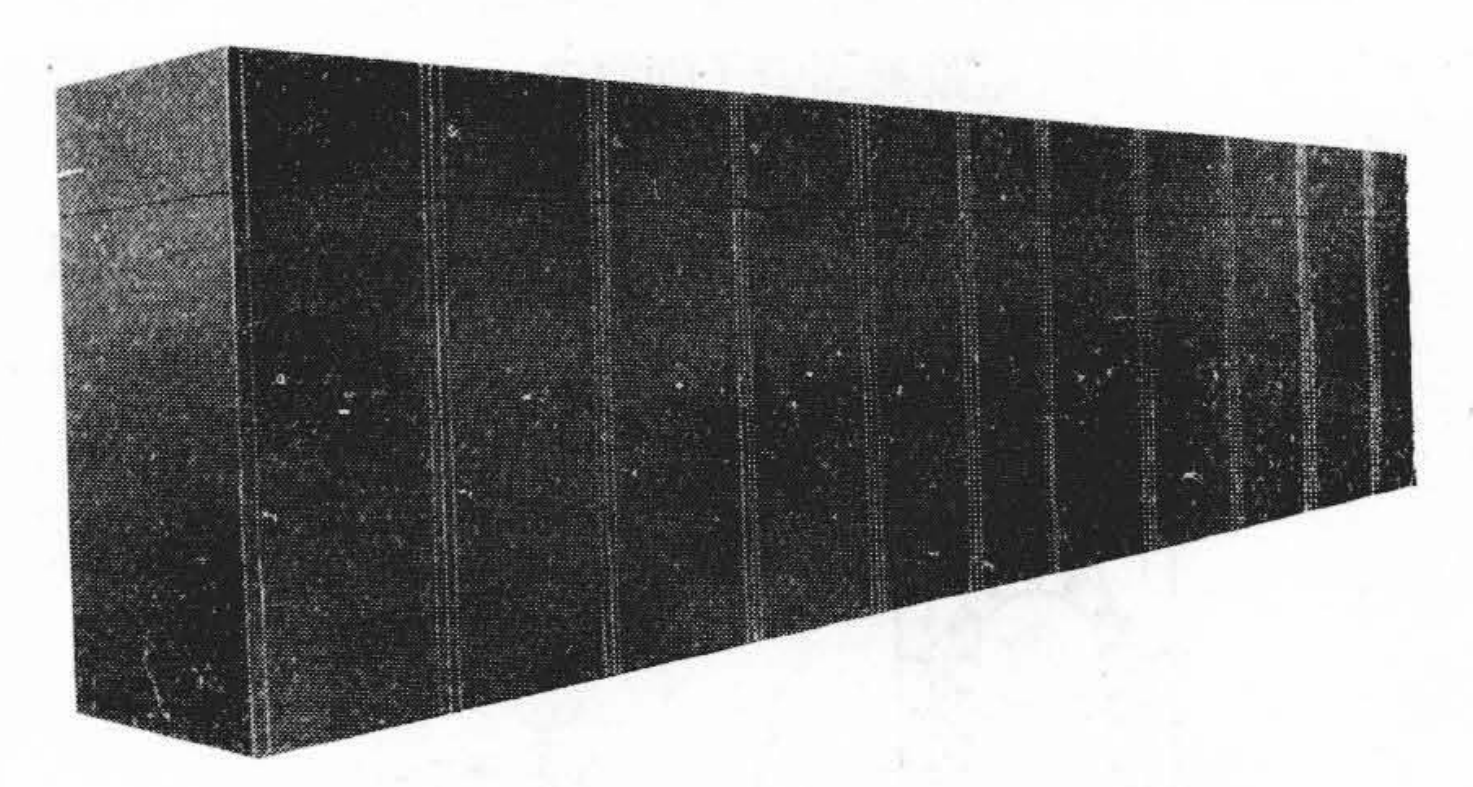
1. 受電設備及び配電盤

配電盤は交流高壓側、低壓側及び直流側より成る。交流 高壓側は又 6,300 V, 3,300 V に分けられる。6,300 V 用 はイルグナー變流機、力率改善用靜電蓄電器及び 3,300 V 又は 200 V 遞降用變壓器の一次側 開閉裝置で、3,300 V 用は勵滋機驅動用電動機、 送風機用電動機の開閉裝置



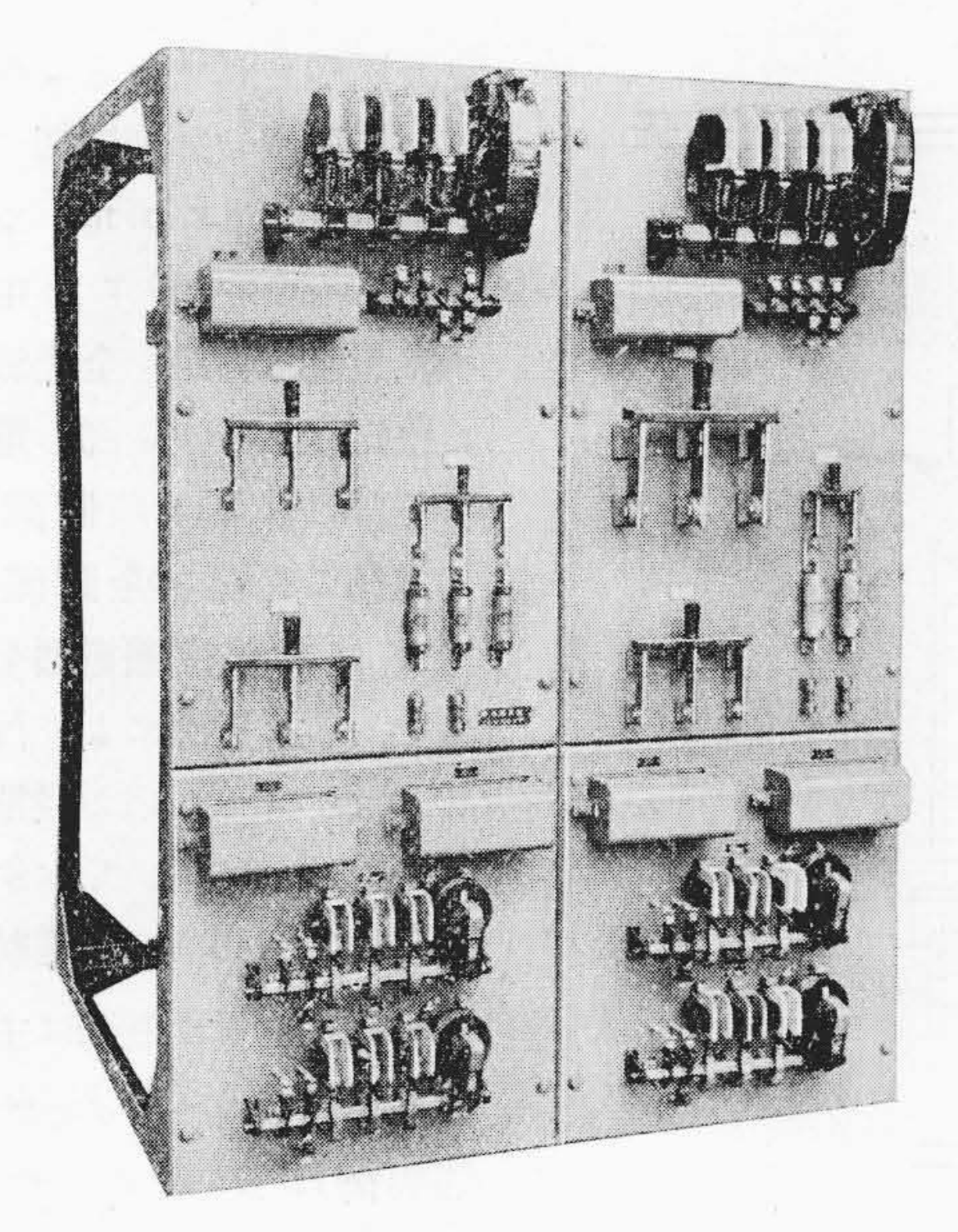
第 28 圖 EF 型計器盤及び BD 型操作机盤 (電機室設置用)

Fig. 28. Type EF Meter Board and
Type BD Operating Bench Board

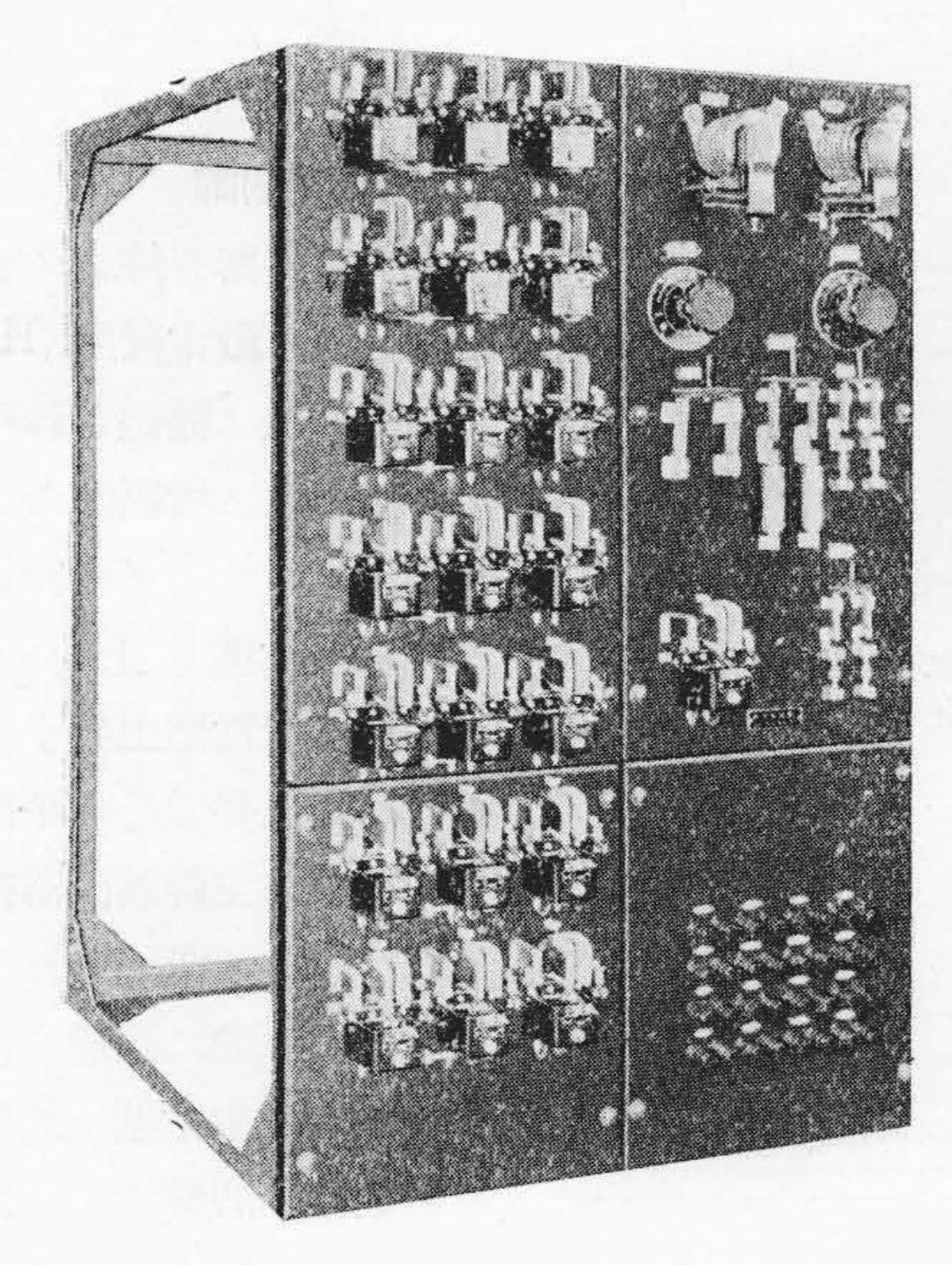


第 29 圖 油入遮斷器用閉鎖配電盤 Fig. 29. Cubicles for Oil Circuit Breakers

である。油入遮斷器は 6,300 V 同路用はすべて SYG 25型 (遮斷容量 250,000 kVA) 3,300 V 同路に對してはすべて SYG 15型 (遮斷容量 150,000 kVA) を使用している。計器類は一括 EF 型自立配電盤に裝備し、操作開閉器、運轉室との信號裝置、警報裝置はこれも一括机型操作盤に裝備し、EF 型自立配電盤の前方に設置し監視と操作に便ならしめている。油入遮斷器は全部閉鎖配電盤に納め、室の一隅に取纏め設置し、保守點檢配線の節約に便ならしめた。尙別にイルグナー變流器の制動停止用としてR型電磁操作式油入遮斷器も前記閉鎖型配電盤に納め、室の一隅に設置した。この操作も机型操作盤より操作出來る樣になつている。油入遮斷器の投入は直流 220 V 引外しは 48 V によるものとしたが、投入引外し共グラインバー水銀整流器を以てし、グラインバー故障の場合は自動的に所内電源 220 V に切換え引外し



第30圖 交流低壓配電盤 Fig. 30. A.C. Low Voltage Panel



第31圖 レオナード配電盤 Fig. 31. Leonard Controlling Panel

は蓄電池を使用する様にした。 交流 低速 側 配 電 盤は HTD 又は特殊勵 滋機驅動用電動機、自動滑り調整器冷 却水循環用ポンプ、潤滑油ポンプ、イルグナー變流機起 動用バーリングギヤー電動機、 同轉油膜式空氣清淨機用 電動機其の他スペースヒーター用に使用するもので、 前記机型操作盤により操作出來る。 バーリングギヤー用 のみはその操作の性質上現場に於ても操作出來る様にし た。 直流側配電 盤は主 回路電流計、電 匹計、イルグナー

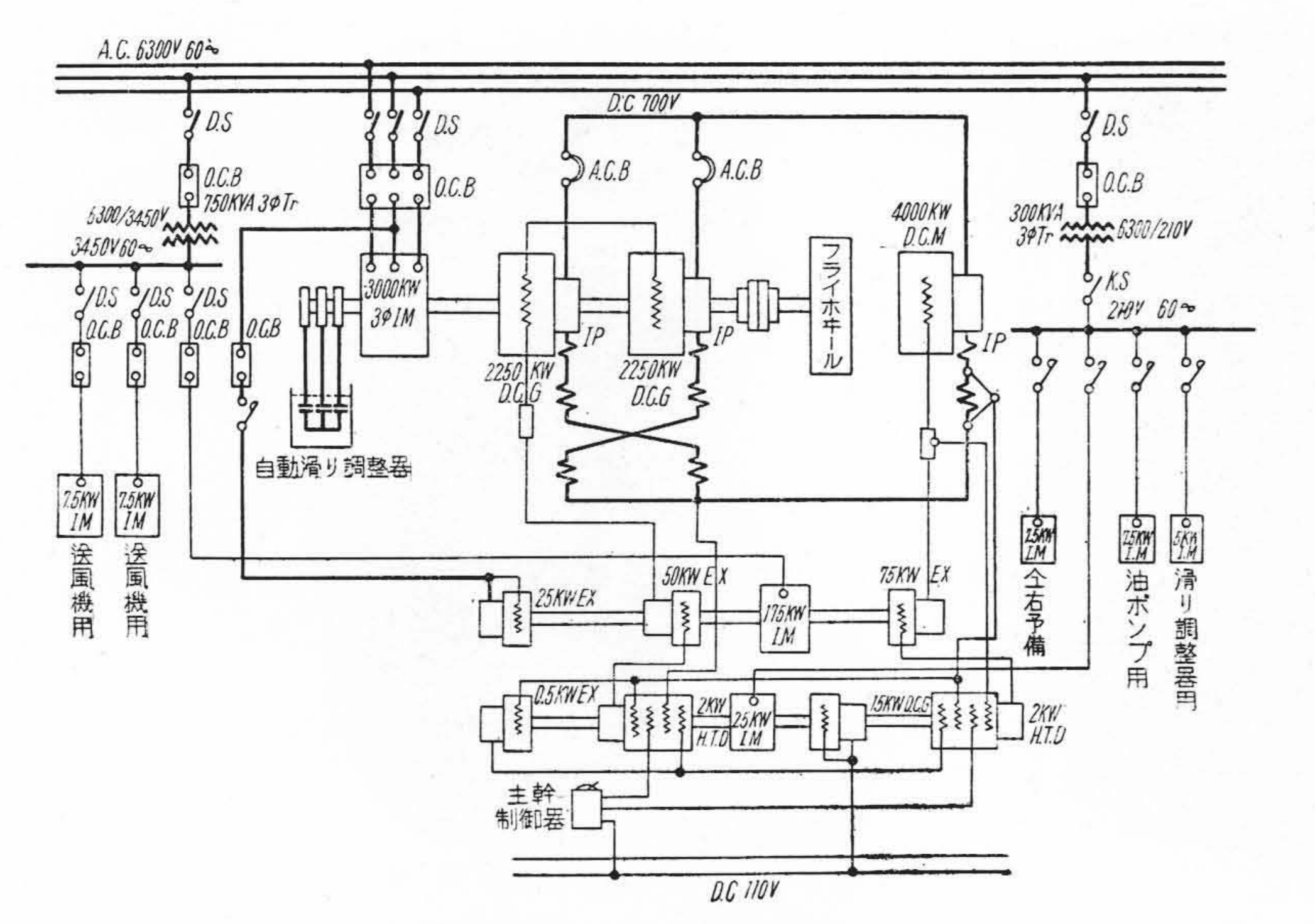


第 32 圖 現 揚 設 置 机 型 操 作 盤 Fig. 32. The Controlling Desk Board in Operating Room

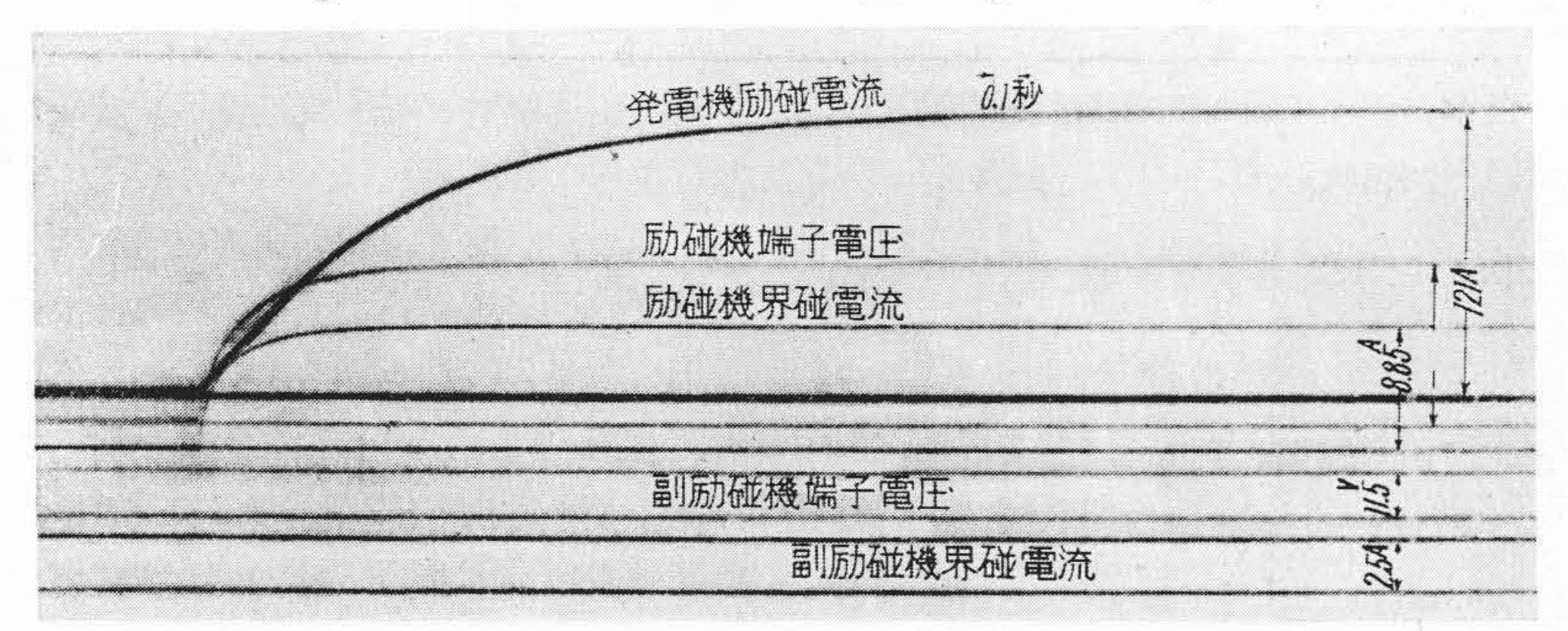
變流機及びミル電動機用速度計、高速度遮斷器及び氣中 遮斷器の開閉表示灯よりなるがこれらはすべて前記 EF 型自立配電盤として纏めた。又ミル電動機速度制御用レ オナード盤は、正轉逆轉用接觸器、電壓制御界磁制御用 接觸器、寸動運轉用接觸器、電動機界磁用繼電器、各種 勵磁機電源用双形開閉器を備えている。又現場運轉室設 備の小型机型操作盤はミル電動機速度制御に 直接 必要 な、電機室との信號装置、故障警報装置、レオナード主 同路電流計電壓計イルグナー變流機及びミル電動機の速 度計、氣中遮斷器の操作開閉器及び開閉表示灯等を備え ている。第 28 圖は EF 型自立配電盤及び電機室設置 机型操作盤。第 29 圖は油入遮斷器用閉鎖配電盤。第 30 圖は交流低壓配電整。第 31 圖は 直流レオナード制御 盤。第 32 圖は現場運轉室設置小型机型操作盤を示す。

2. 主電動機の速度制御方式

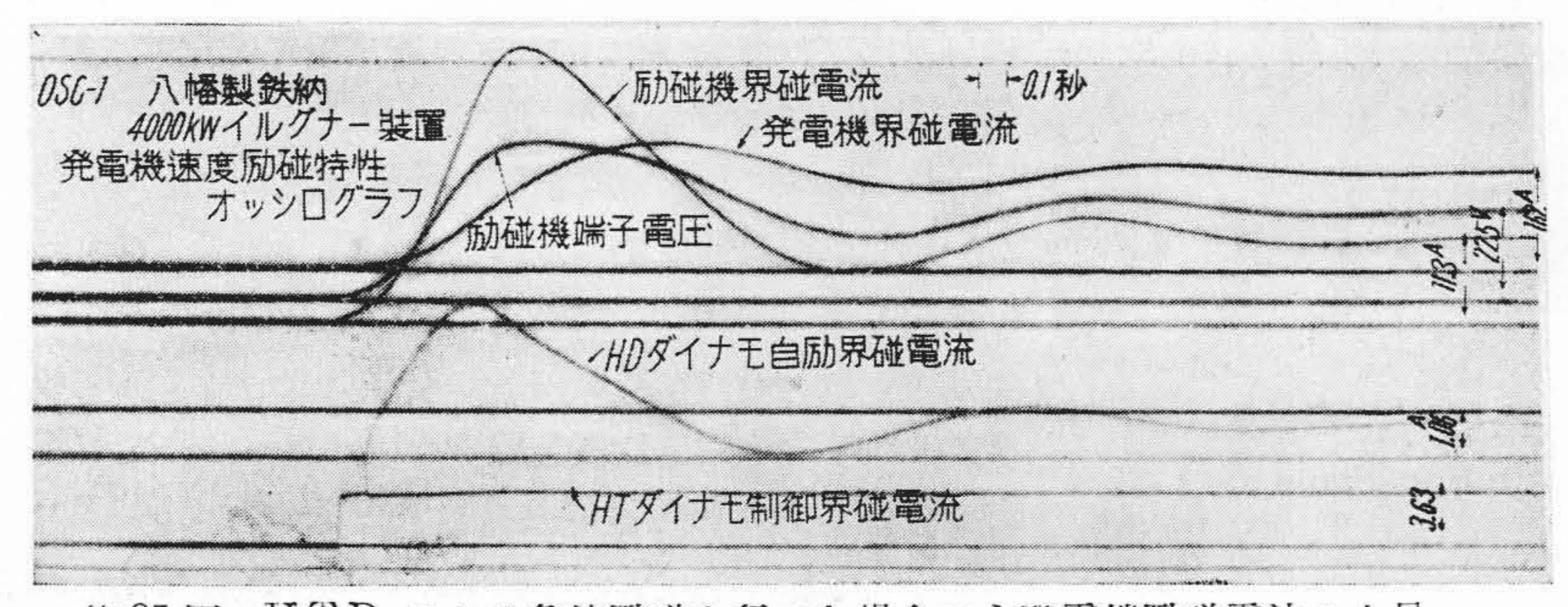
第 33 圖は本裝置の概略結線圖で結線圖上に示されたる如く、發電機は2臺並列とし負荷が不平衡にかよらぬ様に和動直卷線輪差動直卷線輪を以て互いに交叉接續を行つている。2臺の發電機界磁を直列に結び50kW 勵磁機により勵磁している。50kWの勵磁機容量はこの2臺の發電機に對し一般のものより大きいが、如何に高能率の增幅囘轉機を使用しオーバーシュテングを行っても、發電機界磁囘路の時定數が大きければ制御系全體の時定數を短縮する事は困難である。依つて與えられた壓延機のデュテイサイクルと發電機及び電動機容量より睨み合せ可能の範圍に勵磁機容量を大にしたのである。後述の試驗結果よりも判る樣に極めて優秀な成績が得られ



第33圖 イルグナー装置 概略結線圖 Fig. 33. Schematic Connection Diagram of Ilgner Set



第 34 圖 急速勵磁を用いたい場合の主發電機勵磁電流の上昇 Fig. 34. Increase of Main Generator Exciting Current — When Quick Excitation not Applied



第35圖 HTD による急速勵磁を行つた場合の主發電機勵磁電流の上昇 Fig. 35. Increase of Main Generator Exciting Current — When Quick Excitation by Means of HTD Applied

ている。この發電機用勵磁機は更に急速勵磁用増幅回轉機たる HTD により勵磁されている。HTD の制御界磁は15kW 定電壓勵磁機により制御抵抗を經て勵磁される。同様にミル電動機界磁も大容量 75kW 勵磁機により 勵磁され、75kW 勵磁機は又急速勵磁用 HTD に

より勵磁されている。今囘の ミル電動機の速度制御は正逆 共零より 100 r.p.m. まで行 うが、その中 50 r.p.m. ま では電動機界磁を全勵磁のま ま一定としておき即ち電動機 界磁用 HTD の制御界磁 は運轉に先立ち全勵磁を與 えておき發電機電壓を變化 させる電壓制御により行い、 100 r.p.m. までは 發電機の 電壓を一定としておき、電 動機界磁を弱める界磁制御に より行う。電壓制御は主幹制 御器正逆共 1~3 ノッチ、界 磁制御は 4~6 ノッチであ る。各ノッチ共HTDの制 御界磁を變化させその卽應性 と相俟つて把手の動きに卽應 した速度を急速に出さしめる 様動作する。

A. 電壓制御

主幹制御器を停止ノッチか ら進めると發電機用 HTD の制御界磁は勵磁されその大 なる速應性と増幅性によりオ ーバーシュテングを行い急速 に發電機電壓を上昇せしめ る。發電機電壓上昇すれば饋 還界磁も上昇しその平衡した ところ卽ち主幹制御器把手の 操作によって與えられた所定 の電壓に急速に到達する。こ の發電機發生電壓に比例しま ル電動機は囘轉する。主幹制 御器把手を停止ノッチまで戻 すと發電機界磁は急速に弱め られ發電機は電動機となり電 動機は發電機となって制動電 流が流れミル電動機を停止せ しめる様動作する。停止中

は HTD により 選留磁氣を打消して電流が流れないよう制御される。

(B) 界磁制御

主幹制御器を4ノッチより6ノッチまで進める間は**發** 電機電壓は定格定壓一定のまム電動機速應勵磁用**HTD**

の制御界磁は弱められ急速に電動機速度は上昇する。 この場合の HTD の饋還界磁は電動機界磁囘路の電流 分をとつてある。主幹制御器を6ノッチより戻せば電 動機界磁は强められ電壓制御の減速の場合と同様に電動 機は發電機となり發電機は電動機となつて制動作用を行 う。既に述べてある如く主發電機及び主電動機の界磁の 電氣的定數は可成り大きく、兩者の勵磁機の時定數も亦 無視し得ないから急速勵磁を用いない場合の界磁電流の 上昇、降下は可成り緩慢になるのである。例えば HTD を用いないで、別の勵磁機に定電壓を發生させてお き、主勵磁機の界磁囘路を急に閉路した時の發電機界磁 電流の上昇は第34 圖に示す如くで、發電機電壓700 V に相當する勵磁電流まで上昇するのに約5秒を要してい る。これに從つて主電動機の加速度も緩慢になるので ある。 HTD による急速勵磁を行い HTD の制御界 磁電流を制御した時は第35 圖に示す様に約0.59 秒で 最高電壓に相當する界磁電流まで上昇する。 卽ち 1/8 に 短縮出來ることを示している。第1表は兩者を比較した ものである。第2表は界磁制御速度上昇の場合の電動機 界磁電流降下率と電動機速度が 50 r.p. m. より 100 r. p. m. に變化するに相當した界磁電流減少の時間であ

一般に、主電動機の GD² による機械的時定数は極めて小さいから、發電機電壓の上昇曲線を主電動機速度の上昇曲線と考えることが出來る。即ち、第 35 圖の場合平均加速度は 85 r. p. m./sec,最大加速度は約 140 r. p. m./sec に達する。然し乍ら、茲に考慮すべきは、 斯く加速度を極度に上げることは大なる加速囘轉力を要し、徒らに尖頭負荷を増すことになるから、電動機の經濟的設計を考えて適當な加減速度を選定することが望ましい。本機の運轉條件は平均加速度は約 30 r. p. m./sec,平均減速度は約 50 r. p. m./sec であるから上記數値は十分餘裕のある値である。加速度を下げて加速電流の尖頭値を 8,000 A に制限して試験した一例を示せば第 36 圖

の如く、主幹制御器の始動時より最大速度に達する迄の時間は1.5 sec で、平均加速度は52.2 r.p. m./sec, 最大加速度は120 r.p. m./sec であつた。減速の場合は、減速囘轉力は壓延に要する囘轉力と逆方向であるから電動機の所要囘轉力、卽ら、電動機電流は兩者の差になる。從つて發電機電壓の降下速度を高くして減速度を上げ得ることになる。減速、及び、逆轉試験は

第 1 表 電壓制御に於ける電動機界磁電流上 昇度及び所要時間

Table 1. Maximum biuld up rate of motor field current and biuld up time

		H. T. D. を使 用しない場合
最大上昇率 A/sec.	334	114
123 A 迄の上昇時間 sec.	0.59	4.92

第 2 表 界磁制御に於ける電動機界磁電流降下 率及び所要時間

Table 2. Maximum decrement rate of generator and decrearing current and biuld down time of field current

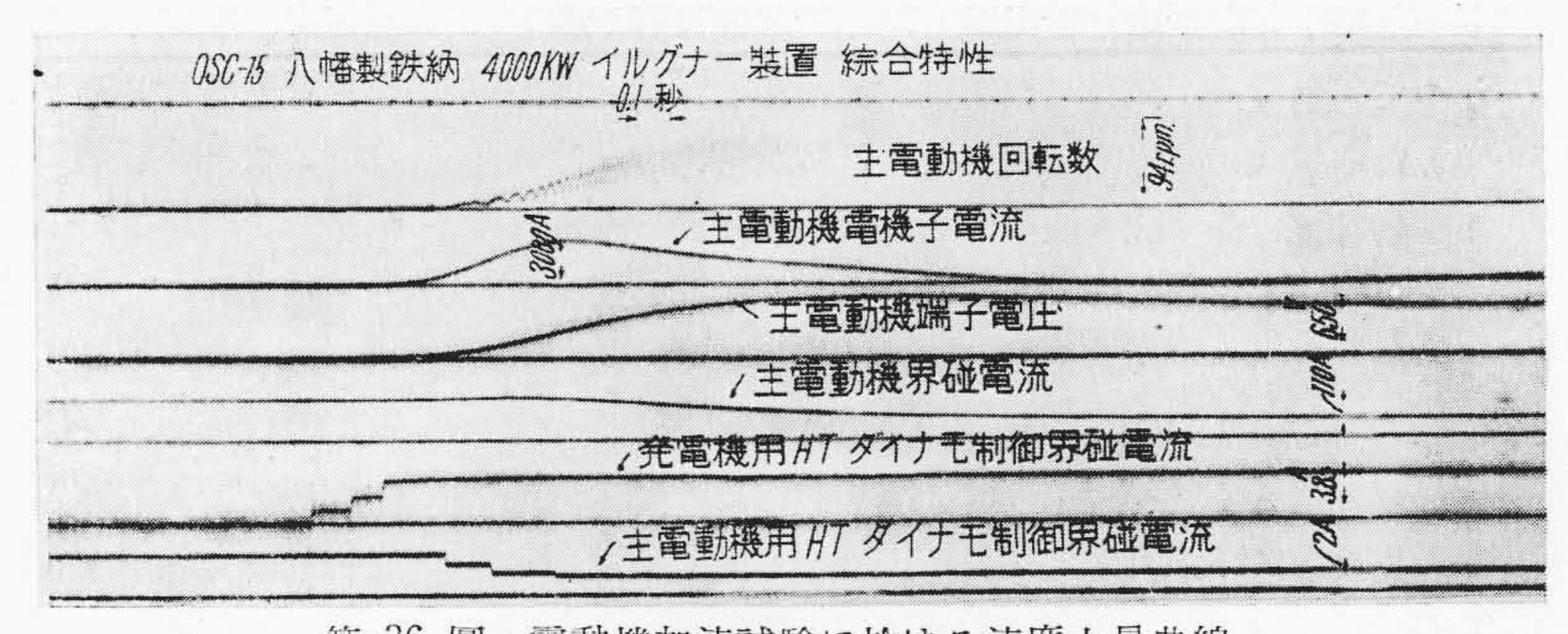
最大降下率 A/soc.	379
330 A から 90 A 迄の降下時間 sec.	0.9

何れも無負荷に於て行なわれたが所要の條件に對して十 分餘裕のある結果を示している。

(C) 抵抗降下補償及び電流制御方式

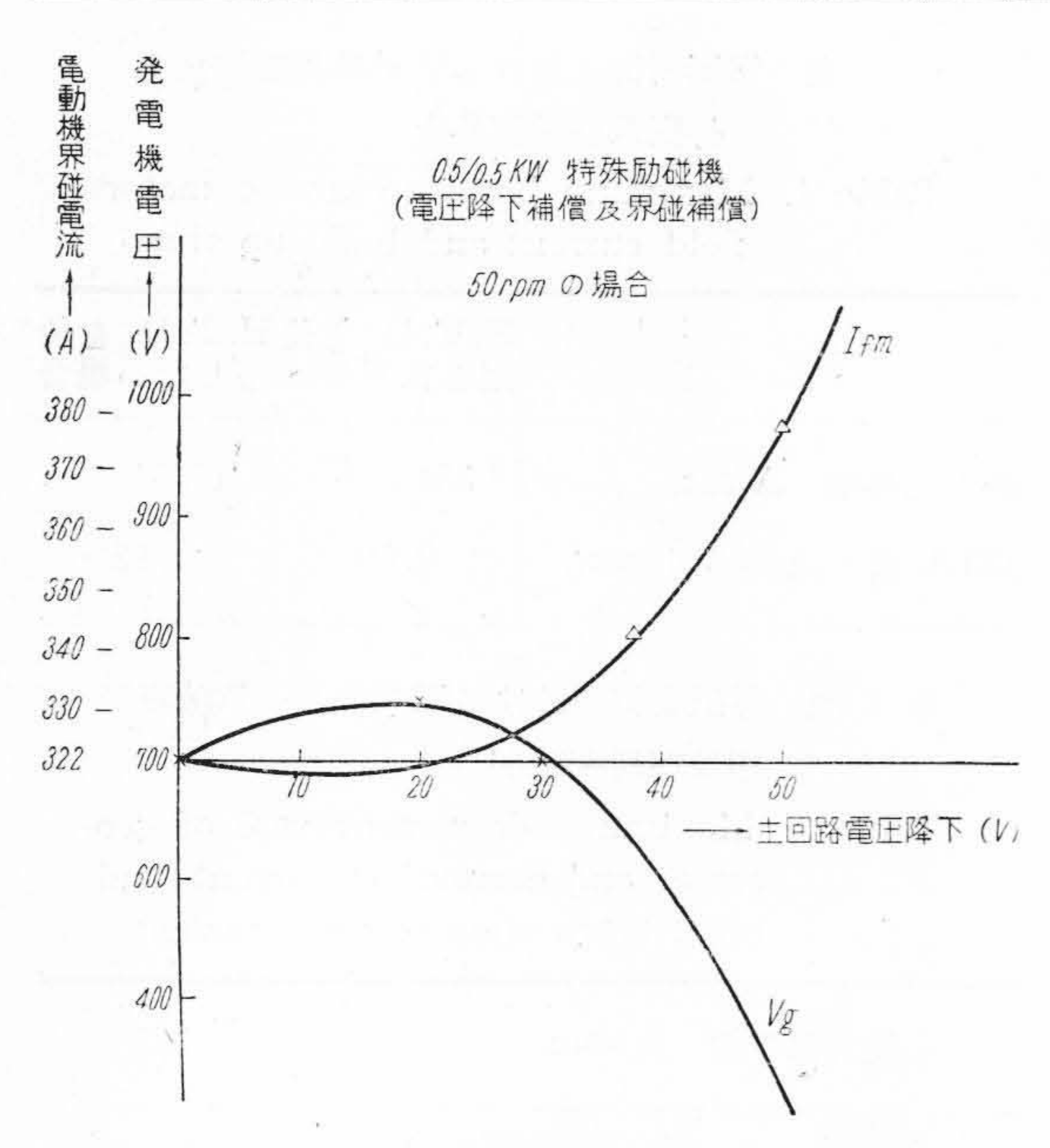
(i) 電壓制御の場合

主幹制御器を3ノッチ迄進める間では發電機電壓が急速に上昇し主囘路に電動機加速電流を流すが、この加速電流は發電機電動機共整流其の他に悪影響を及ぼさない最高の加速電流が得られることが望ましいが主幹制御器把手を急速に進めれば HTD の速應性と増幅作用により過大電流にまで上昇し得る。これでは安心した速度制御は出來ないのであつて、如何に急速にノッチを進めても最大加速電流迄は急昇するがそれ以上は電流が自動的に制限されることが望ましい。然も最高加速電流までは主囘路電流による電壓降下の補償を行い電動機の速度降下を防止しなければならない。本



第 36 圖 電動機加速試験に於ける速度上昇曲線 Ein 26 Assalaration Company abtained by the M

Fig. 36. Acceleration Curve obtained by the Motor Accerelation Test



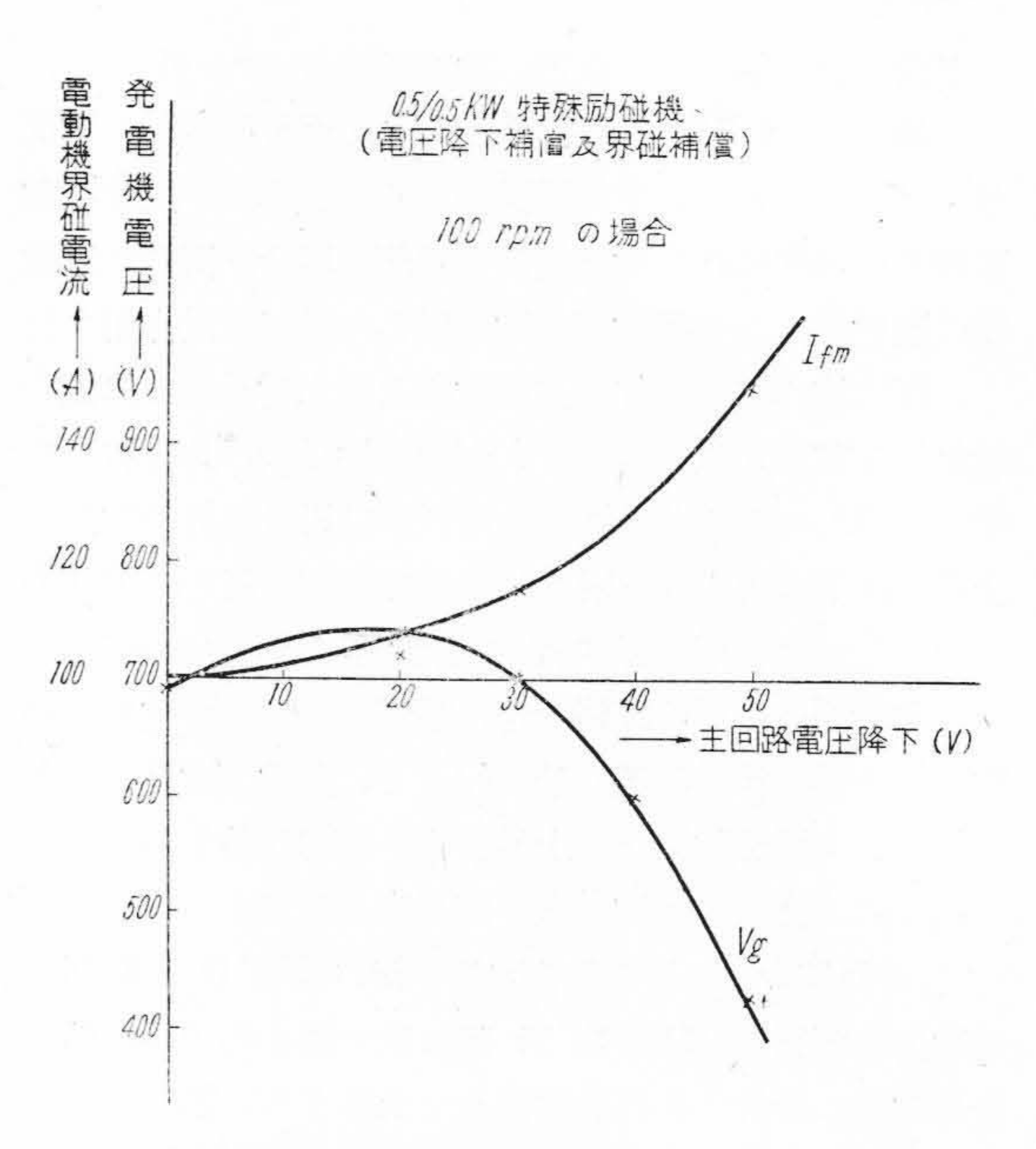
第37圖 特殊勵磁機を使用した電壓降下補償 及び界磁補償 (50 r. p. m.)

Fig. 37. I. R. Compensation for generator and Flux Compensation for motor Using Special Excitor (in 50 r.p.m.)

裝置はこの點を十分考慮したもので發電機用 HTD の饋還界磁として主囘路の電壓降下そのものと主囘路 電壓降下にて 0.5 kW 特殊勵磁機を勵滋しその出力電 歴とを入れる。特殊勵磁機はその界磁電流(主囘路電 流にて表わされる)がある程度増す迄は發生電壓は直 線的に増すがそれ以上増すと急速に飽和する様に設計 されたものである。この兩者による合成磁束は最高安 全加速電流までは、HTD と同方向に動作し主囘路 抵抗降下補償をなすがそれ以上の加速電流になれば制 御界磁と逆方向に大きく働き過大電流迄上昇すること を防止する。第 37 圖及び第 38 圖の V_g 曲線はこれ を示すものである。主幹制御器を3ノッチより停止ノ ッチに戻すと發電機は電動機となり電動機は發電機と なつて制動電流が流れるが制動電流は加速電流と逆方 向となる故 V_g 曲線は反對となり、制動電流少なけれ ば制動電流を多く流す様動作し過大制動電流となれば これを制限する様動作し常に安全な加速減速が出來る ものである。

(ii) 界磁制御の場合

主幹制御器を4ノッチより6ノッチ迄進める間は急速に電動機速度は上昇するが、この場合も電動機用 H. T.D. の饋還界磁に主囘路電流降下を直接とつたものと特殊勵磁機を通つたものを入れる。この兩者の合成は第 38 圖及び第 39 圖の Ifm 曲線の如く主囘路電



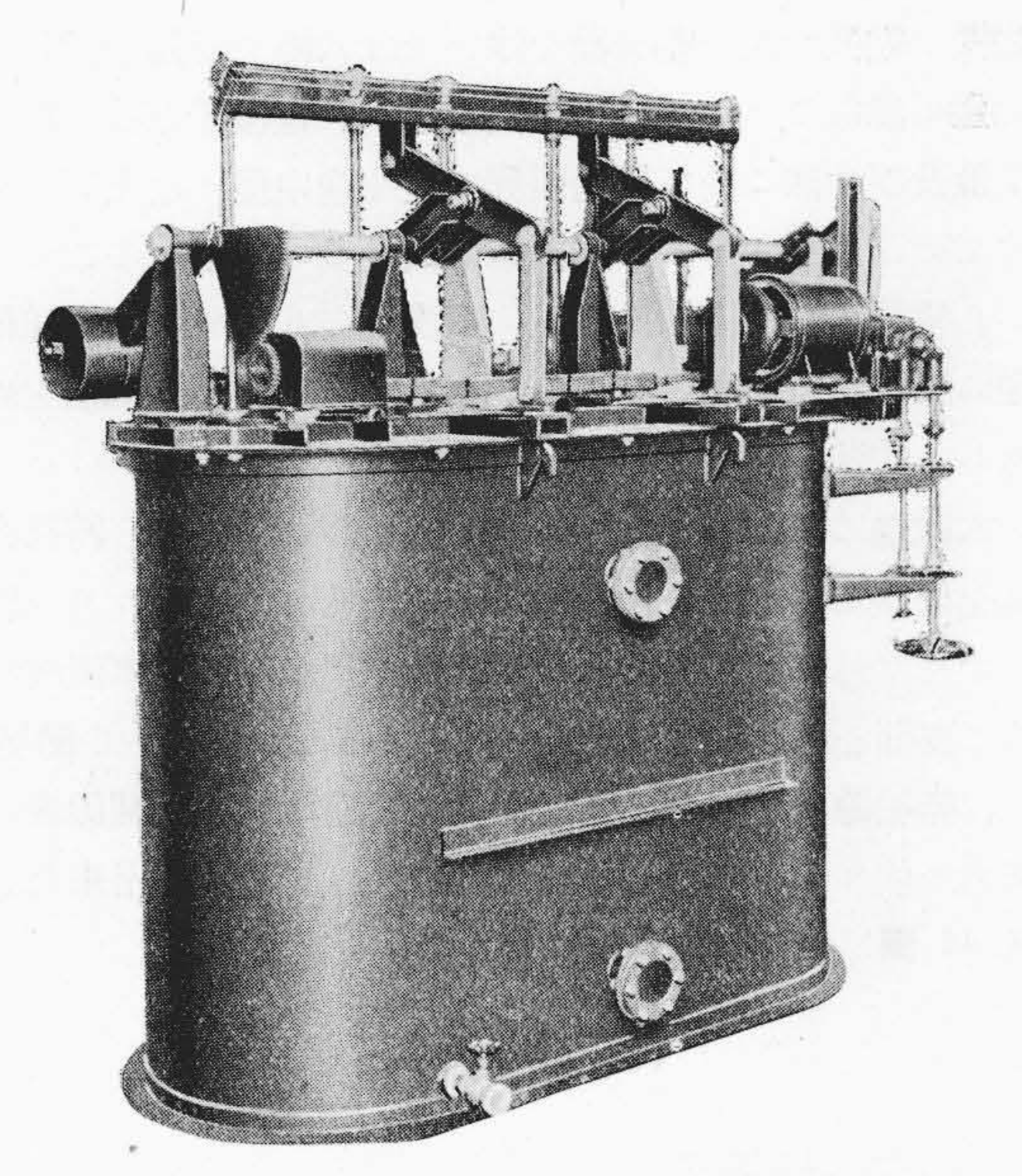
第38圖 特殊勵磁機を使用した電壓降下補償及 び界磁補償 (100 r. p. m.)

Fig. 38. I. R. Compensation for generator and Flux Compensation for motor Using Specal Excitor (in 100 r.p.m.)

流がある程度迄は差引零に近いが、ある値を越えると 急速に制御界磁を强める方向に動作し過大電流を防止 すると同時に電動機回轉力を増し回轉速度を低下させ 過負荷に耐える態勢をといのえる。同時に發電機の方 も電流制限作用をしているから兩々相俟つて過電流を 防止する事が出來る。主幹制御器を6ノッチより戻す と電壓制御の場合と同樣に最大安全制動電流を保ち乍 ら急速に減速作用を行う。

3. イルグナー變流機の制御

イルグナー變流機を起動せしめるには變流機運轉用誘導電動機の一次側油入遮斷器を投入すれば二次側の自動滑り調整器が自動的に抵抗を漸減し次第に加速し逐に常規速度に達するのである。自動滑り調整器のタンク内に電解液が十分にある事、制動用油入開閉器が開路している事、滑り調整器の電極が抵抗最大の位置にある事等の條件が満されなければ遮斷器を投入出來ない樣電氣的インターロックを施してある。自動滑り調整器は敏感な操作電動機付電極上下動式のもので、負荷の變化により敏感に動作して入力電力を制御し得る。操作電動機は直流分卷電動機を使用し、常に分卷界磁線輪を勵磁し、電機子に流れる電流を附屬の接觸器に依つて正逆何れかに切換えて運轉停止を行うものである。操作用電動機起動は電動子囘路に直列抵抗を挿入したる直接起動方式で、停止



第 39 圖 自 動 滑 り 調 整 器 外 觀 Fig. 39. Out Side View of Automatic Slip Regulator

の際はその抵抗を發電制動用抵抗として使用し急速停止 を行う事が出來る。

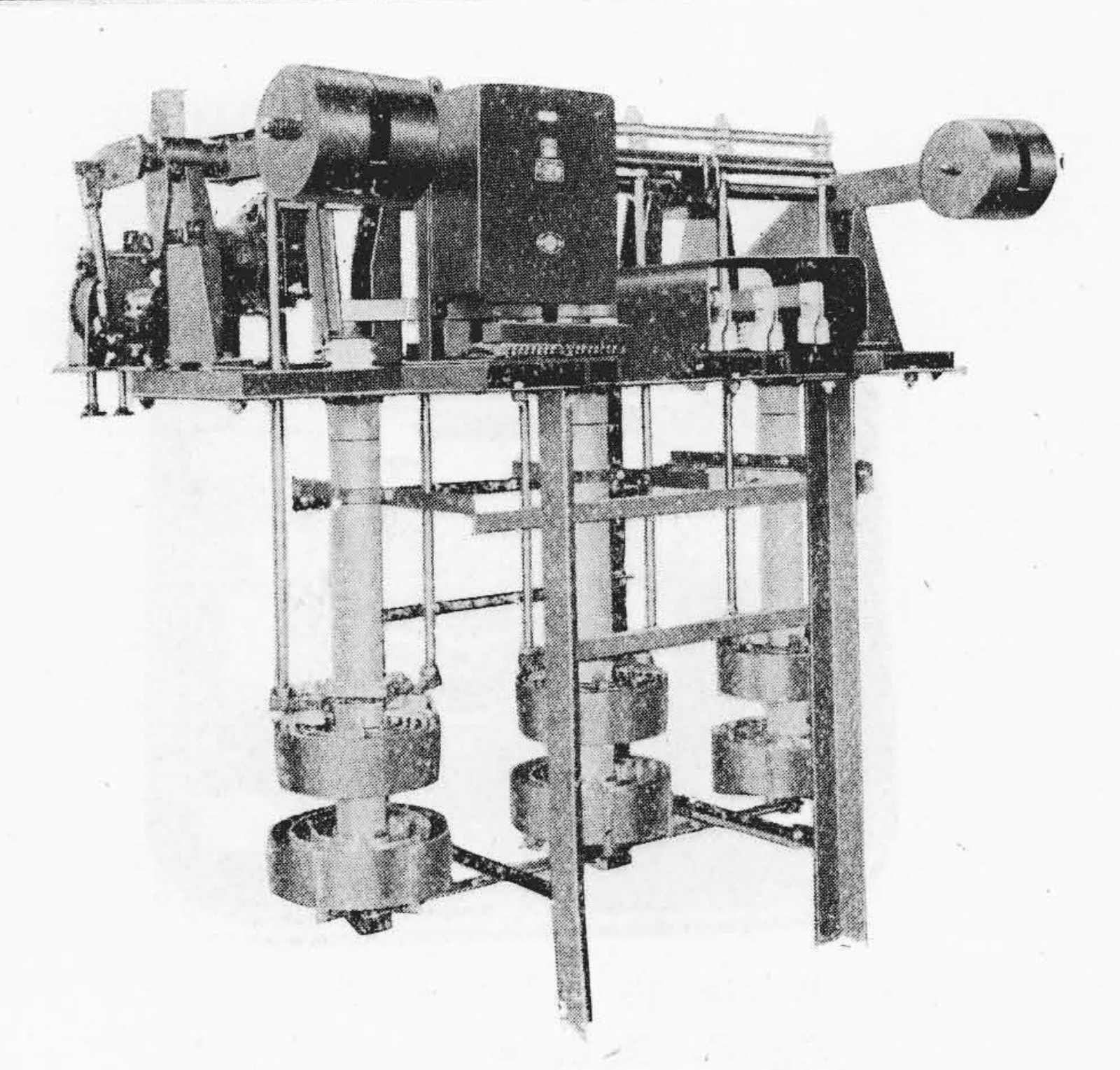
變流機が運轉狀態に達した後に於て尖頭負荷がかられば交流主囘路に插入した電流繼電器の作用により自動的に電極を上げ二次抵抗を大ならしめて誘導電動機の速度を降下させ輕負荷の時に蓄勢輪に蓄積した機械的エネルギーの一部を吐出させて尖頭負荷の一部を分擔せしめる役目をする。第 39 圖は自動滑り調整器の外觀第 40 圖は內部の機構を示す。

4. 保護裝置

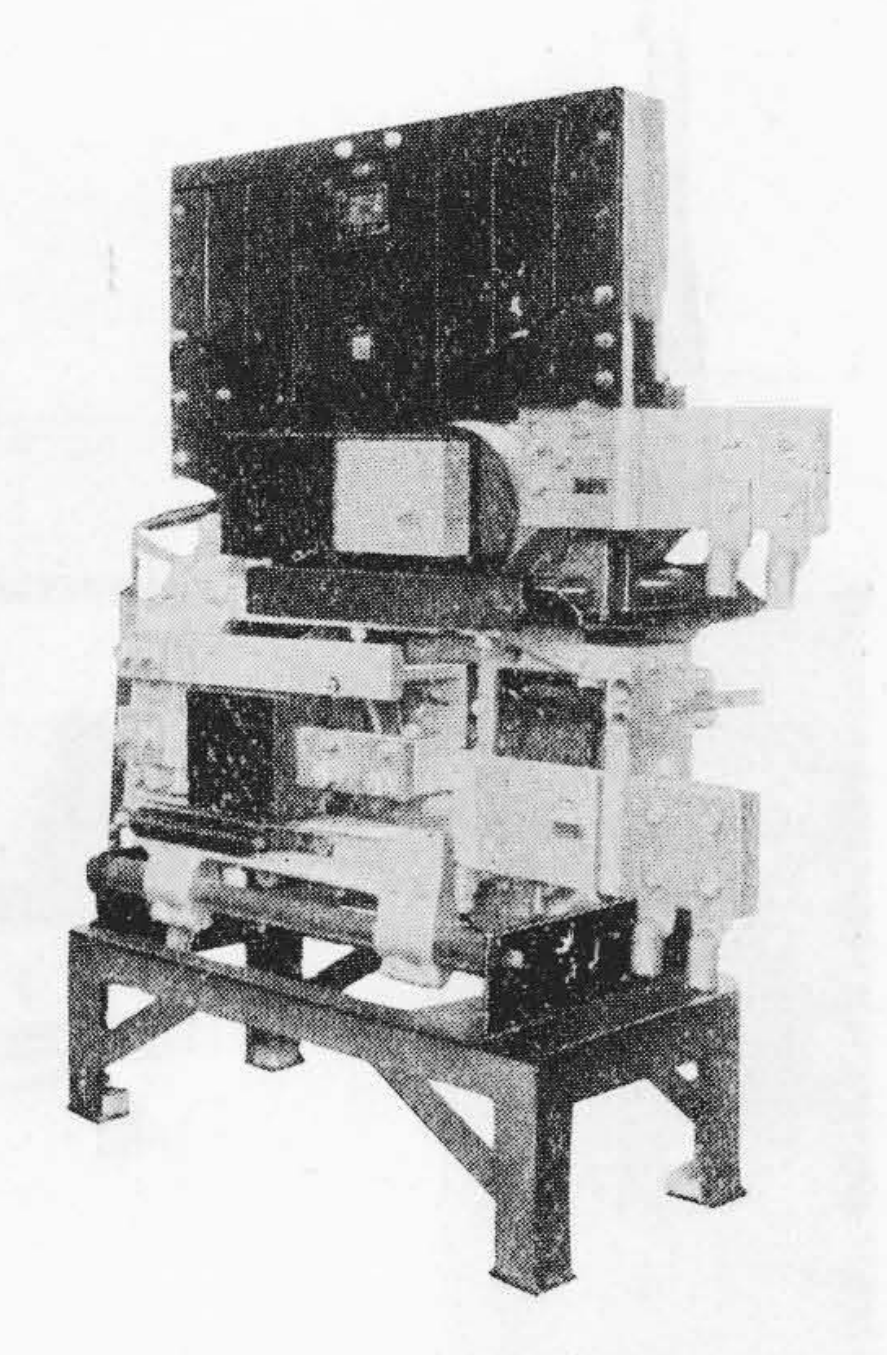
各發電機同路に高速度遮斷器及び氣中遮斷器を挿入し 閃絡等による過大電流を迅速に遮斷し被害を最小限に止 めんとするものである。高速度遮斷器の分路抵抗は電流 遮斷の際に異狀過大電壓が誘發せられるのを防いでい る。氣中遮斷器は斷路器代りに使用したもので主囘路の 開閉の為に使用した。第 41 圖は高速度遮斷器を示す。

又主囘路の一部が接地を起した場合接地警報を行う様にしている。第 42 圖は接地警報用繼電器を示す。この他保護裝置としては下記のものがある。

- (1) 交流主囘路過負荷 囘路遮斷並びに故障表示
- (2) 交流各囘路低電壓 囘路遮斷並びに故障表示
- (3) 各種 軸受過熱 故障警報並びに故障表示
- (4) 主電動機界磁回路切斷 制御回路遮斷並びに故 障表示
- (5) 主電動機界磁同路過負荷 故障警報並びに故障 表示



第 40 圖 自動滑り調整器內部構造圖 Fig. 40. Inside View of Automatic Slip Rgulatatr



第41圖 高 速 度 遮 斷 器 Fig. 41. High Speed Air Circuit Breaker

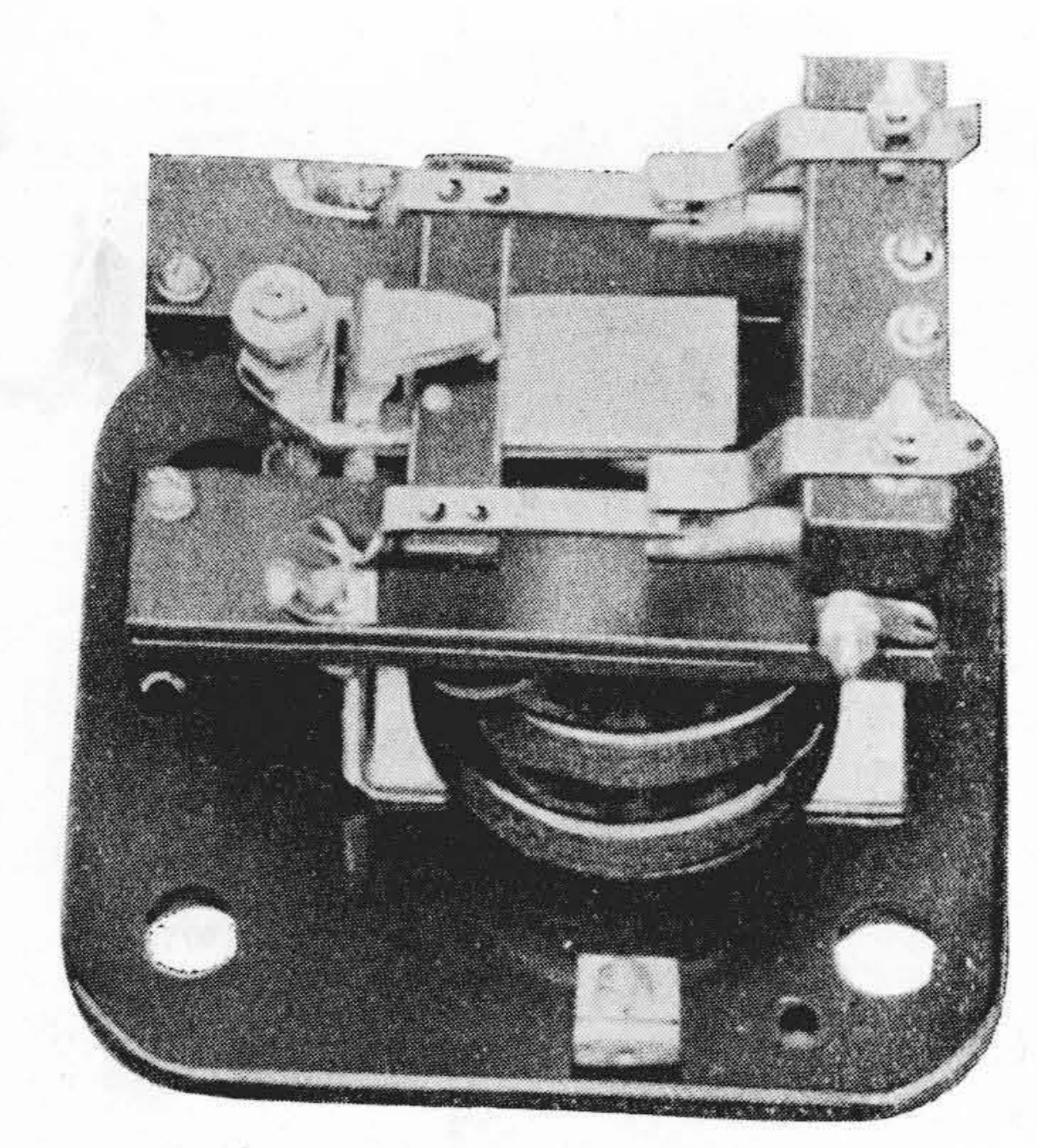
(6) 送風機停止

故障警報並びに故障表示

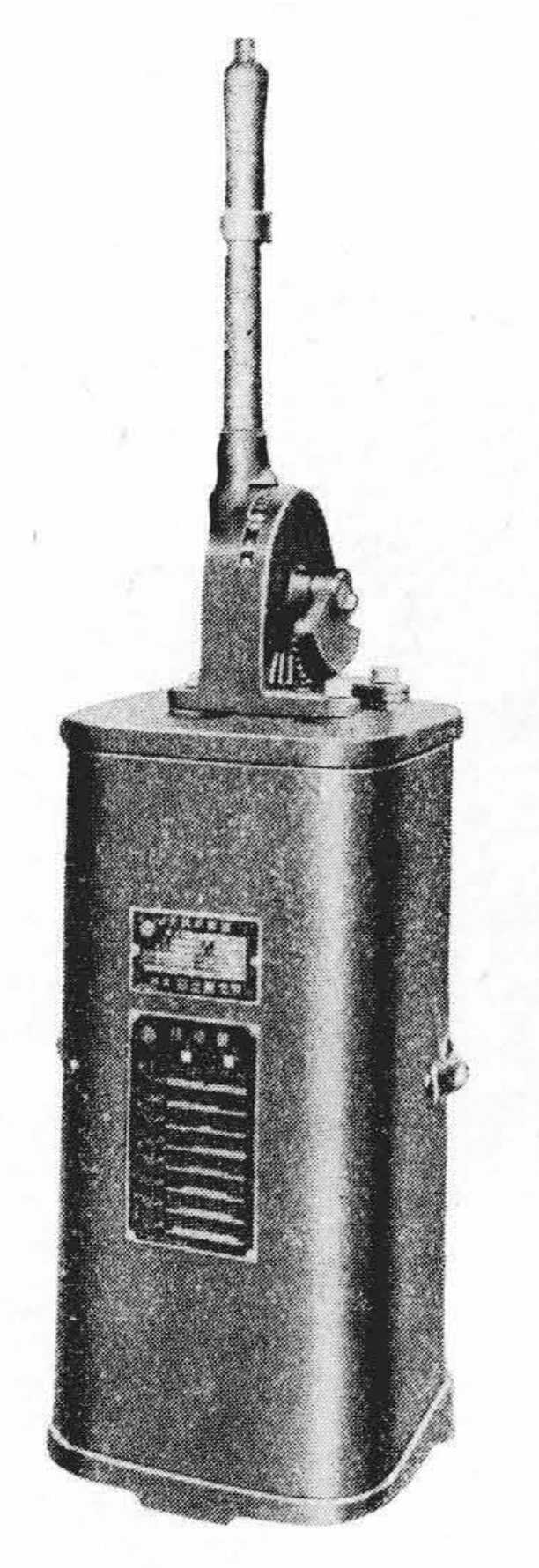
5. 其の他の器具

制御器具は何れも頑丈で壽命の長いものを使用した。 主幹制御器は運轉用と微速運轉用とあるが、運轉用は6 -0-6 ノッチで微速運轉用は1-0-1 ノッチである。 何れもカム接觸器型を使用し信賴度の高いものである。

第 43 圖は運轉用主幹制御器を示す。電磁接觸器は强力なアーク吹消裝置を有し接點部分に損燒を與えない様にした。



第42圖接地繼電器 Fig. 42. Earth Detecting Relay



第 43 圖 主幹制御器 Fig. 43. Master Controller

[VI] 輸 送

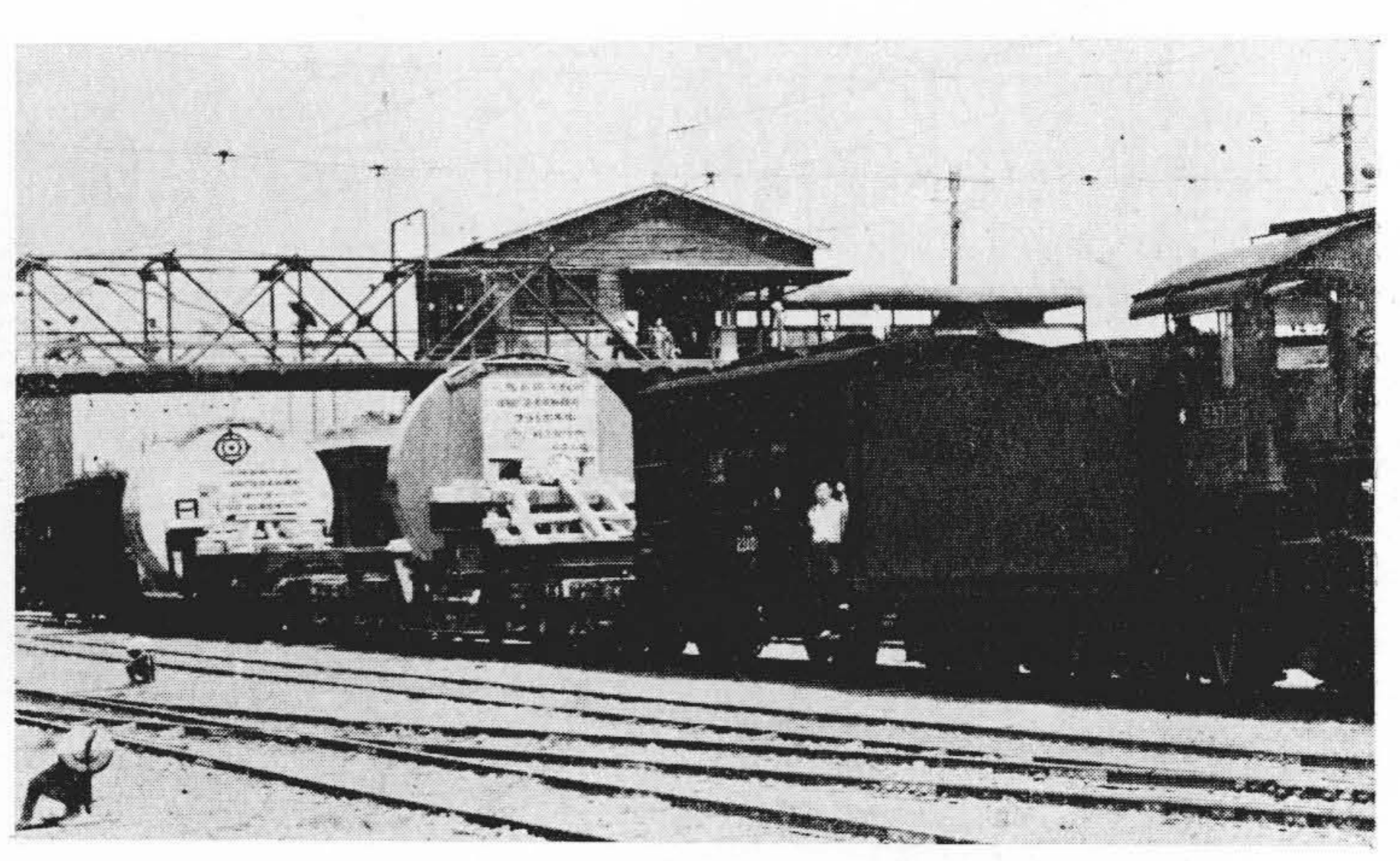
本裝置は輸送寸法、重量共に戰後の記錄品で輸送限界 ぎりぎりであり、特に 4,000 kW 直流電動機の電機子は 容積に於て戰後本邦最大のもので受註當時から、この輸 送に關しては種々調査、檢討を行つた。その結果直流電

動機の電機子及び蓄勢輪を除いては八幡まで鐵道輸送で 直送可能なことがほぼ推察出來たが、電機子と蓄勢輪は 重量及び寸法に於て輸送限界に近く途中種々な支障を來 すため、直送することが困難で佝幾多の問題はのこつた が、横濱まで鐵道輸送とし、横濱から八幡までは船舶輸 送に決定其の準備に着手し日立、横濱間の模擬輸送を繰 返し、寸法、重量等の諸問題の解決に努力した。

本輸送に當つては電機子及び蓄勢輪のみに依る特別列 車を仕立て、電機子及び蓄勢輪の上部が電車トロリー線 にすれすれなため、上部をゴム板で絶縁し、電車區間は 特に夜間を選び送電を中止するなど萬全を期して輸送 し、船舶輸送の途中マージ台風に遭遇したが、關係者の 努力に依り、無事輸送を完了し納入することが出來た。 第 44 圖は特別仕立の輸送狀況を示す。

「VII] 結

逆轉式分塊壓延機用囘轉機の具備すべき最も重要な條 件は、機械的强度、良好なる整流、及び、迅速な速度に あることを述べ、各々の條件に關し、今囘製作せられた 囘轉機及び制御方式の特長を擧げた。綜合試驗の結果は



壓延用 4,000 kW 直流電動機電機子と蓄勢輪の輸送 Fig. 44. Armature of 4,000 kW D.C. Motor and Fly Wheel in transportation

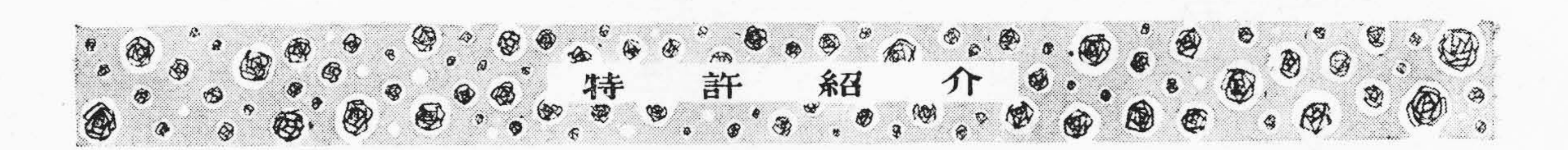
は所要の條件を十分滿足し、豫期以上の好成績を收める ことが出來た。殊に速度制御が極めて容易で加減速度の 大なることは H.T.D. の大なる増幅率と速應性を十分 **發揮したもので、本設備の誇りとする處である。鐵鋼増** 産の叫ばれている時に當り、本裝置の完成は必ずや大な る寄與をするものと確信する。

終りに臨み多くの斬新な方法を採り入れた製品に對し 製作の機會を與えられ、積極的に御指導御援助を賜つた 八幡製鐵株式會社戶田動力部長、占部動力設計課長、同 山本係長、木村電氣課長の諸氏、及び輸送に當つて東京 鐵道局及び水戸管理局の方々の絕大なる御援助に對し深 甚の謝意を捧げる。設計製作に當つては日立製作所取締 役馬場粂夫博士、日立工場藤久保副工場長、後藤電機設 計部長、他關係の方々の御指導を賜り、又限られた時間 内に詳細な試驗を完了するため檢査部の方々の御盡力を 載いた。玆に厚く謝意を捧げ擱筆する。

參考文獻

(1) 馬場:日評 16, 471 (昭 8-9)

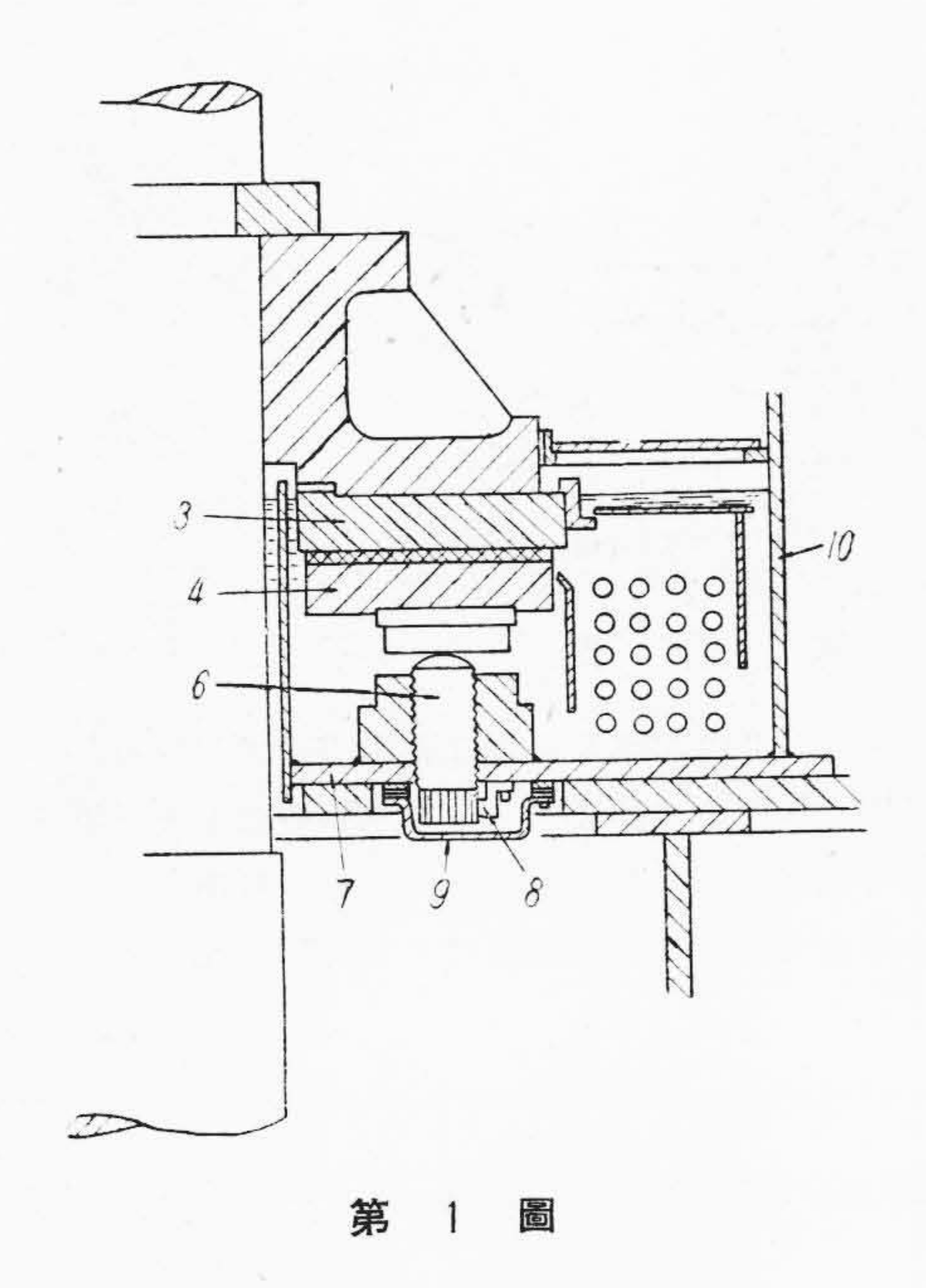
- (2) 森島:日評 16,477 (昭 8-9)
- (3) 電氣工學ハンドブック 579 (昭 26)
- (4) 吉田:本號別項參照
- (5) 電氣工學ハンドブック 558 (昭 26)
- (6) 實用新案・385634
- (7) 實用新案 283696
- (8) 馬場:日評 16,453 (昭 8-9)
- (9) 和島:日評 16,463 (昭 8)



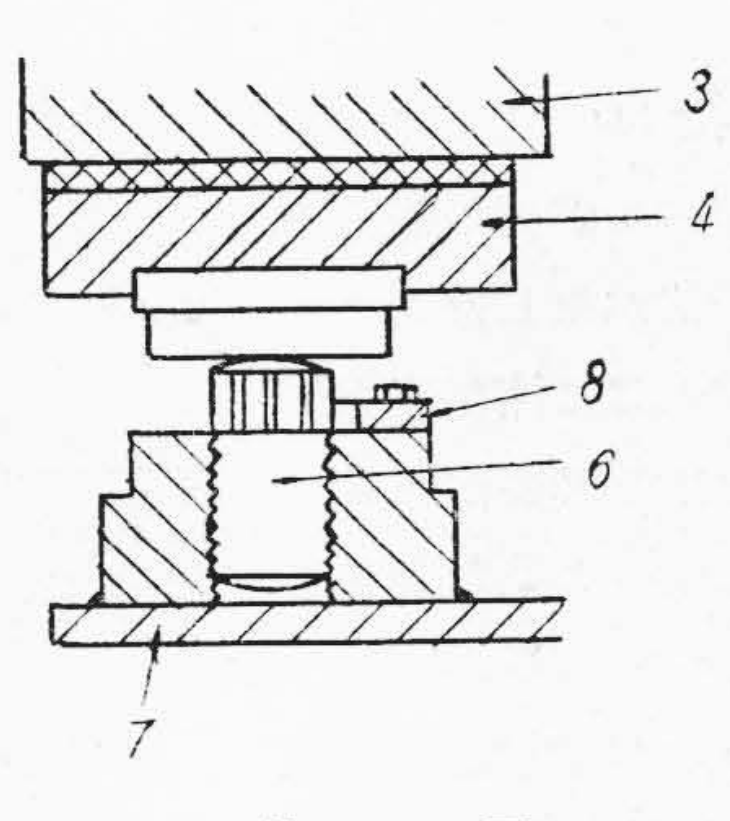
登錄新案第 381439 號

菊地彌十郎

推力軸受

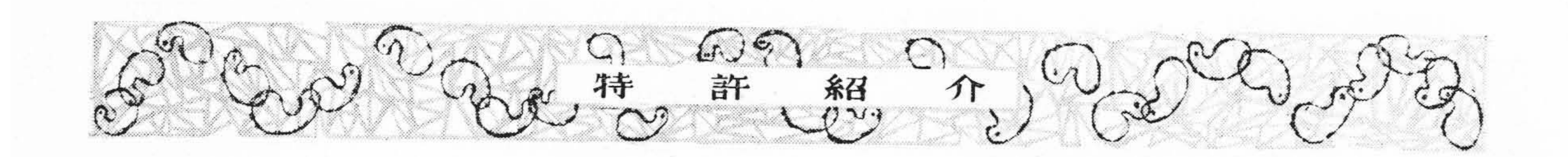


竪軸發電機に使用する上部推力転受のセグメントメタル4は、これが摩耗に應じ、調整ボルト6を回轉調整して、ランナー3を一定水平位置に保守する必要がある。



第 2 圖

從來の調整ボルトは第2圖に示すように、スパナーをかける頭部及び回り止め金具8が、油槽10の内部に位置するため、ボルトの調整は油槽内で行わなければならないので厄介である。然るにこの考案では第1圖に示すように、調整ボルト6の頭部を油槽10の底板7の外部に費出し、回り止め金具8も、同様に底板7の外部に設けたから、調整ボルト6の回轉調整を油槽10の外部から行うことができて極めて便利である。なおボルト頭部はカバー9により常時油密的に密閉されている。(滑川)

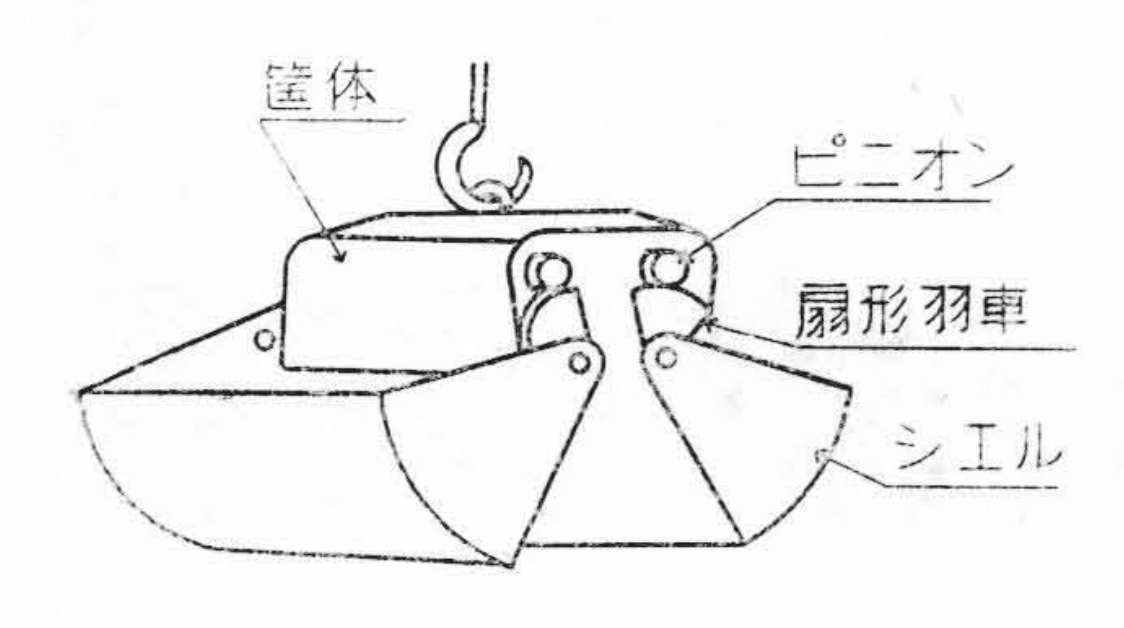


特許第 189214 號

寅 英

電

筐體內に電動機及び減速機を納め、シェル に連結した扇形齒車にかみ合つているピニオ ンをかいしてシェルを開閉する電動グラブバ



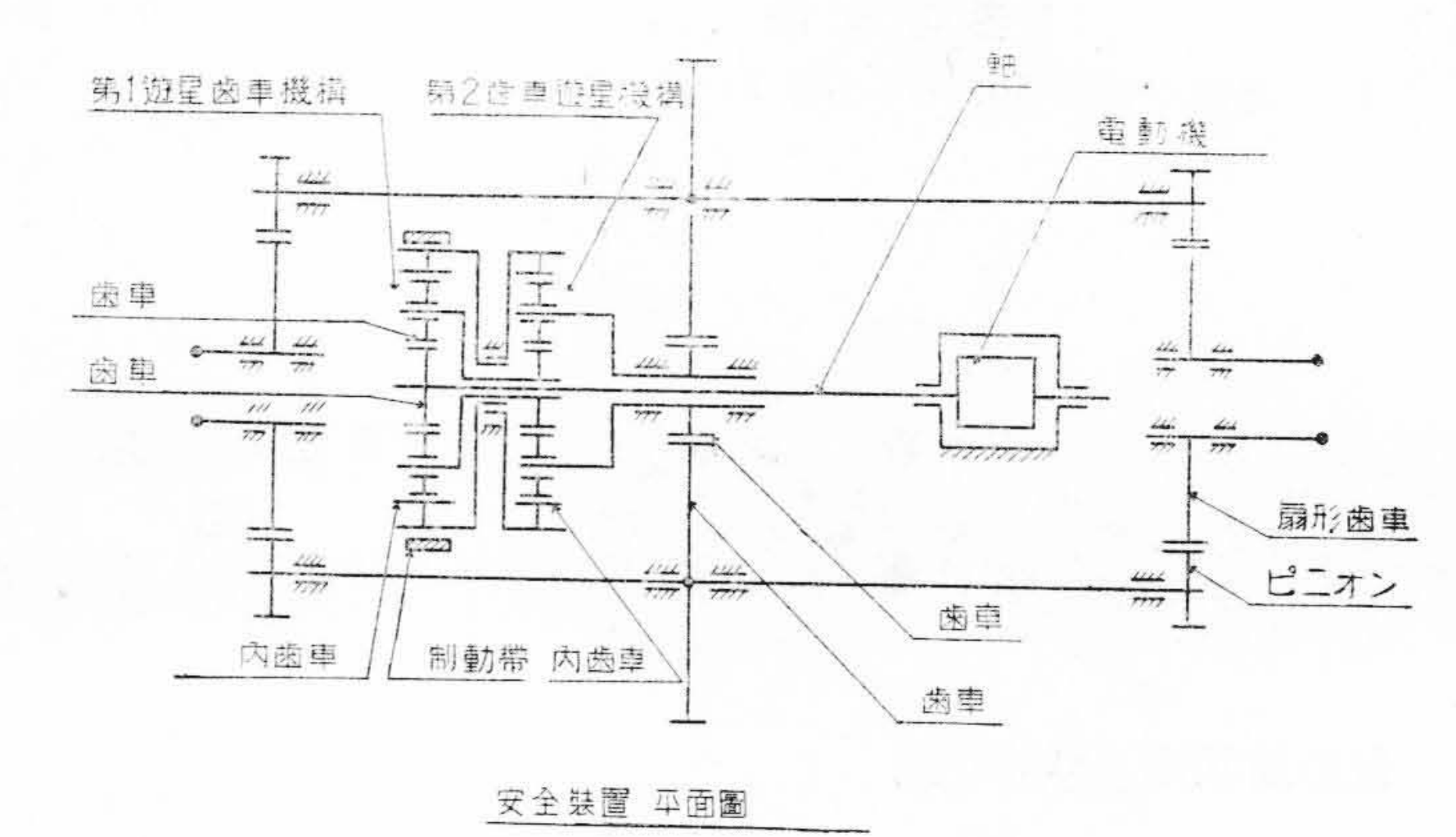
電動グラブバケット斜視圖

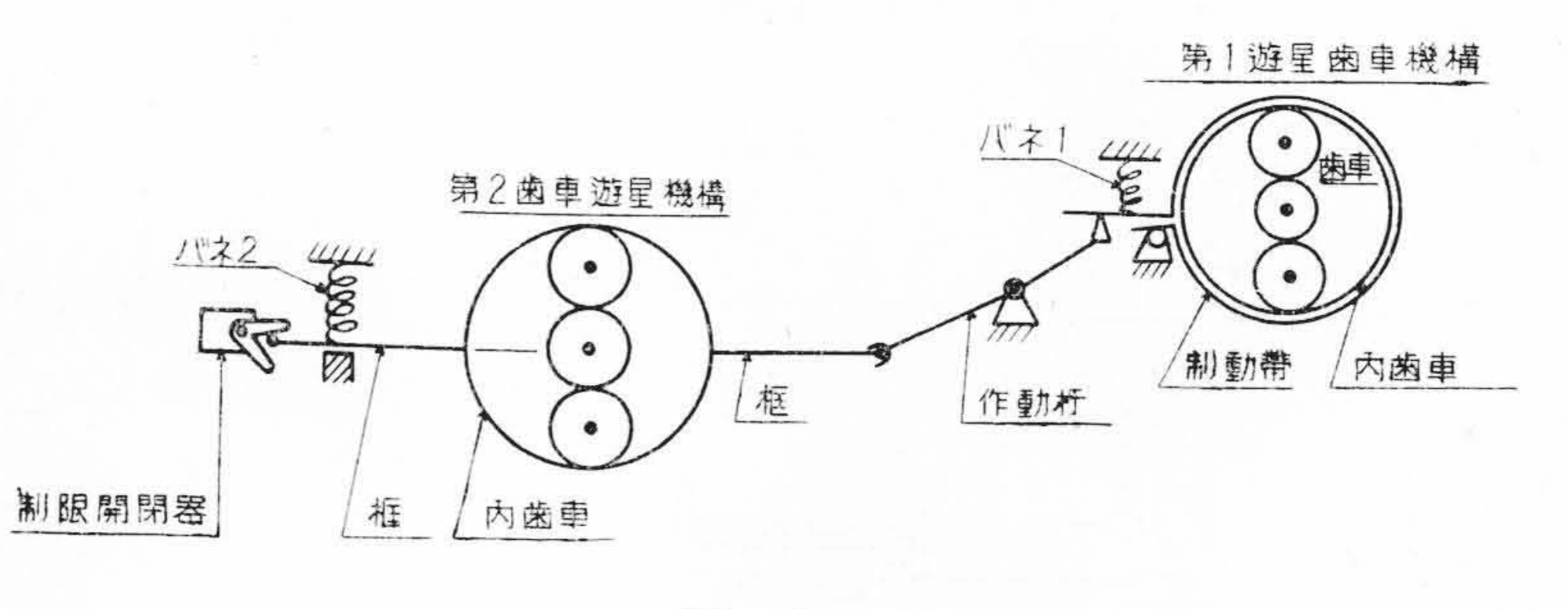
ケットにおいては、シエルが閉じ 終ると同時に、電動機の開閉器を 切る機構をつけるが、その他にシ エルが異物をはさみ或はその他の 原因により、シェルが閉じ終らぬ うちに過大な抵抗が生じたときそ の無理をなくすと共に開閉器を切 つて電動機をとめる必要がある。 この發明は、上記のような要求を みたすためのものである。

第

グラズバケットが平常運轉狀態

にあるときは、壓力バネ(1)(2)の力により、制動帶 が締り内齒車が固定され、框は所定の位置にある。シェ シェルに過大の抵抗を生じ電動機の許容回轉力以上とな つたときは、壓力バネ(2)の力をあらかじめ調整してお





遊星菌車機構 側面圖

くことにより内齒車及び框は壓力バネの力に打勝つて少 し回轉する。この動きにより電動機の制限開閉器を切る ルの閉めの途中異物をはさみ或はその他の原因により、と同時に、制動帶をゆるめて内齒車を自由ならしめ電動 機が停止するまでの慣性力による無理を避ける。

(富 田)

高 速 度 錮

日立製作所冶金研究所長

小柴定雄著

(誠文堂新光社刊)

A列5 判230 頁 美装クロース箱入

販 賣 日立評論社 定價 250 圓 〒 32 圓